



دانشگاه صنعتی شهرورد

دانشکده مهندسی عمران

گروه سازه

شیوه نوین برای کنترل فعال نوسانهای سازه های هوشمند با چندین حسگر و عملگر

(تعیین مشخصات بهینه حسگرها و عملگرها)

دانشجو : بابک کریم پور

استاد راهنمای:

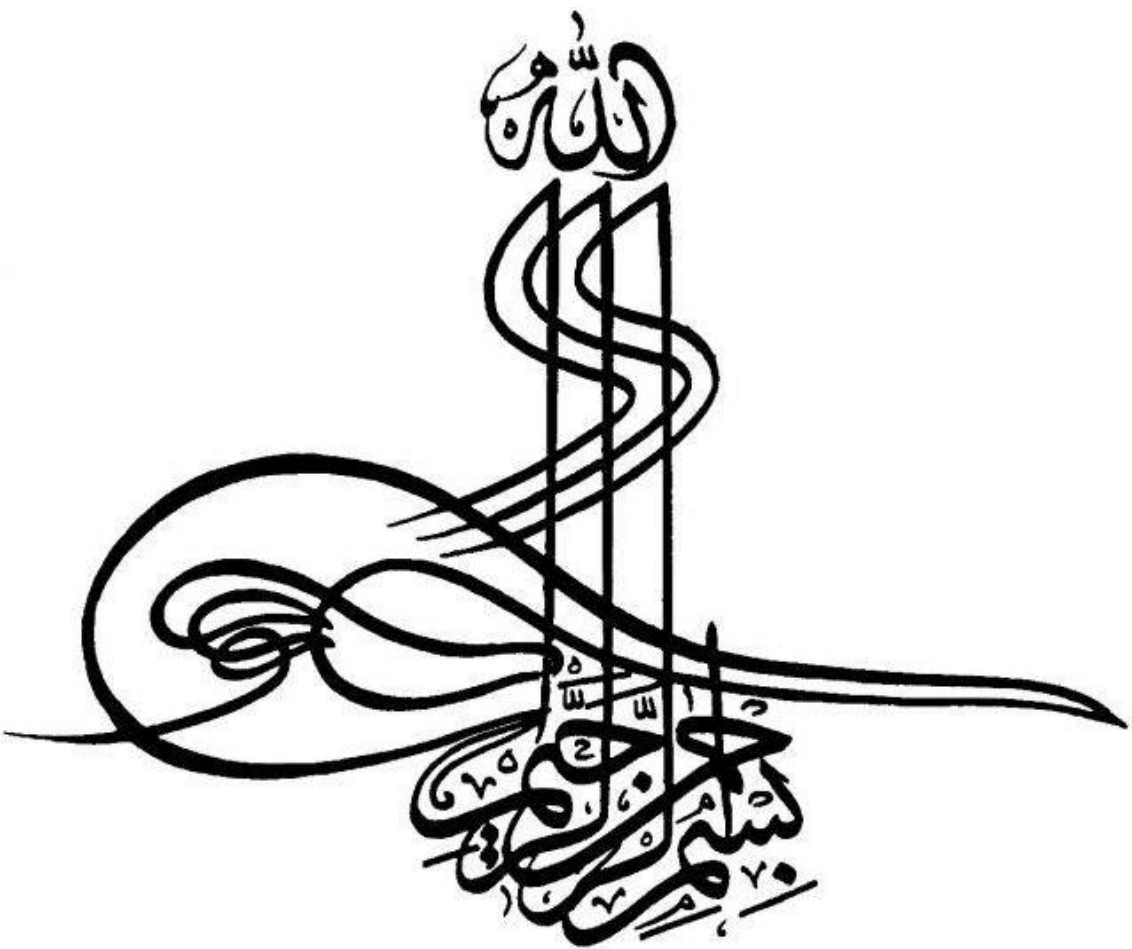
دکتر علی کیهانی

استاد مشاور:

دکتر جواد علامتیان

رساله جهت اخذ درجه دکتری

آبان ماه ۱۳۹۳



شیوه نوین برای کنترل فعال نوسانهای سازه های هوشمند
با چندین حسگر و عملگر

(تعیین مشخصات بهینه حسگرها و عملگرها)

دانشگاه صنعتی شاهرود

دانشکده: عمران و معماری

گروه: عمران (سازه)

رساله دکتری بابک کریم پور

تحت عنوان: شیوه نوین برای کنترل فعال نوسانهای سازه های هوشمند با چندین حسگر و عملگر

در تاریخ توسط کمیته تخصصی زیر جهت اخذ مدرک دکتری مورد ارزیابی و با درجه
..... مورد پذیرش قرار گرفت.

امضاء	اساتید مشاور	امضاء	اساتید راهنمای
	نام و نام خانوادگی: جواد علامتیان		نام و نام خانوادگی: علی کیهانی
	نام و نام خانوادگی :		نام و نام خانوادگی :
امضاء	نماینده تحصیلات تکمیلی	امضاء	اساتید داور
	نام و نام خانوادگی :		نام و نام خانوادگی: زرامین امینی
			نام و نام خانوادگی : علی کلات جاری
			نام و نام خانوادگی: محسن گرامی
			نام و نام خانوادگی :

تشکر و قدردانی

تقدیر و تشکر بیکران از استاد ارجمند جناب آقای دکتر کیهانی را وظیفه قطعی خود می دانم که با راهنمائی ها و ارشادات لازم و همچنین تشویق اینجانب شرایط را در تکمیل مناسب تحقیق مساعد نمودند. همچنین می بایست از ارشادات و زحمات بیکران جناب آقای دکتر علامتیان که در کلیه مراحل انجام این تحقیق من را یاری نمودند قدردانی نمایم. همچنین لازم است کمال تشکر خود را از اساتید ارجمند:

جناب آقای دکتر فیاض رحیم زاده (دانشگاه صنعتی شریف)

جناب آقای دکتر مهدی زهرائی (دانشگاه تهران)

جناب آقای دکتر قربانی (دانشگاه تهران)

که با نظرات ارزشمند و سازنده خود مرا در تکمیل این رساله تحقیقاتی یاری نموده اند ، ابراز دارم.

اقرارنامه و واگذاری حقوق

دانشجو تأیید می نماید که مطالب مندرج در این رساله نتیجه تحقیقات خودش می باشد و در صورت استفاده از نتایج دیگران مرجع آن را ذکر نموده است.

کلیه حقوق مادی مترتب از نتایج مطالعات ، آزمایشات و نوآوری ناشی از تحقیق موضوع این رساله متعلق به دانشگاه صنعتی شاهرود می باشد .

۱۳۹۳

چکیده

همواره یکی از معایب الگوریتم های موجود کنترل فعال سازه ها وجود پیچیدگی و روابط صرف ریاضی فراوان در آنها می باشد. در این تحقیق روش نوینی برای پایش فعال نوسانهای سازه ها ارائه گردیده است. رابطه سازی این فرایند بر پایه اصول دینامیک سازه ها می باشد و در آن نوسانهای سازه، با چندین عملگر و حسگر پایش می شود. در اینجا، نیروی هر عملگر به صورت نیروی معادل میرایی لزج پنداشته شده و نیروهای عملگرها به گونه ای محاسبه شده اند که تعداد بیشتری از میرایی مودهای نوسان پایین سازه بحرانی شوند. با این کار، نیروهای عملگرها در یک فرایند ریاضی ساده به دست می آید. ضمن آنکه موقعیت مناسب حسگرها و عملگرها نیز با توجه به اهمیت مودهای اول نوسان و درایه های ماتریس شکل نوسان پیشنهاد می گردد. کارایی روش پیشنهادی با بررسی تغییرات تغییر مکان، بیشینه انرژی جنبشی سازه و مجموع مقادیر تغییر مکانهای نسبی طبقات در حالت های مختلف پایش فعال سازه تحت بارگذاری های مختلف (بارهای هارمونیک، تحریک زلزله و بارهای انفجاری) بررسی گردیده است. نتایج عددی نشان می دهند، شیوه پایش فعال پیشنهادی عملکرد مناسبی در کاهش نوسانهای سازه دارد. همچنین بر اساس نمودارهای تاریخچه زمانی نیروی عملگر و نیروی زلزله ، می توان پی برد مقادیر نیروی عملگر حاصله در روش پیشنهادی دارای مقادیر عملکردنی نسبت به نیروی زلزله و همچنین وزن طبقات می باشد. مبحث عدم قطعیت و تاثیر آن در الگوریتم پیشنهادی نیز مورد بررسی قرار گرفت. مقایسه نتایج حاصل از روش پیشنهادی با نتایج روشهای معمول کنترل فعال سازه ها همانند روش LQR نشان از توانایی و کارایی مناسب روش پیشنهادی در عین سادگی آن دارد.

کلمات کلیدی: کنترل فعال - سازه هوشمند - روش نوین - حسگر - عملگر - دینامیک سازه

فهرست مطالب

فصل اول: مقدمه و کلیات	۱۶
۱-۱ مقدمه	۱۶
۱-۲ تعریف مساله و ضرورت انجام تحقیق	۲۰
۱-۳ اهداف تحقیق	۲۱
۱-۴-نواوری تحقیق	۲۱
۱-۵-دستاوردهای مورد انتظار	۲۱
۱-۶ ارتباط موضوع تحقیق با مطالعات پیشین	۲۲
۱-۷ تجهیزات مورد استفاده در تحقیق	۲۳
۱-۸-فرضیه ها و فرضیات تحقیق	۲۳
۱-۹ مراحل انجام تحقیق	۲۴
۱-۱۰ ساختار تحقیق	۲۵
فصل دوم : مطالعات پیشین	۲۸
۲-۱ مبانی دینامیک سازه ها (مورد استفاده در طرح پیشنهادی)	۲۸
۲-۲ انواع سیستمهای کنترل در سازه های هوشمند	۲۸
۲-۳ انواع تئوری های کنترل فعال سازه ها	۲۹
۲-۴ مدل سازی اجزای محدود سازه های هوشمند	۴۹
۲-۵ مواد پیزو الکترونیک در کنترل ارتعاشات	۵۴
۲-۶ تعیین موقعیت حسگرها و عملگرها در کنترل فعال سازه ها	۵۹
۲-۶-۱ استفاده از الگوریتم ژنتیک جهت بهینه یابی موقعیت حسگرها و عملگرها	
۲-۶-۲ استفاده از رابطه سازی اجزای محدود جهت بهینه یابی موقعیت حسگرها و عملگرها	

۲-۶-۳- تعیین موقعیت حسگرها بر اساس ماتریس اطلاعات فیشر (Fisher information matrix) ..	
۷۲ فصل سوم : روش جدید پیشنهادی	۷۲
۳-۱- مبانی روش جدید پیشنهادی ..	۷۲
۳-۲- ارزیابی تحلیلی شیوه پایش پیشنهادی ..	۷۹
۳-۳- ارزیابی تعداد حسگرها ..	۸۱
۳-۴- مزایای روش پیشنهادی ..	۸۳
۸۵ فصل چهارم : ارزیابی عددی روش پیشنهادی	
۴-۱- ارزیابی عددی تحت بار هارمونیک ..	۸۵
۴-۲- ارزیابی عددی تحت بار انفجاری ..	۹۲
۴-۳- ارزیابی عددی تحت بار زلزله ..	۹۶
۱۰۱ ۴-۴- مقایسه روش کنترل پیشنهادی با روش متداول LQR	
۱۰۹ فصل پنجم : بررسی عدم قطعیت و پایداری سازه در روش پیشنهادی ..	
۱۰۹ ۱-۵- مقدمه	
۱۱۰ ۲-۵- تعاریف مباحث عدم قطعیت ..	
۱۱۰ ۳-۵- بررسی عدم قطعیت در روش پیشنهادی ..	
۱۱۳ ۴-۵- ارزیابی حساسیت ..	
۱۱۴ ۵-۵- بررسی پایداری در روش پیشنهادی ..	
۱۱۶ فصل ششم : جمع بندی و نتیجه گیری ..	
۱۲۰ پیوستها ..	

فهرست اشکال

شكل ۱-۱: مباحث مختلف در قلمرو سازه های هوشمند

شكل ۱-۲: تصویر نمادین مراحل کنترل فعال سازه ها

شكل ۱-۳: فلوچارت مراحل تحقیق

شكل ۲-۱: یک سیستم دو درجه آزادی با اعمال نیرو به یک درجه

شكل ۲-۲: تغییر مکان درجه آزادی اول در حالت‌های مختلف کنترل

شكل ۲-۳: تغییر مکان درجه آزادی دوم در حالت‌های مختلف کنترل

شكل ۲-۴: فرایند کنترل لرزه ای سازه های هوشمند پیزوالکترویک

شكل ۲-۵: نمونه آزمایشگاهی از عملکرد حسگرها و عملگرها

شكل ۲-۶: استفاده از مواد پیزو الکترویک در کنترل فعال ارتعاشات سازه های قابی (حالت اول)

شكل ۲-۷: استفاده از مواد پیزو الکترویک در کنترل فعال ارتعاشات سازه های قابی (حالت دوم)

شكل ۲-۸: مقایسه نیروی برشی معادل حاصله در حالت های ۱ و ۲ جهت قرارگیری عملگرها طی مقادیر مختلف بازوی لنگر

شكل ۳-۱: الگوریتم اجرایی روش پیشنهادی

شكل ۴-۱: ساختمان ۵ طبقه برشی مورد استفاده در ارزیابی عددی روش

شكل ۴-۲: تغییرات مقادیر تغییر مکان بر حسب زمان در دو حالت بدون سیستم کنترل واستفاده از سیستم کنترل با الگوریتم پیشنهادی

شكل ۴-۳: نمودار تغییرات نیروی عملگر بر حسب زمان در حالت استفاده از الگوریتم پیشنهادی

شكل ۴-۴: مقایسه تغییرات تغییر مکان طبقه پنجم بر اساس زمان را در دو حالت بدون استفاده از سیستم کنترل و حالت استفاده از یک عملگر و یک حسگر

شکل ۴-۵: مقایسه تغییرات تغییرمکان طبقه چهارم بر اساس زمان را در دو حالت بدون استفاده از سیستم کنترل و حالت استفاده از یک عملگر و یک حسگر

شکل ۴-۶: نمودار تغییرات تغییر مکان طبقه پنجم در سه حالت کنترل

شکل ۴-۷: تغییرات نیروی عملگر در الگوریتم پیشنهادی با استفاده از یک عملگر و یک حسگر در مقایسه با نیروی زلزله نسبت به زمان در طبقه پنجم

شکل ۴-۸: تاریخچه زمانی تغییرات شتاب طبقه پنجم در دو حالت بدون کنترل

شکل ۴-۹: مقایسه نیروی عملگر در حالت استفاده از الگوریتم پیشنهادی با یک عملگر و یک حسگر و روش LQR

شکل ۴-۱۰: مقایسه نیروی عملگر در حالت استفاده از الگوریتم پیشنهادی با سه عملگر و سه حسگر و روش LQR

شکل ۴-۱۱: مقادیر تغییرمکان طبقه پنج را در سه حالت کنترل

شکل ۴-۱۲: مقایسه تغییرمکان طبقه پنج در سه حالت کنترل

فهرست جداول

جدول ۱-۱ : الگوریتم های متداول کنترل فعال سازه ها

جدول ۱-۲ : پروسه انتخاب موقعیت بهینه عملگر و حسگر در سازه دو درجه آزادی

جدول ۱-۴: اولویت های نصب حسگرها و عملگرها در سازه ۵ درجه آزادی

جدول ۲-۴: حالت های مختلف پایش فعال سازه پنج طبقه

جدول ۳-۴: جدول مقایسه بیشینه تغییر مکان در حالت های مختلف بر اساس الگوریتم پیشنهادی

جدول ۴-۴: مقایسه بیشینه تغییرات انرژی جنبشی سازه در بازه زمانی تحلیل دینامیکی در حالت های مختلف

جدول ۴-۵: بیشینه مجموع تغییر مکانهای نسبی طبقات در حالت های مختلف پایش سازه

جدول ۴-۶: بیشینه شتاب طبقه فوقانی در حالت های مختلف پایش سازه تحت بار هارمونیک

جدول ۴-۷ مقایسه بیشینه تغییر مکان طبقات در حالت های مختلف کنترل تحت بار انفجاری

جدول ۴-۸: مقایسه بیشینه تغییرات انرژی جنبشی سازه تحت بار انفجاری در حالت های مختلف کنترل

جدول ۴-۹: بیشینه مجموع تغییر مکانهای نسبی طبقات در حالت های مختلف کنترل سازه تحت بار انفجاری

جدول ۴-۱۰ : مقایسه بیشینه تغییر مکان طبقات در حالت های مختلف پایش بر اساس الگوریتم پیشنهادی (cm)

جدول ۵-۱: جرمهای تصادفی تولید شده در حالت های مختلف

جدول ۵-۲: بررسی تاثیر عدم قطعیت

جدول ۶-۱: مقایسه درصدی بین حالت های مختلف پایش تحت اثر بار هارمونیک

فهرست علائم و اختصارات

جرم درجه آزادی \mathbf{z} ام	m_j
شتاب در درجه آزادی \mathbf{z} ام	$\ddot{\mathcal{V}}_j$
نیروی میرایی در درجه آزادی \mathbf{z} ام	f_{Dj}
نیروی سختی در درجه آزادی \mathbf{z} ام	f_{sj}
نیروی خارجی اعمال شده در درجه آزادی \mathbf{z} ام	$P_j(t)$
سختی درجه آزادی \mathbf{z} ام در مود اول	k_{j1}
میرایی درجه آزادی \mathbf{z} ام در مود دوم	c_{j2}
فرکانس طبیعی مود i ام	ω_i
نسبت میرایی	ζ
میرایی بحرانی	C_c
سختی معادل	$[\bar{K}]$
شتاب مودال مود اول	\ddot{Z}_1
سرعت مودال مود اول	\dot{Z}_1
درايه سطر k ام ستون اول ماتریس شکل نوسان	Φ_{K1}
نیروی عملگر در درجه آزادی k ام	f_k^a
مود اول ماتریس شکل نوسان	$\{\Phi_1\}$
میرایی معادل مود اول	C_1^*
لنگر متتمرکز پای ستون در مدل اجرای کنترل فعال	M_a
نیروی ورقهای پیزو الکترونیک در مدل اجرای کنترل فعال	F_p
نیروی معادل عملگر	F_a
شکل نوسان در فضای حالت	$[\Psi]$
تابع وزن	w_1
تابع وزن	w_2
شاخص قابلیت کنترل عملگرها	Ω_a
شاخص قابلیت کنترل عملگرها	Ω_s
سرعت مودال مود i ام	\dot{Z}_i

سرعت در درجه آزادی N ام	\dot{D}_N
ماتریس موقعیت نیروهای کنترل	D
ماتریس موقعیت تحریک خارجی	E
ماتریس ضرایب لاغرانژین	L
ماتریس وزنی مربوط به تغییر مکانها	Q
ماتریس وزنی مربوط به نیروی کنترل	R
نیروی تحریک خارجی	F_m
نیروی کنترل	F_c

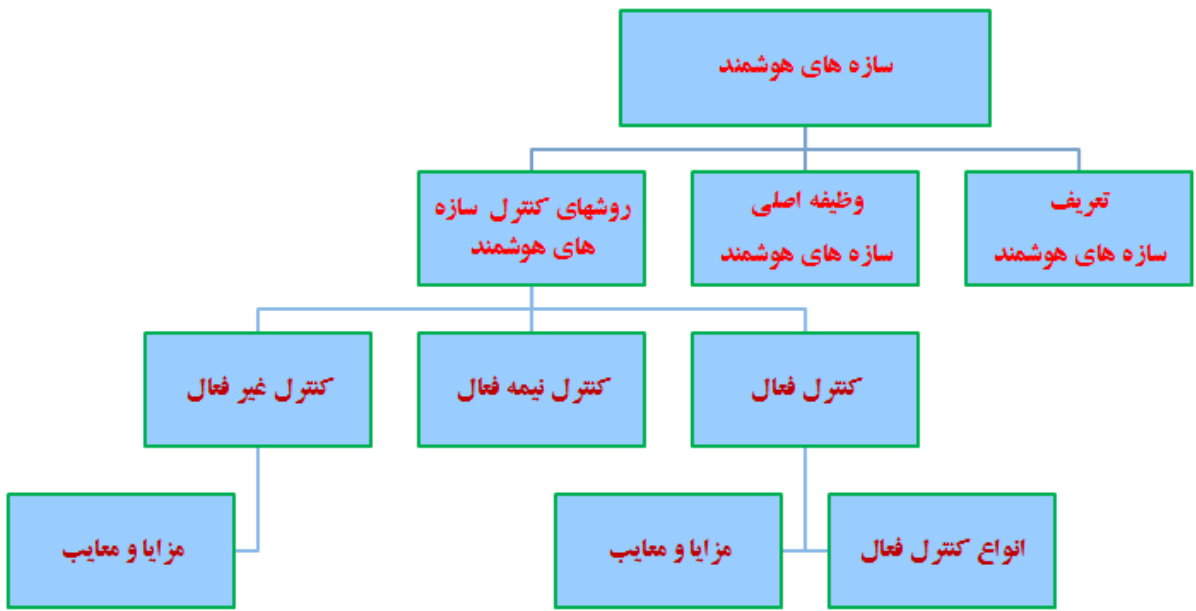
فصل اول

مقدمه و کليات

فصل اول : مقدمہ و کلیات

۱-۱ مقدمه

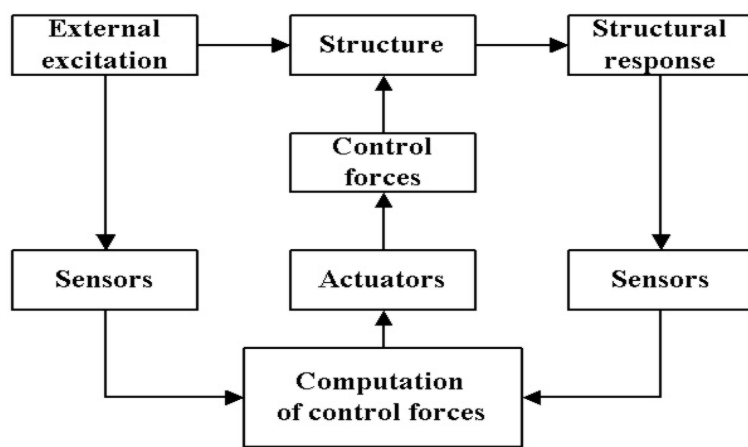
سازه هوشمند به سازه ای گویند که شبیه انسان قادر است بیاموزد و خود را در برابر تحریک خارجی حفظ نماید. سازه های هوشمند ترکیبی از مواد و مصالح با چند وظیفه، حسگرها (ابزار برداشت وضعیت ارتعاشی سازه) و عملگرها (ابزار اعمال نیرو بر سازه) و همچنین کنترل مناسب برای دستیابی به عملکرد مناسب سازه تحت اثر شرایط محیطی متفاوت می باشد. وظیفه اصلی سازه های هوشمند استفاده از حسگرها و عملگرها جهت همراستا کردن ویژگیهای سازه (همانند میرایی، سختی و...). برای پاسخ مناسب در برابر نیروهای خارجی می باشد. مسائل مربوط به سازه های هوشمند معمولاً در قلمرو مجموعه ای از رشته ها شامل علم مواد، مکانیک کاربردی (لرزش، الاستیسیته و...)، الکترونیک (عملگر، حسگر، کنترل)، بیو مکانیک و سازه می باشد. امروزه حفظ عملکرد سازه در برابر حوادث طبیعی نظیر زلزله از دغدغه های مهم مهندسین هستند. لذا در سالهای اخیر تحقیقات زیادی در خصوص کنترل سازه ها صورت گرفته است. روشهای مختلف کنترل سازه ها شامل روشهای کنترل فعال، نیمه فعال و غیر فعال سازه ها می باشند. [۱۰]



شکل ۱-۱: مباحث مختلف در قلمرو سازه های هوشمند

موضوع مطالعه در این رساله عبارت از تعیین مشخصات حسگرها و عملگرها (موقعیت و مقدار نیرو) در کنترل فعال سازه های هوشمند بر اساس روش پیشنهادی جدید می باشد. سیستم های کنترل غیر فعال سازه ها، بدلیل ساده بودن، کم هزینه بودن و عدم نیاز به انرژی خارجی کاربرد بیشتری پیدا کرده اند. اما با توجه به ثابت بودن خصوصیات سازه ای این سیستم ها قابلیت تغییر و هماهنگی با شرایط (خصوصا در زمان زلزله) را ندارند. از طرف دیگر این سازه ها تنها برای تحریک های خاصی که طراحی شده اند کاربرد دارند و برای انواع دیگر تحریک کارائی زیادی ندارند. در کنترل غیر فعال سازه ها انرژی از سیستم خارج می شود. سیستم های جدا ساز پی، میراگرهای ویسکوالاستیک، قطعات افزایش دهنده سختی و میرابی و میراگر جرمی تنظیم شده (TMD) بخشی از روش های کنترل غیرفعال سازه ها هستند. در سیستم های کنترل نیمه فعال، محدودیتهای روش کنترل غیرفعال وجود ندارد. در این سیستم ها ضربی میرایی و یا سختی وسیله کنترلی متناسب با نیروی وارد بر سازه در هر لحظه تغییر کرده و ارتعاشات سازه کاهش می یابد. برخی از انواع عملی این سیستم ها عبارتند از میراگرهای جرمی تنظیم شده نیمه فعال و کنترل کننده های مهاربندی نیمه فعال. از سوی دیگر، پدیده هایی همانند لرزه ها و تکانهای شدید می توانند برای سازه مضر واقع شوند و اثرات و

زیانهای آنها می تواند برروی سازه زیاد باشد . در دهه اخیر کنترل کننده های فعال سازه برای مقابله با چنین نیروهایی بسیار مورد توجه قرار گرفته اند. این سیستم ها پاسخ بهتری در برابر تحريكهای مختلف از خود نشان می دهند. کاربرد این سیستم ها از سال ۱۹۸۹ آغاز شد. ضمن آنکه این سیستم ها دارای معایبی همچون پیچیده بودن، حجم بالای محاسبات و عدم قطعیت پارامترها نیز می باشند. در این سیستم ها عملگرها توسط منبع انرژی خارجی برای تولید نیرو تغذیه می شوند. شکل زیر تصویر نمادین مراحل کنترل فعال سازه ها را نشان می دهد.



[۱۰] شکل ۱-۲: تصویر نمادین مراحل کنترل فعال سازه ها

بر اساس استراتژی مورد نظر کنترل فعال به سه صورت امکان پذیر می باشد:

۱- سیستم کنترل فعال حلقه باز: وقتی حلقه سمت چپ شکل ۲-۱ قابل استفاده است.

۲- سیستم کنترل فعال حلقه بسته: وقتی حلقه سمت راست شکل ۲-۱ قابل استفاده است.

۳- سیستم کنترل فعال حلقه باز- بسته: وقتی هر دو حلقه شکل ۲-۱ قابل استفاده است.

الگوریتم های متداول در کنترل فعال سازه ها به همراه مبانی هر روش در جدول ۱-۱ درج شده اند.

جدول ۱-۱: الگوریتم های متداول کنترل فعال سازه ها

نام روش	مبانی روش
پایش بهینه خطی [۹۲]	کمینه کردن شاخص عملکرد
انتساب قطب [۳]	کمینه کردن شاخص عملکرد
فضای مودال مستقل [۵۲]	کمینه کردن نیروی پایش مودال
پایش بهینه آنی [۹۳]	تعیین نیروی پایش با کمینه کردن تابع عملکرد در هر لحظه از زمان
پایش حالت کران دار [۶۱]	حفظ پاسخ در محدوده مجاز
پایش غیر خطی [۹۱]	کمینه کردن تابع عملکرد مرتبه بالا
پایش بازخورد کلی شده [۹۵]	نیروی پایش تابعی از تغییر مکان سازه ای، سرعت و شتاب
پایش مود لغزشی (SMC) [۹۶]	تولید سطح لغزش شامل ترکیب خطی از عاملهای حالت
جبران تاخیر زمانی [۱]	وارد کردن اثر تاخیر زمانی بین اندازه گیری پاسخ و عملکرد پایش
شبکه عصبی و منطق فازی [۸۶]	پایگاه داده و پایگاه قواعد
استفاده از الگوریتم ژنتیک [۱۰]	الگوریتم ژنتیک

سامانه های کنترل نیمه فعال از سامانه های غیر فعال اصلاح شده جهت تنظیم ویژگیهای مکانیکی منشا می گیرند. بطور مثال ابزار اتلاف انرژی مکمل از این جمله سامانه ها می باشند. ویژگیهای مکانیکی این سامانه ها ممکن است بر پایه بازخورد از پاسخ اندازه گیری شده و یا تحریک تنظیم گرددند. همانند سامانه های کنترل فعال، در سامانه های نیمه فعال نیز کنترل کننده ضمن اندازه گیری بازخورد، سیگنالهای دستوری برای ابزار کنترل نیمه فعال را تولید می کند. همچنین در سامانه های نیمه فعال، همانند سامانه های غیر فعال، نیروهای کنترل به عنوان نتیجه ای از حرکت سازه حاصل شده و بر اساس تنظیم مناسب خصوصیات مکانیکی سامانه کنترل عمل می نماید.

۱-۲ تعریف مساله و ضرورت انجام تحقیق

هدف اصلی در این تحقیق شیوه نوین برای کنترل فعال نوسانهای سازه های هوشمند با چندین حسگر و عملگر و تعیین ویژگیهای حسگرها و عملگرها (نیروی لحظه ای عملگرها و موقعیت عملگرها و حسگرها) با توجه به روابط و نگره های دینامیک سازه ها و ریاضیات می باشد. در مورد ضرورت موضوع می توان گفت در سازه های هوشمند عملکرد حسگرها و عملگرها در تنظیم ویژگیهای سازه ای از قبیل سختی، میرایی و... جهت پاسخ مناسب به عوامل خارجی از طرف سازه از اهمیت ویژه ای برخوردار است. در این میان عملکرد مناسب حسگرها و عملگرها منوط به تعیین دقیق موقعیت و نیروی اعمالی به سازه از طرف عملگرها می باشد. این تحقیق به بررسی یک روش جدید و ساده جهت تعیین دقیق موقعیت و نیروی لحظه ای اعمالی به سازه از طرف عملگرها و موقعیت بهینه حسگرها در شرایطی که در سازه از چندین حسگر و عملگر استفاده شده است، می پردازد.

۱-۳-هدف تحقیق

هدف از این تحقیق ارائه پیشنهاد یک الگوریتم جدید در کنترل فعال نوسانات سازه در برابر بارهای مختلف بر پایه استفاده از اصول دینامیک سازه‌ها و استفاده از تئوری میرایی بحرانی مطابق یک روش ساده و قابل درک برای متخصصین و مهندسین رشته عمران می‌باشد. این هدف شامل تعیین مقادیر مناسب نیروی عملگر و موقعیت مناسب عملگرها و حسگرها می‌باشد.

۱-۴-نوآوری تحقیق

تا کنون الگوریتمهای متفاوتی در کنترل فعال سازه‌ها پیشنهاد گردیده است که عموماً بر مبنای محاسبات پیچیده ریاضی استوار بوده و بصورت کلی برای کنترل سیستمهای مختلف (نه بصورت خاص برای سازه‌های قابی ساختمانی) بیان گردیده است. روش ارائه شده در این تحقیق بر پایه علم دینامیک سازه‌ها، بصورت کامل سازگار با سازه‌های قابی ساختمانی و قابل درک و کنترل توسط متخصصین شاخه مهندسی عمران می‌باشد.

۱-۵-دستاوردهای مورد انتظار

دستاوردهای مورد انتظار در این تحقیق عبارتند از:

الف- دستیابی به روابط ریاضی و دینامیکی سازه برای حالت استفاده از چندین عملگر و چندین حسگر، یافتن روابط نیروهای لحظه‌ای مناسب عملگرها و نیز نحوه یافتن موقعیت مناسب حسگر و عملگرها با روش ساده و جدید پیشنهادی.

ب- تهییه برنامه رایانه‌ای کامل ترکیبی تعیین نیرو و موقعیت بهینه عملگرها و حسگرها.

پ- ارزیابی روش‌های تحلیل غیر خطی دینامیکی در ادغام با روش پیشنهادی.

ت- ارزیابی تحلیلی روش پیشنهادی.

ث- ارزیابی عددی روش پیشنهادی با حل چند مثال عددی بررسی نتایج حاصله در زمینه :

- مقایسه پارامترهایی همچون حداکثر تغییر مکان و زمان ایجاد بیشینه تغییر مکان سازه در حالت های مختلف کنترل فعال سازه (با توجه به موقعیت و تعداد حسگرها و عملگرها)

- مقایسه بیشینه تغییرات انرژی جنبشی سازه در بازه زمانی تحلیل دینامیکی در حالت های مختلف کنترل فعال سازه

- بررسی نحوه تغییر بیشینه مجموع تغییر مکانهای نسبی طبقات سازه در بازه زمانی تحلیل دینامیکی در حالت های مختلف کنترل فعال سازه

ج- بررسی روش پیشنهادی تحت بارگذاری های هارمونیک ، انفجاری و بار زلزله.

ج- بررسی مبحث عدم قطعیت در روش پیشنهادی .

ح- بررسی کلی پایداری سازه تحت الگوریتم پیشنهادی.

۱-۶ ارتباط موضوع تحقیق با مطالعات پیشین

روشهای پیشین در بهینه یابی موقعیت و مقدار نیروی عملگرها در کنترل فعال سازه های هوشمند الگوریتم های پیچیده و مشکلی همچون الگوریتم ژنتیک، روش فازی و ... بوده که دارای پیچیدگیهای خاص می باشند. در روش پیشنهادی ضمن استفاده از روابط و نگره های بنیادی یک الگوریتم ساده و قابل برنامه نویسی پیشنهاد گردیده است. در آخرین پژوهش در مورد استفاده از نگره های دینامیک سازه ها در بهینه یابی موقعیت و مقدار نیروی عملگرها در کنترل فعال سازه های هوشمند توسط علامتیان و رضائی پژند [۳۶] کنترل فعال نوسانهای سازه با درنظر گرفتن تنها یک حسگر و یک عملگر و لحظه نمودن تنها مود اول انجام شده است . این فرایند دارای محدودیت هایی است که از آن جمله می توان به کارائی پائین آن در سازه های با درجه های آزادی زیاد ، عدم بررسی تعداد حسگر و

عملگر در فرایند ، عدم بررسی عدم قطعیت در فرایند و عدم ارزیابی روش در بارهای لرزه ای اشاره کرد. در این مطالعه این کاستی ها برطرف می شود .

۷-تجهیزات مورد استفاده در تحقیق

در این تحقیق جهت برنامه نویسی رایانه ای از نرم افزار متلب استفاده می گردد.

۸-فرضیه ها و فرضیات تحقیق

فرضیات انتخابی در این تحقیق به شرح زیر می باشند:

الف-تعیین فرکانس های ارتعاشی بر اساس حالت نامیرا برای حالت کلی .

ب-از اثر اغتشاش در حسگرها چشم پوشی می شود .

پ-فرض می شود پاسخ دریافتی از حسگرها برابر پاسخ های گامهای زمانی در تحلیل دینامیکی به روش نیومارک باشد.

ت-عدم بررسی موارد اجرایی در کنترل سازه ها (بررسی تنها الگوریتم محاسباتی)

ث-در نظر نگرفتن تاخیر زمانی.

ضمن آنکه فرضیه ها در انجام رساله پیش رو به شرح زیر می باشد:

الف-در نظر گرفتن میرایی معادل مودهای اول با میرایی بحرانی می تواند باعث کمینه شدن ارتعاشات و میرا شدن سریع پاسخها گردد.

ب-با بالا رفتن تعداد حسگرها انتظار می رود کنترل فعال سازه مناسب تر گردد.

پ-انتظار می رود هماهنگی و سازگاری بین نتایج روش پیشنهادی با سایر روشهای مرسوم در کنترل فعال سازه ها وجود داشته باشد.

۱-۹-مراحل مختلف انجام تحقیق

مراحل مختلف انجام این تحقیق به شرح زیر می باشد.

۱-تهیه و تنظیم پروپوزال و برگزاری جلسه دفاع از موضوع پیشنهادی.

۲-مطالعه پژوهش‌های پیشین در زمینه سازه‌های هوشمند و الگوریتم‌های مختلف کنترل فعال سازه ها.

۳-بررسی پژوهش‌های انجام شده قبلی در زمینه نحوه تعیین موقعیت و نیروی حسگرها و عملگرها و تشخیص نقاط ضعف و قدرت آنها.

۴-ارزیابی نگره دینامیک سازه‌ها در فرایندهای کنترل سازه‌ها.

۵-طراحی و گسترش شیوه جدید برای پایش نوسانهای سازه‌ها بر مبنای استفاده از چندین عملگر و حسگر (شامل تدوین روابط ریاضی و دینامیکی جهت یافتن نیروهای بهینه عملگرها).

۶-جایابی موقعیت بهینه حسگرها و عملگرها بر اساس شیوه‌های پیشنهادی.

۷-تهیه الگوریتم روش پیشنهادی و نوشن برنامه‌های رایانه‌ای مرتبط.

۸-کنترل نوسانهای سازه با استفاده از روش پیشنهادی و تهیه نتایج تحت بارگذاری‌های متفاوت (بارهای هارمونیک-بار انفجاری-بار زلزله).

۹-مقایسه پارامترهایی همچون حداکثر تغییر مکان، حداکثر انرژی جنبشی و حداکثر میزان تغییر مکان نسبی در حالت‌های مختلف قرارگیری حسگرها و عملگرها و تعداد مختلف آنها و ارزیابی میزان تاثیر روش پیشنهادی در کاهش مقادیر تغییر مکان با رسم نمودارهای تاریخچه زمانی و مقایسه مقادیر حداکثر پارامترهای کلیدی

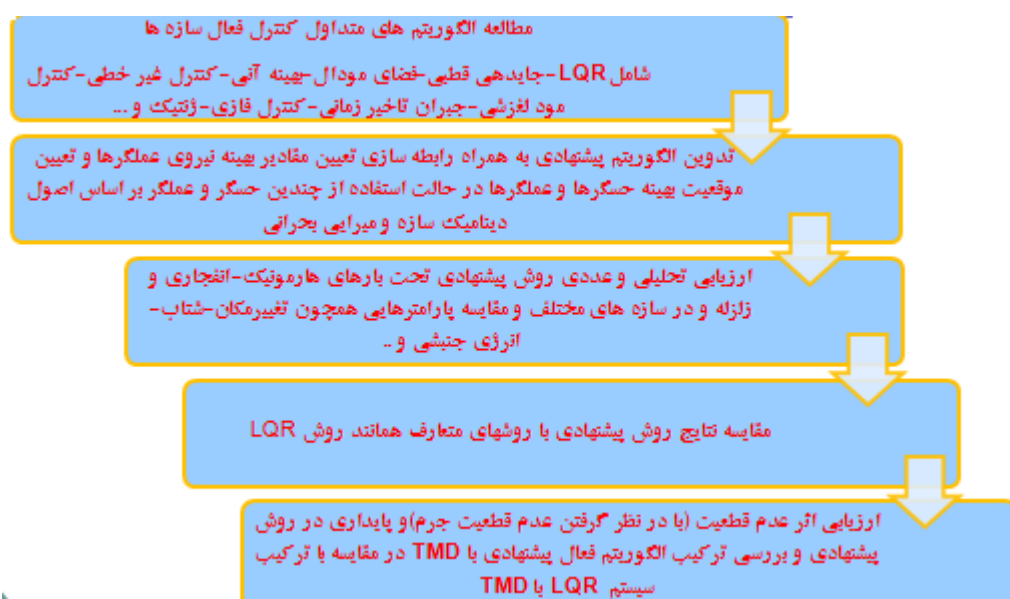
۱۰- مقایسه نتایج روش پیشنهادی با روش‌های معمول و متداول کنترل فعال سازه‌ها

۱۱- بررسی کلی پایداری سازه تحت الگوریتم پیشنهادی

۱۲- بررسی اثر عدم قطعیت در پروسه پیشنهادی

۱۳- جمع بندی کلی و نتیجه گیری

ضمن آنکه فلوچارت مراحل اصلی تحقیق بصورت شکل ۳-۱ می‌باشد:



۱۰- ساختار تحقیق

ساختار تحقیق مشتمل بر شش فصل کلی می‌باشد. فصل اول شامل کلیات موضوع، تعریف مساله، دستاوردها و مراحل انجام کار است. مطالعات پیشین در زمینه مطالب مرتبط با موضوع رساله در فصل دو گردآوری گردیده است. در فصل سوم مبانی، کلیات و مراحل مختلف روش جدید پیشنهادی بررسی شده است. ضمن آنکه صحت سنجی روش پیشنهادی در غالب ارزیابی عددی آن تحت بارهای مختلف در فصل چهارم بیان گردیده است. فصل پنجم نیز به بررسی عدم قطعیت و

پایداری در روش نوین پیشنهادی می‌پردازد. در نهایت جمع‌بندی و نتیجه‌گیری موضوع در فصل ششم آمده است.

فصل دوم

مطالعات پیشین

فصل دوم: مطالعات پیشین

در این فصل مبانی دینامیک سازه ها که در کنترل فعال سازه ها مورد استفاده قرار می گیرند، به همراه انواع استراتژی ها و تئوری های کنترل سازه ها بررسی می گردند. ضمن آنکه روش‌های پیشین تعیین موقعیت حسگرها و عملگرها در کنترل سازه ها بیان خواهد شد.

۱-۱ مبانی دینامیک سازه ها (مورد استفاده در طرح پیشنهادی)

مبانی دینامیک سازه ها که در این تحقیق مورد استفاده قرار می گیرد عبارتند از: معادلات تعادل دینامیکی، خاصیت تعامل، انواع میرایی، انواع مختلف میرایی، پاسخ دستگاه به بار هارمونیک، انفجاری و حرکت پی، معادله حرکت در مختصات مودی، میرایی رایلی و برنامه های عددی تحلیل دینامیکی که در پیوست یک گردآوری گردیده است.

۲-۲ سیستمهای کنترل در سازه های هوشمند

طی سالهای اخیر طراحی سازه بر اساس حرکت ، به عنوان روش نوینی در برابر روش‌های سنتی طراحی سازه ها مطرح گردیده است. در طراحی سازه ها بر اساس حرکت روش‌های مختلف کنترل حرکت سازه بکار گرفته می شود. کنترل حرکت سازه شاخه جدیدی از مهندسی می باشد که مرتبط با محدوده گسترده ای از مسائل مربوط به حرکت سازه ای مانند تعیین ضوابط حرکت ، استفاده از ذخیره انرژی، اتلاف انرژی و قطعات جذب کننده انرژی برای کنترل حرکت تولید شده بوسیله بارهای طراحی است. یکی از مباحث مهم در کنترل سازه ها، آرایش بهینه مکانیزم های کنترل حرکت می باشد.

بدلیل سادگی، هزینه کم و عدم نیاز به انرژی خارجی ، سامانه های کنترل غیر فعال سازه ها، دارای کاربرد های فراوانی می باشند. با وجود این، ثابت بودن ویژگیهای پایش باعث می شود این سامانه ها قابلیت تغییر و هماهنگی با شرایط سازه به ویژه در زمان زلزله را نداشته باشند. از سوی دیگر این

سامانه ها تنها برای تحریک های خاصی که طراحی شده اند به کار می روند. باید دانست در کنترل غیر فعال سازه ها انرژی از سامانه خارج می شود. میراگرهای جرمی (TMD) یک نمونه از سامانه های کنترل غیر فعال می باشند [۵-۱۲].

به دلیل محدودیت های اشاره شده، در دهه اخیر پایشگرهای فعال سازه برای مقابله با نیروی زلزله بسیار مورد توجه می باشد. این سامانه ها پاسخ بهتری در برابر تحریکهای مختلف از خود نشان می دهند. کاربرد این سامانه ها از سال ۱۹۸۹ آغاز گردید. باید دانست، پیچیدگی، حجم بالای محاسبات و عدم قطعیت عاملها از کاستی های سامانه های فعال می باشند. در این سامانه ها عملگرها توسط منبع انرژی خارجی برای تولید نیرو تغذیه می شوند. در سازه های هوشمند عملکرد مناسب حسگرها و عملگرها وابسته به تعیین دقیق موقعیت و نیروی اعمالی به سازه از طرف عملگرها می باشد. سامانه های کنترل نیمه فعال از سامانه های غیر فعال اصلاح شده برای تنظیم ویژگیهای مکانیکی ناشی می شوند. به عنوان نمونه، ابزار اتلاف انرژی مکمل از این گونه سامانه ها می باشند. ویژگیهای مکانیکی این سامانه ها بر پایه بازخورد از پاسخ اندازه گیری شده و یا تحریک تنظیم می شوند. همانند سامانه های کنترل فعال، در سامانه های نیمه فعال نیز پایشگر ضمن اندازه گیری بازخورد، فرمانهایی برای ابزار پایش نیمه فعال تولید می کند. همچنین در سامانه های نیمه فعال، همانند سامانه های غیر فعال، نیروهای پایش به عنوان نتیجه ای از حرکت سازه می باشند و بر اساس تنظیم مناسب ویژگیهای مکانیکی سامانه پایش نیمه فعال به دست می آیند [۷].

۳-۲ انواع تئوری های کنترل فعال سازه ای

دلایل گرایش محققین به کنترل فعال سازه های مختلف شامل موارد زیر است:

۱- کاهش ارتعاش سازه های انعطاف پذیر در برابر بارهای مختلف

۲- مقاوم سازی سازه ها در برابر بارهای دینامیکی

۳- حفاظت از تجهیزات حیاتی که کاربرد آنها پس از زلزله با اهمیت می باشد

بر اساس مطالعات soong [۷۳] اولین مطالعات در خصوص کنترل فعال سازه ها در دهه ۱۹۶۰ انجام گردید در آن دوران از تندوم های پیش تنبیه برای کنترل و پایدار سازی سازه های بلند استفاده نمودند.

در زمینه حرکت سازه ها در سال ۱۹۶۸ توسط zuk [۹۹] تحقیقاتی مطرح گردید. همچنین Nordell [۵۵] در سال ۱۹۶۹ نوعی از سیستم کنترل فعال را پیشنهاد داد که در آن در صورت اعمال بارهای فوق العاده بر سازه مقاومت سازه توسط افزودن برخی اعضلی مقاوم افزایش می یابد.

اما مفهوم کنترل فعال سازه مطابق الگوریتم ها و مفاهیم فعلی از سال ۱۹۷۲ توسط J.T.P.Yao [۳۹] بیان گردید. در تحقیقات بعدی همواره در درجات آزادی تعدادی حسگر در نظر گرفته شده که تغییر مکان، سرعت و شتاب رادر گامهای زمانی مختلف اندازه گیری نموده و توسط الگوریتم های کنترلی موجود روابطی بین پاسخ های سازه و نیروهای کنترلی پیشنهاد گردیده است. این ارتباط توسط ماتریسی به نام ماتریس بهره کنترلی بیان می گردد. در ادامه معمول ترین الگوریتم های کنترل فعال سازه ها بررسی می گردد.

۱-۳-۲- کنترل بهینه خطی (Linear Optimal Control)

معمول ترین الگوریتم کنترل بر پایه کنترل بهینه خطی می باشد. در این روش از کمینه کردن شاخص عملکرد J که مطابق رابطه زیر بیان می شود استفاده می گردد. [۷۴]

$$J = \int_0^{t_f} [z^T(t) Q z(t) + u^T(t) R u(t)] dt \quad 1-2$$

در رابطه بالا Q و R به ماتریس های وزنی اشاره دارند. ضمن آنکه دوره زمانی اعمال نیروی کنترل می باشد. پس از کمینه کردن شاخص عملکرد، تابع بردار نیروی کنترل مطابق زیر بدست می آید. [۷۴]

$$u(t) = -\frac{1}{2} R^{-1} B^T P(t) z(t) = Gz(t) \quad ۲-۲$$

در رابطه فوق G همان ماتریس بهره می باشد. پرسه کمینه سازی تحریک خارجی را در نظر نمی گیرد. لذا الگوریتم کنترل به درستی بهینه نمی باشد. مطالعات زیادی در خصوص کنترل بهینه خطی صورت گرفته است که از آن جمله می توان به موارد زیر اشاره نمود:

Yang(1975), Abdel-Rohman and Leipholz (1983), Chang and Soong (1980), Chung (1988), Soong (1992) and Sarbjit and Datta (1998).

روش های کنترل بازخوردی وضعیت، کنترل بازخوردی تغییر مکان و کنترل بازخوردی شتاب هر سه زیر مجموعه کنترل بهینه خطی هستند. در کنترل بازخوردی وضعیت لازم است برای تمام درجات آزادی بردارهای تغییر مکان و سرعت معلوم باشند. سپس با ضرب نمودن ماتریس بهره که نیروهای کنترلی را به متغیرهای اندازه گیری شده سیستم وابسته می کنند بردار وضعیت، نیروهای کنترلی حاصل می گردد. با توجه به اینکه اندازه گیری تغییر مکان و سرعت در تمام درجات آزادی بسیار مشکل می باشد لذا روشها کنترل بازخوردی تغییر مکان و کنترل بازخوردی شتاب بیشتر مورد مطالعه قرار گرفته است. این روشها به ترتیب نیازمند محاسبه تغییر مکان و شتاب در درجات آزادی هستند.

الف-کنترل بازخورده وضعيت

معادله تعادل ديناميکي سازه با درجات آزادی متعدد به صورت رابطه زير بيان می گردد.

$$M\ddot{x}(t) + C\dot{x}(t) + Kx(t) = Du(t) + Ef(t) \quad 3-2$$

در رابطه بالا بردار x تغيير مكان عمومي شده و ماترييس های جرم ،ميرائي C ، M و K ماترييس های حرکت زمين ، D ماترييس موقعيت و سختی می باشند. بردار $f(t)$ بيان کننده تحريك خارجي بدلليل حرکت زمين ، $u(t)$ بردار نيروي کنترل بوده که داراي نيروهای کنترل و E ماترييس موقعيت تحريك خارجي است . رابطه تقربي زير می باشد. [74]

$$u(t) = K_1x(t) + C_1\dot{x}(t) + E_1f(t) \quad 4-2$$

با ترکيب دو رابطه فوق داريم: [74]

$$M\ddot{x}(t) + (C - DC_1)\dot{x}(t) + (K - DK_1)x(t) = (E + DE_1)f(t) \quad 5-2$$

مطابق رابطه بالا می توان گفت کنترل سازه اى از نظر رياضي مقادير ميرائي،سختي و تحريك خارجي را اصلاح می کند. استخراج ماترييس های C_1 ، K_1 و E_1 بستگي به الگوريتم کنترل انتخاب شده دارد. به گونه اى که اين الگوريتم ها هر يك داراي توابع هدفي می باشند (اين توابع پاسخ سازه را کاهش می دهند) که با مينيميم کردن آنها ماترييس های مذكور بدست می آيند. حل مسائل کنترل و بررسی الگوريتم های کنترل با نوشتن معادله حرکت در فضای حالت امکان پذير می باشد. [74]

$$\dot{z}(t) = Az(t) + Bu(t) + Hf(t) \quad 6-2$$

ضرائب در معادلات بالا مطابق زير تعریف می گردد.

$$z(t) = \begin{bmatrix} x(t) \\ \dot{x}(t) \end{bmatrix}_{2n \times 1}, A = \begin{bmatrix} 0 & I \\ -M^{-1}K & -M^{-1}C \end{bmatrix}_{2n \times 2n} \quad 7-2$$

$$B = \begin{bmatrix} 0 \\ M^{-1}D \end{bmatrix}_{2n \times m}, H = \begin{bmatrix} 0 \\ M^{-1}E \end{bmatrix}_{2n \times r} \quad 8-2$$

در معادلات n بیانگر تعداد درجات آزادی سیستم و m نمایانگر تعداد عملگر است.

۱ نیز بیان کننده درجات آزادی متأثر از بار خارجی می باشد.

در روش کنترل بازخورده وضعيت ، کنترل بوسيله اندازه گيري پاسخ سیستم و محاسبه نیروی کنترلی (بصورت تابعی از آن) صورت پذيرفته و ورودی کنترل بصورت زیر بیان می گردد.

$$u(t) = -G.Z(t) \quad 9-2$$

ماتریس G ماتریس بهره کنترلی می باشد که نیروهای کنترلی را به متغیرهای اندازه گيري شده سیستم وابسته می کند. نکته اساسی در تمامی الگوریتمهای کنترلی که باعث بهینه شدن سیستم کنترل می گردد، محاسبه ماتریس بهره می باشد. در تئوری کنترل بهینه، هدف یافتن بردار کنترلی $u(t)$ به نحوی است که شاخص عملکرد J که بصورت زیر بیان می گردد کمینه شود:

$$J = \int_0^{t_f} [z^T(t)Qz(t) + u^T(t)Ru(t)]dt \quad 10-2$$

در رابطه بالا Q ، ماتریس وزنی مثبت نیمه معین از مرتبه $2n \times 2n$ و R ماتریس وزنی مثبت معین از مرتبه m^*m است که توسط سعی و خطا بدست می آید (n نمایانگر درجات آزادی سیستم و m بیانگر تعداد عملگر سیستم است). برای بدست آوردن نیروهای کنترلی به ترتیب زیر عمل می گردد. در ابتدا همیلتون سیستم بدست می آید.

$$H = 1/2(Z^T Q Z + u^T R u) + \lambda^T (A Z + B u) \quad 11-2$$

با استفاده از روابط کنترل بهینه داریم:

$$\begin{aligned}\dot{\lambda} &= -\frac{\partial H}{\partial Z} = -QZ - A^T \lambda \\ \frac{\partial H}{\partial Z} &= Ru + B^T \lambda = 0\end{aligned}\quad 12-2$$

بنابر این ورودی کنترلی بصورت زیر می باشد.

$$u = -R^{-1}B^T \lambda \quad 13-2$$

سپس با محاسبه λ نیروهای کنترلی محاسبه می گردند. برای محاسبه این پارامتر آن را بصورت ضریبی از بردار وضعیت تعریف می کنند.

$$\lambda = S \cdot Z(t) \quad 14-2$$

لذا داریم:

$$U(t) = -G \cdot Z(t) \quad 15-2$$

$G = R^{-1}B^T S$ 16-2

ماتریس S ماتریس مثبت معینی است که بنام ماتریس ریکاتی معروف می باشد. با جایگزینی معادلات فوق در معادله همیلتون سیستم ، معادله ریکاتی بصورت زیر بدست می آید.

$$SA + A^T S - SBR^{-1}B^T S + Q = 0 \quad 17-2$$

برای حل معادله ریکاتی روش‌های متفاوتی بیان گردیده است.

در روش پوتر می توان ماتریس‌های G, S را بدست آورد و سپس در هر بازه زمانی با محاسبه بردار وضعیت، نیروهای کنترلی را از معادله $u(t) = -G \cdot Z(t)$ بدست آورده و بر سازه اعمال می کنند.

ب - کنترل بازخوردی تغییرمکان

در این روش با مشخص بودن تغییرمکان‌های سیستم و با استفاده از یک مشاهده گر دینامیکی می توان نیروهای کنترلی را محاسبه نمود. بر پایه این روش یک مدل ریاضی پایه ریزی می گردد که تنها از خروجی‌های بدست آمده از حسگرها استفاده می گردد. بردار خروجی سیستم به صورت زیر قابل دسترسی است.

$$y = C_0 Z(t) \quad 18-2$$

ماتریس C_0 نشان می دهد که کدامیک از اعضای بردار وضعیت قابل دسترسی هستند. مطابق الگوریتم کنترل ، معادله مشاهده گر دینامیکی را می توان بصورت زیر نوشت.: [۷۴]

$$\dot{\hat{Z}}(t) = A\hat{Z}(t) + Bu(t) + L(y(t) - \hat{y}(t)) + Hf(t) \quad 19-2$$

$$\hat{y} = C_0 \hat{Z}(t) \quad 20-2$$

در این رابطه L ، ماتریس بهره مشاهده گر می باشد که باید محاسبه گردد. بخش اول و دوم معادله فوق معادله سیستم تخمین زده شده و بخش سوم مدل ریاضی سیستم را بوسیله یک بازخورد خطی از اختلاف بین خروجی اندازه گیری شده $y(t)$ و خروجی محاسبه شده تصحیح می کند که هر دوی این پارامترها در دسترس می باشند. با تشکیل تفاضل رابطه فوق با رابطه فضای وضعیت که در ابتدا

[۷۴] بیان گردید داریم:

$$\dot{Z}(t) - \dot{\hat{Z}}(t) = AZ(t) - A\hat{Z}(t) - L(y(t) - \hat{y}(t)) = (A - LC)(Z - \hat{Z}) \quad 21-2$$

با لحاظ نمودن اختلاف بین سیستم مشاهده گر و سیستم اصلی و جایگزینی آن در معادله بالا رابطه زیر که یک معادله خطی مرتبه اول است بدست می آید.

$$er = z - \hat{z} \quad ۲۲-۲$$

$$\dot{er} = (A - LC)er \quad ۲۳-۲$$

$$er(t) = e^{(A-LC)t} er(0)$$

لذا تابع خطأ وابسته به زمان خواهد بود. برای پایداری سیستم باید در حالت پاسخ ماندگار ، مقدار خطأ به سمت صفر میل کند. لذا شرط پایداری حلقه بسته مشاهده گر را می توان بصورت زیر بیان نمود:

$$\lambda_i(A - LC) < 0 \quad ۲۴-۲$$

در این رابطه λ_i ، مقادیر ویژه ماتریس $A-LC$ است. با توجه به اینکه ماتریسهای A و C معین هستند، لذا لازم است تنها ماتریس L بدست آید. L به گونه ای محاسبه می گردد که سیستم حلقه بسته $A-LC$ پایدار بماند. با توجه به اینکه مقادیر ویژه یک ماتریس با مقادیر ویژه ترانهاده همان ماتریس یکسان است داریم:

$$\lambda_i(A - LC) = \lambda_i(A^T - C^T L^T) \quad ۲۵-۲$$

اکنون می توان بهره مشاهده گر را بوسیله حلقه بسته AT-CT LT همانند یک سیستم حلقه بسته ساده بدست آورد. اکنون با محاسبه $(t)\hat{Z}$ از معادلات قبلی و جایگذاری آن در معادله ذیل بردارهای نیروهای کنترلی بدست می آید.[۷۴]

$$u(t) = -G \cdot \hat{Z}(t) \quad ۲۶-۲$$

ج-کنترل بازخورده شتاب

ایده اصلی در این روش همان الگوریتم کنترل بهینه خطی و کمینه کردن شاخص عملکرد می باشد. در این حالت بردار خروجی دارای رابطه خطی با بردار وضعیت می باشد. لذا داریم:

$$y(t) = DZ(t) \quad ۲۷-۲$$

$$D = \begin{bmatrix} -M^{-1}K - M^{-1} \end{bmatrix}$$

در رابطه بالا D ماتریس ضریب خروجی و بردار $y(t)$ خروجی های اندازه گیری شده است. این خروجی ها در اینجا پاسخ شتاب سیستم می باشد. لذا رابطه نهایی روش قبل بصورت زیر نوشته می شود:

$$\ddot{x}_a(t) = DZ(t) \quad 28-2$$

اکنون هدف این است که نیروهای کنترلی مستقیما از حاصلضرب خروجی های اندازه گیری شده در یک ماتریس بهره بدست آیند. لذا داریم:

$$u(t) = G \ddot{x}_a(t) \quad 29-2$$

در روش بیان شده توسط چانگ و همکاران [۱-۶۵] برای محاسبه ماتریس بهره روابط زیر مورد استفاده قرار گرفت:

$$(A + BGD)^T H + H(A + BGD) + (Q + d^T G^T RGD) = 0$$

$$Z_0 + L(A + BGD)^T + (A + BGD)L = \quad 30-2$$

$$B^T H L d^T + R G d L d^T = 0$$

که در آن L ماتریس ضرایب لاغرانژین است. با حدس اولیه برای ماتریس G و با استفاده از روابط بالا مقادیر ماتریس L و H حاصل می گردند. با قرار دادن این مقادیر در رابطه اصلی معادله کنترلی در فضای وضعیت ، مقدار اصلاح شده ماتریس G حاصل می گردد. این مراحل تا همگرا شدن ماتریس بهره ادامه می یابد. با استفاده از ماتریس G حاصل شده، مقدار بردار نیروی کنترلی در هر لحظه را می توان با استفاده از رابطه $\ddot{x}_a(t) = DZ(t)$ بدست آورد.

۲-۳-۲- تکنیک انتساب قطب

با استفاده از رابطه نهائی بدست آمده در روش اول می توان نوشت:

$$\ddot{z}(t) = (A + BG)z(t) + Hf(t) \quad ۳۱-۲$$

نسبت های میرائی مودال و فرکانس ها بدست آمده از ماتریس اصلاح شده ($A + BG$) خصوصیات دینامیکی سیستم را فراهم می کند. ماتریس G (ماتریس بهره) می توانند بدین گونه انتخاب شوند که مقادیر ویژه ماتریس اصلاح شده بصورت مجموعه ای از اعداد که توسط طراح تعیین شده اند در نظر گرفته می شوند. عموماً مقادیر ویژه اولین مودهای پائین بررسی می شوند. لذا این برنامه کنترل برای سازه هایی موثر و مفید هستند که دارای مودهای پائین اول غالب هستند. این برنامه کنترل بهینه نمی باشد اما مطلوب و امکان پذیر است. درمورد این روش مطالعات کمی صورت پذیرفته است که برخی از آنها عبارتند از:

Abdel-Rohman and Leipholz (1978), Martin and Soong (1976), and Abdel-Rohman and Nayfeh (1987)

۳-۳-۲- روش کنترل فضای مودال مستقل (Independent Modal Space Control)

در این روش معادله فضای حالت در مختصات مودال نوشته می شود. این کار با تعریف نیروی کنترل مودال $u_j(t)$ و بار مودال $f_i(t)$ صورت می گیرد. با استفاده از تابع عملکرد مودال J_j از رابطه زیر تابع عملکرد کلی بدست می آید.

$$J = \sum J_j \quad ۳۲-۲$$

سپس این تابع برای یافتن نیروی کنترل مودال کمینه می شود. موارد زیر شامل برخی مطالعات در خصوص این روش می باشند.

Meirovitch and Oz, 1980; Meirovitch and Baruh, 1983; Meirovitch and Ghosh, 1987

۴-۳-۲- روش کنترل بهینه آنی (Instantaneous Optimal Control)

در این روش تحریک خارجی تا زمان جاری در الگوریتم کنترل بهبود یافته با استفاده از تابع عملکرد وابسته به زمان $J(t)$ بکار می رود. نیروی کنترل بهینه با کمینه کردن تابع $J(t)$ در هر لحظه ای از زمان بدست می آید. فرمول مساله بر اساس نوشتمن معادله بردار حالت $Z(t)$ بر حسب بردار حالت و تحریک در گام زمانی قبلی می باشد. تابع عملکرد $J(t)$ با قید داده شده بوسیله بیان بردار حالت $Z(t)$ بر حسب گام زمانی Δt بیان می شود. برخی از مطالعات انجام شده در مورد این روش عبارتند از:

Abdel- Rohman and Leipholz (1979), and Yang et al. (1987). The minimization of the cost function is carried out over the time interval.

معادله حرکت یک سازه n درجه آزادی کنترل شده بصورت زیر می باشد.

$$M\ddot{x}(t) + C\dot{x}(t) + Kx(t) = Du(t) + Ef(t) \quad ۳۳-۲$$

برای سهولت بررسی مساله می توان از فضای حالت استفاده نمود.

$$\dot{z}(t) = Az(t) + Bu(t) + Hf(t), z(0) = z_0 \quad 34-2$$

که در آن

$$z(t) = \begin{bmatrix} x(t) \\ \dot{x}(t) \end{bmatrix}_{2n \times 1}, A = \begin{bmatrix} 0 & I \\ -M^{-1}K & -M^{-1}C \end{bmatrix}_{2n \times 2n} \quad 35-2$$

ماتریس A بیانگر خصوصیات فیزیکی سیستم می باشد. همچنین:

$$B = \begin{bmatrix} 0 \\ M^{-1}D \end{bmatrix}_{2n \times m}, H = \begin{bmatrix} 0 \\ M^{-1}E \end{bmatrix}_{2n \times r} \quad 36-2$$

در این روابط ماتریس موقعیت D به ابعاد $m \times n$ و ماتریس E به ابعاد $r \times n$ به ترتیب معرف ماتریس A مربوط به محل قرارگیری کنترلرها و تحريك خارجی در فضای فیزیکی می باشند. در ماتریس ماتریسهای O و I به ترتیب معرف ماتریس تهی و ماتریس واحد می باشند. در محاسبه نیروی کنترل با استفاده از الگوریتم بهینه آنی از رابطه زیر استفاده می شود.

$$u(t) = -\frac{\Delta t}{2} R^{-1} B^T Q z(t) \quad 37-2$$

در رابطه فوق R یک ماتریس مثبت قطعی و Q یک ماتریس مثبت نیمه قطعی می باشند. در یک سیستم چند درجه آزادی داریم:

$$M \cdot \Delta \ddot{Y} + C \cdot \Delta \dot{Y} + K \cdot \Delta Y = H \cdot \Delta U + F \cdot \Delta \ddot{X} \quad 38-2$$

در فضای حالت داریم:

$$\dot{Z}(t) = A \cdot Z(t) + B \cdot U(t) + W \cdot \ddot{X}(t) \quad ۳۹-۲$$

$$[A] = \begin{bmatrix} 0 & I \\ -M^{-1} * K & -M^{-1} * C \end{bmatrix}, [B] = \begin{bmatrix} 0 \\ M^{-1} * H \end{bmatrix}, [W] = \begin{bmatrix} 0 \\ M^{-1} * F \end{bmatrix} \quad ۴۰-۲$$

کنترل بهینه در واقع محاسبه بردار U به نحوی است که شاخص عملکرد (J) کمینه شود.

$$J = \int_0^{t_f} \{ \dot{Z}(t) \cdot Q \cdot Z(t) + \dot{U}(t) \cdot R \cdot U(t) \} dt \quad ۴۱-۲$$

در این رابطه Q ماتریس وزنی مربوط به تغییر مکانها و R ماتریس وزنی مربوط به نیروی کنترل است. برای کمینه کردن شاخص J با قید محدود کننده مطرح شده، قیود را با J ترکیب و با استفاده از اصل همیلتون و انتگرال گیری جز به جز نیروی کنترل بصورت زیر بدست می آید.

$$U(t) = -\frac{1}{2} R^{-1} \cdot B^T \cdot P(t) \cdot Z(t) \quad ۴۲-۲$$

که در این رابطه $P(t)$ ماتریس ریکاتی نامیده شده و از رابطه زیر بدست می آید.

$$P \cdot A - \frac{1}{2} P \cdot B \cdot R^{-1} \cdot B^T \cdot P + A^T \cdot P + 2Q = 0 \quad ۴۳-۲$$

لذا خواهیم داشت:

$$\dot{Z}(t) = (A + B \cdot G) \cdot Z(t) + W \cdot \ddot{X}(t) \quad ۴۴-۲$$

$$G = -\frac{1}{2} R^{-1} \cdot B^T \cdot P$$

با حل نمودن معادله فوق و محاسبه $Z(t)$ و جایگزینی آن در رابطه $u(t) = Z(t)$ نیروی کنترل محاسبه می شود. این نیرو بر حسب زمان متغیر می باشد.

(Bounded State Control) ۲-۳-۵- کنترل حالت کران دار

در این روش نیروی کنترل برای حفظ پاسخ در محدوده مجاز اعمال می شود. ایده پایه کنترل پالس، اعمال یک سلسله پالسهای نیرو برای تولید پاسخهایی که بوسیله یک بار پیوسته با طبیعت اختیاری تولید شده اند می باشد. این پاسخها همراه با تخریب تدریجی پاسخ سازه در ارتباط با رزنانس است. اندازه های پالس بوسیله کمینه کردن تابع هزینه تعیین می گردد. حداقل کردن تابع هزینه در فضای پالس داخلی انجام می شود. در این برنامه یک کنترل پیوسته از متغیرهای حالت سیستم مورد نیاز است. مزایای این روش قابلیت اجرای آن برای سازه های غیر الاستیک و خاصیت ذخیره انرژی آن می باشد. برخی از محققین که در این مورد مطالعه نمودند عبارتند از:

Abdel-Rohman et al. (1993), Udwadia and Tabai (1981a, 1981b), Masri et al. (1981a, 1981b), Prucz et al. (1985), and by Reinhorn et al. (1987).

۲-۳-۶- کنترل غیر خطی

در این روش یک تابع عملکرد مرتبه بالا بدین ترتیب کمینه می شود که نیروی کنترل، به یک تابع غیر خطی از متغیر حالت تبدیل می گردد. ایده اصلی در این روش بدست آوردن یک پاسخ کنترل بهتر با نیروی کنترل نسبی کمتر می باشد. WU و همکاران در سال ۱۹۹۵ [۹۱] یک استراتژی کنترل غیر خطی با بکارگیری معادله ریکاتی را توسعه دادند. نیروی کنترل در فرم مناسب با بکارگیری یک پارامتر فید بک غیر خطی وزن دار بیان می شود. با صفر قراردادن این پارامتر نیروی کنترل برابر همان مساله LQR بدست می آید. سایر مطالعات در خصوص کنترل فعال غیر خطی کنترل برابر همان مساله LQR بدست می آید. سایر مطالعات در خصوص کنترل فعال غیر خطی عبارتند از:

Shefer and Beakwell (1987), Suhardijo et al. (1992a), and Wu et al. (1995)

(Generalized Feed-Back) ۷-۳-۲-کنترل بازخورد عمومی شده

در این برنامه کنترل معادلات دینامیک عملگر نیز وارد می گردد. به عنوان نتیجه شتاب مطلق نیز غیر از تغییر مکان و سرعت، فید بک دیگر خواهد شد. بنابراین نیروی کنترل تابعی خواهد شد از تغییر مکان سازه ای، سرعت و شتاب. مطالعات در خصوص کنترل فعال با فیدبک شتاب شامل موارد زیر است.

Yang et al. (1991, 1994), Suhardjo et al. (1992b), Spencer et al. (1993), Rofooei and Tadjbakhsh (1993), Dyke et al. (1996a), and by Suneja and Datta (1998).

(sliding mode control(SMC)) ۸-۳-۲-کنترل مود لغزشی

این روش اولین بار توسط اتکین در سال ۱۹۷۸ بنا شد [۸۹]. در این روش یک سطح لغزشی تولید می گردد که شامل ترکیب خطی از پارامترهای حالت می باشد. سطح لغزشی عبارتست از پاسخی از سازه که حرکت سازه روی این سطح پایدار است. این مولفه با کمینه کردن تابع عملکرد LQR و بنابراین نیاز به حل معادله ریکاتی (Riccati) بدست می آید. سیستم های کنترل طوری طراحی می شوند که پاسخ را روی سطح لغزشی هدایت کنند. این مورد توسط معیار پایداری Liapunov انجام می شود. از این شرایط نیروی کنترل بدست می آید. روش اصلاحی در کنترل مود لغزشی بوسیله طراحی یک سیستم کنترل می باشد که نیروی کنترل را بر اساس سیستم بازخورد خطی و بردار حالت بازخورد غیر خطی بیان می نماید. بازخورد غیر خطی برای بررسی موارد غیر قطعی بوجود آمده از تحریک در نظر گرفته می شود. هدف اصلی در این خصوص ساختن استراتژی کنترل قوی در مقابل

انواع موارد غیر قطعی در سیستم است. برخی از مطالعات در خصوص کنترل مود لغزشی شامل موارد

زیر می باشد:

Yang et al. (1994), Singh and Matheu (1997), Adhikari and Yamaguchi (1997), and by Sarbjit and Datta (2000).

۹-۳-۲-روش جبران تاخیر زمانی (Time Delay Compensation)

این الگوریتم کنترل بر اساس اثر آنی می باشد. در حالت کلی فرض گردیده است که هیچ تاخیر زمانی بین اندازه گیری پاسخ و عملکرد کنترل وجود ندارد. در حقیقت این موضوع هرگز دست یافتنی نمی باشد و همواره یک تاخیر زمانی وجود دارد. اثر تاخیر زمانی اگر بدرستی وارد نشود باعث ناپایداری سیستم میشود. اهمیت جبران تاخیر زمانی در کنترل سازه ای توسط محققان زیر بررسی و نظراتی پیشنهاد گردیده که شامل در نظر گرفتن تغییر مکان فاز در پارامترهای حالت اندازه گیری شده در فضای مودال و غیره می باشند.

McGreevy et al.(1988), Hammerstrom and Gros(1980); Abdel-Rohman(1985); Soliman and Roy(1992).Abdel-Rohman (1985, 1987, 1993), Jun-Ping and Kelly (1991), Jun-Ping and Deh-Shiu (1988), Yang et al. (1990), and by Chung et al. (1995).

۱۰-۳-۲-کنترل فعال با استفاده از شبکه عصبی و منطق فازی

(Active Control Using Neural Network and Fuzzy Logic)

این روشها بصورت قطعی و بهینه پاسخ سازه ای را کنترل نمی کنند، اما از نظر کاربردی در مقایسه با سایر روشها مناسب بوده و تطبیق پذیر نیز می باشند. استفاده از تغیری فازی در کنترل فعال و نیمه فعال سازه ها دارای مزایائی از قبیل کارائی آن در رفتار غیرخطی سازه ها و همچنین ساده بودن آن

هستند. در کنترل فازی معادله حرکت سیستم کنترل معمولاً با استفاده از نرم افزار متلب و جعبه ابزار فازی آن حل می شود. در روش فازی بازخورد می تواند فقط سرعت، سرعت و تغییر مکان و یا سرعت به همراه تغییر مکان و شتاب باشد. کنترل فازی گرچه یک کنترل بهینه نمی باشد اما در مقایسه با تئوری های کنترل کلاسیک دارای انعطاف پذیری بیشتری می باشد. برخی از مطالعات در خصوص استفاده از منطق فازی در کنترل فعال و نیمه فعال سازه ها عبارتند از:

Symans and Kelly (1999), Battaini et al. (1998), Tani et al. (1998), Kurata et al. (1999).

کنترل فازی در سازه ها بر مبنای پایگاه داده و پایگاه قواعد است. مجموعه این دو پایگاه، پایگاه دانش سیستم را تشکیل می دهد. پایگاه دانش بر اساس تجرب قبلى و همچنین هوش مصنوعی ایجاد می گردد. پس از اینکه متغیرهای ورودی فازی شدند با استفاده از استنتاج فازی و پایگاه قواعد زیر متغیر خروجی بصورت فازی تعیین و سپس با یک روش مناسب (همانند روش مرکز ثقل) دی فازی می شوند. در کنترل فازی سازه ها خروجی این قسمت نیروی کنترلی است که به عملگرها اعمال می گردد. در این سیستم حسگرها پاسخ سازه را دریافت کرده و به پایگاه داده میفرستند (این عمل در هر گام زمانی انجام می گردد).

در روش استفاده از شبکه های عصبی، هنگامی که سازه تحت اثر زلزله ناشناخته آینده قرار گیرد عصب ها نیروهای کنترل را جهت کاهش پاسخ سازه تولید می کنند. مطالعات زیر بخشی از مطالعات در زمینه مورد نظر است:

(Ghaboussi and Joghataei, 1995; Chen et al., 1995; Bani-Hani and Ghaboussi, 1998; Rao and Datta, 1998).

رائو و داتا در سال ۱۹۹۸ [۶۰] یک برنامه کنترل توسط شبکه عصبی تکی برای کاهش پاسخ در کنترل مود تکی قابهای ساختمانی ارائه دادند. این برنامه کنترل اثرات تاخیر زمانی را نیز در شبکه عصبی در نظر می گیرد. این نگره بعدها در خصوص پاسخ چند موده قابهای ساختمانی نیز گسترش

یافت. روش مذکور ابتدا پاسخ مodal سازه را حدس می زند و سپس نیروی کنترل مورد نیاز جهت اعمال به سازه را محاسبه می کند. در این روش بهینه یابی نیروهای کنترل و تعداد کنترل گرها، می تواند به صورت یک مسئله بهینه یابی ریاضی مطرح شود که با استفاده از روش‌های عددی بهینه یابی قابل حل خواهد بود . بهینه یابی نیروهای کنترل و تعداد کنترل گرها با استفاده از چنین روشی نیازمند عملیات وقت گیر سعی و خطأ، تا رسیدن به جواب نهایی است . با استفاده از نتایج بدست آمده یک شبکه عصبی مصنوعی آموزش داده می شود، بطوریکه با استفاده از این شبکه و با داشتن خصوصیات فیزیکی سازه و ویژگیهای تحریک لرزه ای، تعداد و موقعیت بهینه کنترل گرها در کوتاه ترین زمان و بدون نیاز به انجام سعی و خطأ به دست آورده می شود . همچنین در جهت کاهش حجم محاسبات و زمان رسیدن به جواب، از کنترل Modal سازه می توان بهره گرفت . با در نظر داشتن این نکته که قسمت عمده از پاسخ سازه مربوط به ارتعاش آن در مود اول میباشد، با کنترل سازه در این مود ، بهینه یابی نیرو های کنترل و تعداد کنترل گرها ، با سرعت بیشتری انجام می گیرد .

۱۱-۳-۲-کنترل فعال سازه با استفاده از آلگوریتم ژنتیک

در سالهای اخیر استفاده از الگوریتم های ژنتیک ، با موقیت‌های چشمگیری همراه بوده و محققان برای بکار بردن این الگوریتم نوین برای مسائل بهینه سازی علاقه بسیاری نشان می دهند . روش ژنتیک ، یک جستجوی اتفاقی است که توانایی فراوانی در حل مسائل مختلف دارد . در اکثر موارد الگوریتم ژنتیک موجب بهبود کارایی سیستم های کنترل سازه گشته اند و این موضوع با تأمل در نتایج آزمایش‌های انجام شده بخوبی روشن میشود.

۱۲-۳-۲- کنترل فعال سازه ها با سختی متغیر توسط الگوریتم ژنتیک

بکار بردن سازه ها با سختی متغیر بعنوان عملی ترین راه برای کنترل فعال سازه بنظر میرسد . این تغییر سختی در سازه ، با تعبیه بادبند های ویژه ای که مجهز به موتوری هستند و از سیستم کنترل فرمان می گیرد ، ایجاد می شود . الگوریتم ژنتیک با توجه به نیروی واردہ ، سختی بهینه را در جهت کاهش تغییر مکان سازه ، بر آورد و محاسبه می کند . هدف اصلی این است که بواسطه وقوع لرزه ، سیستم های کنترل بتوانند سختی مناسبی را ایجاد کنند که توانایی کاهش مناسب پاسخ سازه در مقابل نیروی واردہ را داشته باشد و اینمی سازه را بخوبی تضمین نماید .

۱۳-۳-۲- روشهای دیگر کنترل سازه ها

برخی از سایر روشهای کنترل سازه ها شامل روشهای کنترل دوگانه، کنترل انطباقی و کنترل اتفاقی می باشند. کنترل دوگانه که ترکیبی از کنترل فعال و غیر فعال هستند، زمانی روش برتر است که کنترل دقیق‌تر یک یا چند مقدار پاسخ مورد نظر باشد. کنترل کننده انطباقی یک کنترل کننده با پارامترهای تنظیم پذیر می باشد. این روش بطور کلی برای کنترل سازه هایی مورد استفاده قرار می گیرند که پارامترهای آنها ناشناخته یا غیر قطعی هستند. روشهای کنترل انطباقی به دو دسته کلی روشهای مستقیم و غیر مستقیم تقسیم می شوند. در این روش پاسخ کنترل انطباقی از رابطه زیر محاسبه می گردد.

$$\begin{aligned}\dot{X}(t) &= A_s X_s(t) + B_s u_s(t) \\ Y_s(t) &= C_s X_s(t) - \text{observer}\end{aligned} \quad ۴۵-۲$$

کنترل کننده انطباقی بر مبنای پی گیری میزان خطا از رابطه زیر می باشد:

$$e(t) = Y_m(t) - Y_s(t) \quad ۴۶-۲$$

روش کنترل فعال اتفاقی در موقع زیر می باشد مورد استفاده قرار گیرد.

- ۱-غیر قطعی ها در طبیعت ذاتی سازه و نیروهای بیرونی وجود داشته باشند
- ۲-سازه دارای درجات آزادی غیر معین باشد و توسط حسگرها بصورت کامل قابل مشاهده و بررسی نمی باشد

۳-حسگرها همراه با پارازیت باشند.

مطالعات عددی مختلف در خصوص کنترل فعال ساختمانها، در مطالعات پیشین، به نتایج جالبی منتهی گردیده است که می توانند در طراحی و آنالیز یک برنامه کنترل فعال مفید باشند. در ادامه برخی از مهمترین این موارد بصورت خلاصه بیان گردیده است.

۱-مشاهده گردید که چنانچه کنترل کننده در طبقه بالاتر نصب گردید، نیاز به یک نیروی کنترل کوچکتر برای دستیابی به کاهش بزرگ در پاسخ وجود دارد و در حالی که کنترل کننده در طبقه اول نصب گردید نیاز به نیروی کنترل بزرگتر می باشد.[۹۲]

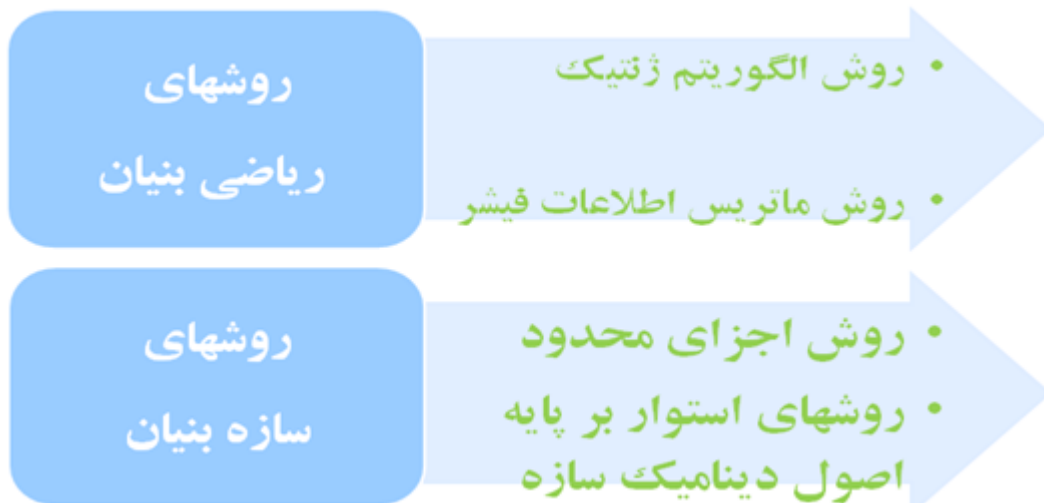
۲-سیستم کنترل بادبندی وقتی به ساختمانی تحت اثر نیروی باد اعمال می شود برای تغییر مکان و شتاب ساختمان موثر تر از سیستم کنترل میراگر جرمی می باشد.[۵]

۳-یانگ در سال ۱۹۸۷[۹۳] نشان داد که الگوریتم کنترل بهینه آنی موثر تر از کنترل حلقه بسته ریکاتی می باشد. گرچه بهبود قابل بررسی در نتایج در کنترل حلقه بسته ریکاتی در زمانی که بازخورد سرعت- شتاب استفاده شده مشاهده می گردد.[۶۲]

۴-در روش کنترل غیر خطی می توان به کاهش مهمی در شتاب سازه با نیروی کنترلی حتی کمتر از یک درصد وزن سازه دست یافت.[۷۹]

۴-۲ روش‌های اصلی تعیین مشخصات عملگرها و حسگرها در کنترل فعال سازه‌ها

روشهای متداول جهت تعیین مشخصات عملگرها و حسگرها در کنترل فعال سازه به دو گروه اصلی روش‌های ریاضی بنیان و روش‌های سازه بنیان تقسیم می‌گردند. در این تحقیق روش‌های سازه بنیان مورد بررسی قرار می‌گیرد. این روش‌ها شامل روش اجزای محدود و روش‌های بر پایه اصول مهندسی دینامیک سازه می‌باشند.



۴-۳-۱ مدل سازی اجزای محدود سازه‌های هوشمند

فرم اجزای محدود معادله حرکت به صورت زیر بیان می‌شود.

$$\mathbf{M}\ddot{\mathbf{q}} + \mathbf{D}_d\dot{\mathbf{q}} + \mathbf{K}\mathbf{q} = \overline{\mathbf{E}}\mathbf{f}(t) + \overline{\mathbf{B}}\mathbf{u}(t) \quad ۴۷-۲$$

در رابطه فوق بردار \mathbf{q} بردار تغییر مکان عمومی شده و ماتریس‌های \mathbf{M} , \mathbf{D}_d , \mathbf{K} و \mathbf{B} ماتریس‌های جرم، میرائی و سختی می‌باشند. بردار $\mathbf{f}(t)$ بار به دو بخش تقسیم شده که شامل بردار ناشی از بارهای خارجی و بردار نیروهای کنترلی ($\mathbf{B}\mathbf{u}(t)$) می‌باشند. بردار $\mathbf{B}\mathbf{u}(t)$ کننده اختلالات خارجی و بردار $\overline{\mathbf{E}}\mathbf{f}(t)$ بردار اثر کنترل کننده بر روی سازه می‌باشد. ماتریس‌های \mathbf{E} و \mathbf{B} نشان‌دهنده موقعیت نیروها و پارامترهای کنترل در سازه اجزای محدود می‌باشند. با معرفی مختصات مودال خواهیم داشت:

$$q(t) = \Phi_m z(t)$$

۴۸-۲

در رابطه فوق Φ_m ماتریس مودال بوده و داریم:

$$\Phi_m^T M \Phi_m = I$$

۴۹-۲

$$\Phi_m^T K \Phi_m = \Omega$$

۵۰-۲

$$\Phi_m^T D_d \Phi_m = \Delta$$

۵۱-۲

می توان مدل فضای حالت را برای سیستم مذکور بصورت زیر نوشت:

$$\dot{x} = \begin{bmatrix} 0 & I \\ -\Omega & -\Delta \end{bmatrix} x + \begin{bmatrix} 0 \\ \Phi^T \bar{B} \end{bmatrix} u(t) + \begin{bmatrix} 0 \\ \Phi^T \bar{E} \end{bmatrix} f(t) \quad ۵۲-۲$$

$$x(t) = [z \quad \dot{z}]^T \quad ۵۳-۲$$

مدل فضای حالت می تواند بصورت زیر نیز نوشته شود:

$$\dot{x}(t) = Ax(t) + Bu(t) + Ef(t), \quad y = Cx(t) + Du(t) + Ff(t) \quad ۵۴-۲$$

۲-۴-۲ روشهای استوار بر پایه اصول دینامیک سازه ها

جدیدترین تحقیق در خصوص تعیین مشخصات عملگرها و حسگرها در کنترل فعال سازه ها بر پایه اصول دینامیک سازه ها، از منظر نوین بودن روش و تعیین موقعیت و مقادیر نیروی عملگرها، تحقیق انجام شده توسط علامتیان [۳۶] می باشد. مبانی اصلی این روش استفاده از نگره های ریاضی و

دینامیک سازه و همچنین در نظر گرفتن عملگر به عنوان یک میراگر اضافی می باشد. روش بیان شده بر اساس استفاده از تنها یک عملگر و یک حسگر استوار بوده است. برای تعیین نیروی بهینه عملگرها در این روش آنها را می توان به عنوان میراگر اضافی در سازه در نظر گرفت. مطابق اصول دینامیک سازه چنانچه یک سیستم در شرایط میرائی بحرانی قرار داشته باشد، ارتعاشات آن سیستم می تواند در کوتاهترین زمان میرا شود. لذا با استفاده از تئوری میرائی بحرانی می توان مقدار نیروی بهینه عملگر و موقعیت بهینه عملگر و حسگر را بدست آورد. در فضای مودال مود اول بیشترین تاثیر را در پاسخ دینامیکی سیستم دارد. لذا برای تعیین مقدار نیروی بهینه عملگرها از این ویژگی استفاده می کنیم که چنانچه نیروی عملگرها به گونه ای اعمال شود که میرائی مود اول سیستم بحرانی شود، نوسانات در کمترین زمان ممکن میرا می گردد. مطابق روش بیان شده، معادله تعادل دینامیکی مود اول ارتعاش با استفاده از یک عملگر و حسگر بصورت زیر می باشد.

$$M_I \ddot{Z}_I + C_I \dot{Z}_I + S_I Z_I + \Phi_{KI} f_k^a = \{\Phi_I\}^T P\{t\} \quad 55-2$$

با در نظر گرفتن نیروی عملگر به عنوان نیروی میرایی اضافی و تعریف میرایی معادل خواهیم داشت:

$$M_I \ddot{Z}_I + C^*_I \dot{Z}_I + S_I Z_I = \{\Phi_I\}^T P\{t\} \quad 56-2$$

که در آن :

$$C^*_I = C_I + (\Phi_{KI} f_k^a) / \dot{Z}_I \quad 57-2$$

مطابق آنچه قبل گفته شد برای تعیین نیروی بهینه عملگر می توان میرائی معادل فوق را برابر میرایی

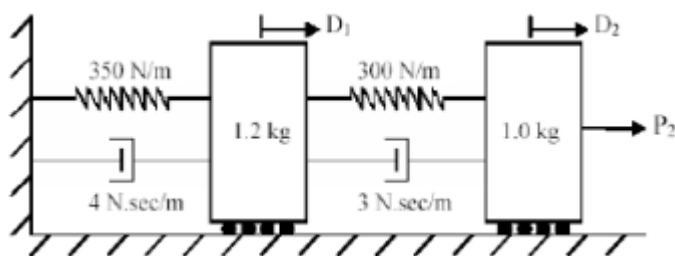
بحرانی قرار داد. لذا داریم:

$$C_I^* = 2M_I W_I \quad 58-2$$

با استفاده از روابط فوق مقدار نیروی عملگر بصورت زیر بدست می آید.

$$f_k^a = \{2M_1\omega_1 \dot{Z}_1 - C_1 \ddot{Z}_1\} / \varphi_{K1} \quad ۵۹-۲$$

مطابق روش عنوان شده ، در تعیین موقعیت عملگر با استفاده از اصول دینامیک سازه و استفاده از این اصل که مهمترین مود ارتعاشی مود اول بوده و در مود اول نیز بزرگترین درایه ها بیشترین اثر را دارند ، لذا موقعیت عملگر را بیشترین مقدار شکل مود اول تعیین می کنند. در نتیجه عملگر می بایست به درجه آزادی از سیستم متصل گردد که بیشترین مقدار را در بردار شکل مود اول داشته باشند. ضمن آنکه حسگر می بایست در درجه آزادی از سیستم نصب گردد که بیشترین مقدار را در ردیف اول ماتریس شکل مودال معکوس داشته باشد. بر اساس تعریف سرعت مودال در تئوری دینامیک سازه ها سرعت هر درجه آزادی متناسب است با المان متضاد در ردیف اول ماتریس شکل مودال معکوس . مطابق موارد فوق روش مورد استفاده در بهینه یابی مطابق اصول دینامیک سازه ها بوده و نیازی به استفاده از روش های بهینه یابی همچون الگوریتم های ژنتیک و غیره نمی باشد . شکل ۱-۲ یک سیستم دو درجه آزادی را نشان می دهد که می تواند بیانگر یک قاب دو طبقه باشد.



شکل ۱-۲: یک سیستم دو درجه آزادی با اعمال نیرو به یک درجه [۳۶]

در مثال فوق مقدار نیروی اعمالی p_2 مطابق رابطه زیر در نظر گرفته شده است.[۳۶]

$$p_2 = \begin{cases} \frac{1}{\Delta t} & t = \Delta t \\ 0 & \text{otherwise} \end{cases}$$

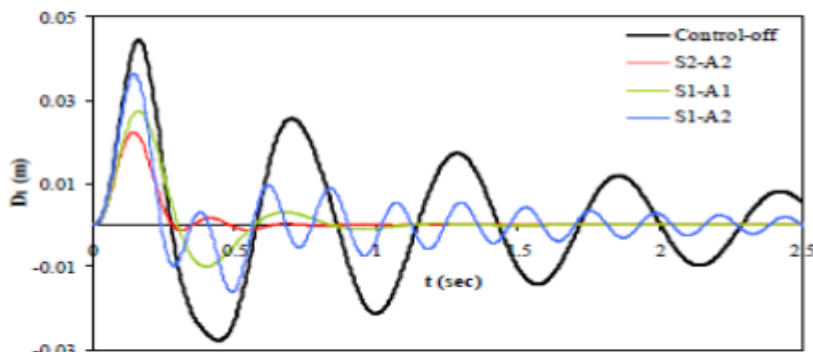
در اینجا گام زمانی برابر $0,0039$ در نظر گرفته شده است. ضمن آنکه روش pc-6 با استفاده از شش شتاب قبلی مورد استفاده قرار گرفته است. پروسه انتخاب موقعیت بهینه عملگر و حسگر در جدول ۲-

۱ آمده است:

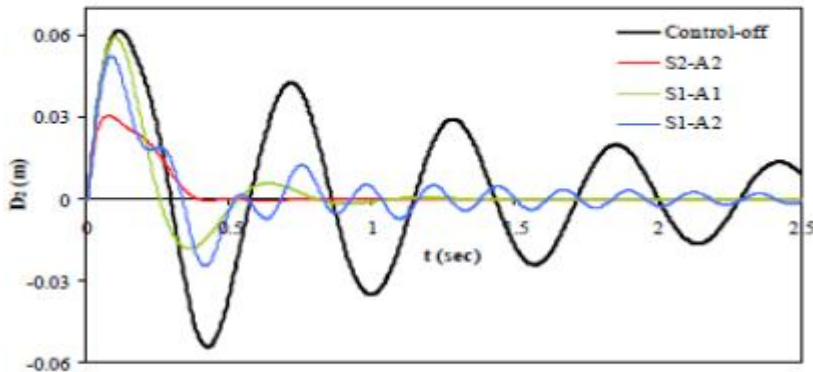
جدول ۲-۱: پروسه انتخاب موقعیت بهینه عملگر و حسگر در سازه دو درجه آزادی [۳۶]

Degree of Freedom	φ_{1L}^{inv}	φ_{k1}	Optimum Control Case
1	0.5831	0.5113	S2-A2
2	0.8167	0.8594	

مطابق جدول فوق و مطالب عنوان شده جهت تعیین موقعیت بهینه عملگر و حسگر درجه آزادی ۲ به عنوان موقعیت بهینه عملگر و حسگر حاصل می گردد. پس از تعیین موقعیت بهینه حسگر و عملگر کنترل لرزه ای فعال به سازه اعمال می گردد. نمودارهای شکل ۲-۲ و ۳-۲ پاسخهای تغییر مکان- زمان برای اولین و دومین درجه آزادی را در حالت های مختلف کنترل (موقعیت های مختلف حسگر و عملگر) نشان می دهند.



شکل ۲-۲: تغییر مکان درجه آزادی اول در حالت های مختلف کنترل [۳۶]



شکل ۲-۳: تغییر مکان درجه آزادی دوم در حالت های مختلف کنترل [۳۶]

نکته مهم در نمودارهای فوق آن است که در حالت بهینه موقعیت حسگر و عملگر(S2-A2) لرزش در حدود ۰,۵ ثانیه میرا می شود. این در حالی است که در زمان استفاده از نرم افزار ANSYS زمان کنترل لرزش حدود ۱,۵ ثانیه می باشد. ضمن آنکه حالت های دیگر موقعیت قرارگیری عملگر و حسگر میزان موثر بودن پروسه کنترل کاهش می یابد.

۵-۲ مواد پیزو الکتریک در کنترل ارتعاشات

در سال ۱۸۸۰ اثر پیزو الکتریک توسط پیر ژاک کوری کشف گردید. ارتباط بین خواص مکانیکی و الکتریکی پیزو الکتریک ها باعث بکارگیری آنها به عنوان حسگر و عملگر در سازه ها شد. به طوری که به عنوان حسگر تغییر شکلهای مکانیکی را می توان با اندازه گیری پتانسیل الکتریکی ایجاد شده در ماده پیزو الکتریک بدست آورد. همچنین در حالت عملگری کرنش یا تغییر شکل سازه می تواند با اعمال پتانسیل الکتریکی مناسب به پیزو الکتریک کنترل گردد. با توجه به عملکرد مواد پیزو الکتریک هم به عنوان حسگر و هم به عنوان عملگر میتوان این مواد را جزء صالح هوشمند دانست. سرامیک های پیزو الکتریک ابزاری ارزان و قابل اعتماد در حسگری و عملگری در سازه ها می باشند. در سال ۱۹۸۵ بیلی و همکاران از مواد پیزو الکتریک به عنوان عملگر جهت کنترل ارتعاشات تیر یک سر گیر دار استفاده نمودند.[۱۲]

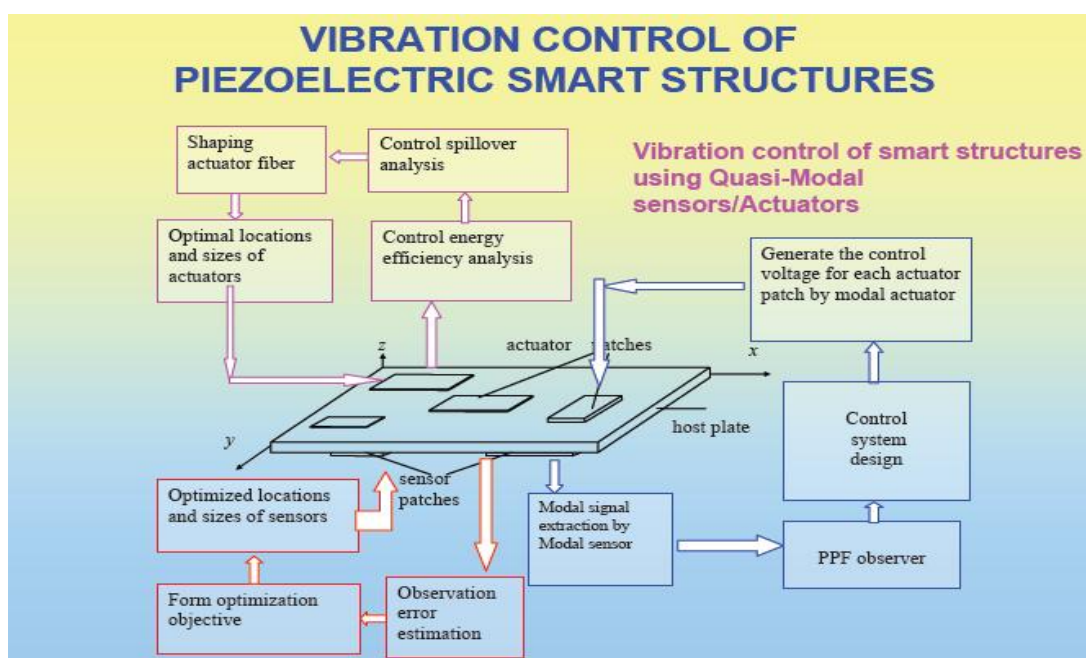
سلامت سنجی سازه ها (SHM) با استفاده از مواد پیزو الکتریک به سه دسته کلی تقسیم می شوند:

۱- آنهای که بر اساس مقاومت می باشند.

۲- آنهای که بر اساس امواج هستند.

۳- آنهای که بر اساس کاراکترهای لرزه ای کار می کنند.

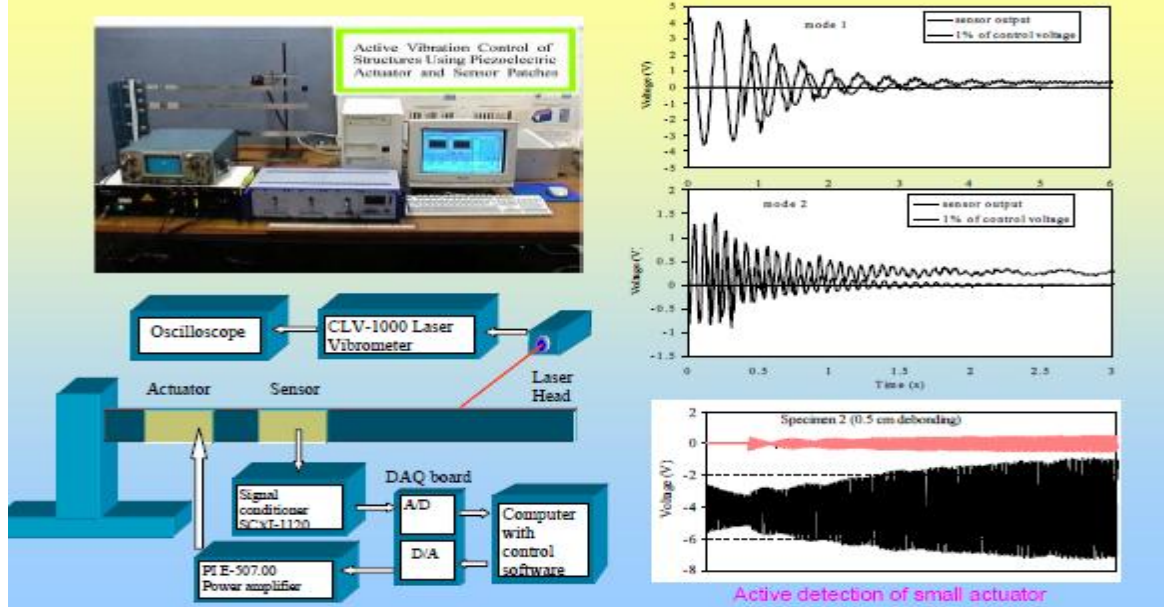
تصویرهای ادامه نشان دهنده مراحل و نحوه های مختلف کنترل شکل و لرزش در سازه های هوشمند پیزو الکتریک و مراحل کنترل لرزشی سازه هوشمند با استفاده از حسگر ها و عملگرهای مودال می باشند.



شکل ۴-۲: فرایند کنترل لرزه ای سازه های هوشمند پیزو الکتریک [۱۲]

در شکل شماره ۴-۲ سه پروسه مختلف نمایش داده شده اند. اول پروسه تعیین موقعیت و سایز بهینه حسگرها (در زیر سازه). دوم پروسه تعیین موقعیت و سایز بهینه عملگرهای (در بالای سازه) و سوم پروسه طراحی سیستم کنترل و تولید ولتاژهای کنترل (در سمت راست سازه).

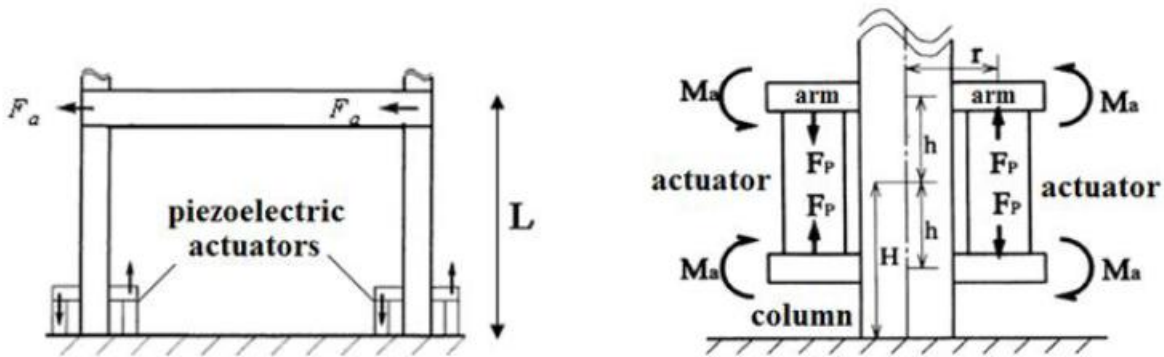
EXPERIMENTAL INVESTIGATION



شکل ۵-۲ : نمونه آزمایشگاهی از عملکرد حسگرها و عملگرها [۱۲]

از بین سرامیک های پیزوالکتریک ، عملگرهای PZT کرنشی تا ۵۰۰ میکروکرنش و نیرویی تا ۱۰۰ کیلو نیوتون بر اساس ولتاژ الکتریکی اعمال شده می توانند وارد نمایند.

مطابق مطالعات Kamada و همکاران در سال ۱۹۹۸ [۴۰] از مواد پیزوالکتریک در کنترل فعال ارتعاشات سازه های قابی نیز می توان بهره جست. اشکال بعد برخی از شیوه های استفاده از مواد پیزوالکتریک در کنترل فعال سازه های قابی را نشان می دهد. در شکل شماره ۶-۲ عملگرهای پیزوالکتریک در دو طرف پایین ستونهای طبقه اول نصب گردیده است. بر اساس ولتاژ اعمال شده به عملگرها، لنگرهای متتمرکز M_a به پایین ستونها اعمال می گردد.



شکل ۲-۶: استفاده از مواد پیزو الکتریک در کنترل فعال ارتعاشات سازه های قابی

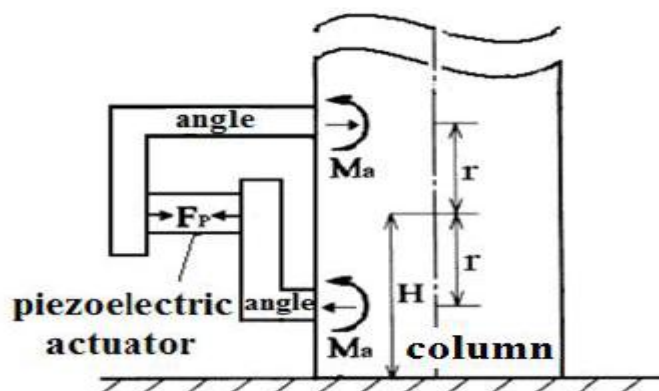
[حالت اول)] [۴۰]

در حالت اول نیروی برشی معادل اعمالی به هر طبقه مطابق روابط زیر محاسبه می گردد.

$$M_a = F_p r \quad ۶۰-۲$$

$$F_a = 24hrF_p(L-2H)/L^3 \quad ۶۱-۲$$

در روابط فوق مقادیر F_p و F_a به ترتیب ارتفاع ستون، نیروی تولید شده عملگر و نیروی برشی معادل تولید شده در طبقه اول می باشند. مطابق رابطه فوق اگر عملگر در نزدیکترین فاصله ممکن نسبت به پایه قاب نصب گردد، بهترین نتیجه حاصل می گردد.



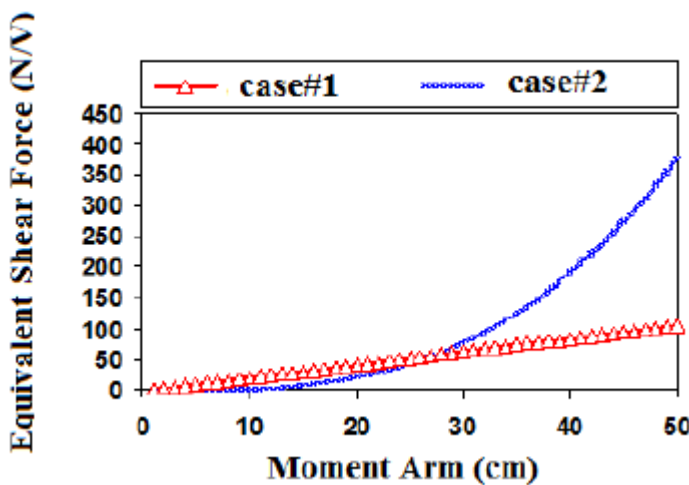
شکل ۲-۷: استفاده از مواد پیزو الکتریک در کنترل فعال ارتعاشات سازه های قابی (حالت دوم) [۴۰]

در شکل دوم عملگرهای پیزو الکتریک بین پروفیل های زاویه دار مطابق شکل در طبقه اول سازه نصب می گردند. در این حالت رابطه بین نیروی عملگرها و نیروی برشی معادل بصورت زیر خواهد بود.

$$F_a = (2r/L)^3 F_p$$

۶۲-۲

مطابق مطالعات Kamada و همکاران در سال ۱۹۹۸ [۴۰] برای بازوی لنگر کمتر از ۲۵ سانتیمتر نیروی اعمالی توسط حالت ۱ و ۲ تقریباً برابر بوده اما همانگونه که در شکل مشخص است، در زمان استفاده از بازوی لنگر بیشتر حالت دو موثرتر می باشد.



شکل ۸-۲: مقایسه نیروی برشی معادل حاصله در حالت های ۱ و ۲ جهت قرارگیری عملگرها طی مقادیر مختلف بازوی لنگر [۴۰]

مراحل کنترل فعال با استفاده از عملگرهای پیزو الکترویک به شرح زیر است:

۱- مدل کردن و آنالیز سازه پیزوالکترویک: سیستم های سازه ای پیزو الکترویک می توانند بصورت سیستم های جرم مرمرکز و یا سیستم های گستردگی باشند که از نظر ریاضی با معادلات متفاوت بیان می گردند. گرچه روش‌های آنالیز و مدل کردن سازه های پیزو الکترویک بخوبی توسعه یافته اند اما در کنترل لرزه ای فعال بدلیل نیاز به مدل های فضایی حالت در طی طراحی همواره نیاز به کلیه مطالعات وجود دارد. روش‌های آنالیزی برای مدل سازی توسط جی و همکاران در سالهای ۲۰۰۹ و ۲۰۱۰ برای تیرهای پیزوالکترویک یک سر گیردار توسعه یافت. ضمن آنکه فو و ژانگ در سال ۲۰۰۹ ۲۰۰۹ موارد فوق را در مورد میکرو پلیت ها به انجام رسانید. در سیستم های سازه ای پیچیده مدل سازی بر اساس

روشهای آنالیزی می تواند بسیار پیچیده باشد. در این سیستم ها روشهای عددی مانند روش اجزای محدود مناسبتر می باشند.

۲- کاهش درجات مدل: تعداد درجات آزادی زیاد مدل اجزای محدود سازه توسط تکنیک های این گام کاهش می یابد. از جمله روشهای کاهش مدل، روش روش تجزیه مقدار منفرد می باشد که توسط وانگ (۲۰۰۳) بیان شد. در این روش از حذف مختصات مودال های غیر مهم استفاده گردید.

۳- تعیین موقعیت بهینه حسگر و عملگرها

۴- طراحی کنترل کننده بر اساس تئوری های کنترل مختلف

۵- اجرای سیستم

همچنین استفاده از میراگرهای جرمی فعال (ATMD) یا (activated tuned mass dampers) یا AT ها و همچنین بادبند های فعال (active tendon) یا AT ها از سایر روشهای اجرای سیستم های کنترل فعال در سازه ها می باشند.

۶- تعیین موقعیت حسگرها و عملگرها در کنترل فعال سازه ها

در کنترل فعال لرزه ای توسط پیزو الکترونیک ها تعیین موقعیت عملگرها و حسگرها از اهمیت ویژه ای برخوردار است زیرا تاثیر مستقیم در کارائی سیستم دارد. به عنوان مثال حسگر قادر نخواهد بود مود خاصی را مشاهده نماید مگر آنکه در گره آن مود قرار گیرد. در حالت کنترل چند مودی بهینه یابی موقعیت حسگرها و عملگرها در راستای قابلیت مشاهده سیستم و کنترل آن بسیار مهم می باشد. معادله حرکت سازه قاب ساختمانی با n درجه آزادی و عملگرهای پیزو الکترونیک تحت تاثیر تحریک لرزه ای بصورت زیر بیان می شود.

$$[M]\{\ddot{q}\} + [C]\{\dot{q}\} + [K]\{q\} = \{F_m\} + \{F_c\}$$

۶۳-۲

مقدادیر F_c و F_m به ترتیب نیروی تحریک خارجی و نیروی کنترل(ناشی از عملگرهای پیزو الکترونیک) می باشد. معادله دینامیکی سیستم در فضای حالت بصورت زیر است:

$$\dot{x} = Ax + B_c u + B_p \quad 64-2$$

$$y = Cx \quad 65-2$$

که x بردار حالت، u بردار ورودی و y بردار خروجی بوده و همچنین:

$$A = \begin{bmatrix} 0 & I \\ -M^{-1}K & -M^{-1}C \end{bmatrix} \quad ; \quad x = \begin{bmatrix} q \\ \dot{q} \end{bmatrix}$$

$$B_p = \begin{bmatrix} 0 \\ M^{-1}F_m \end{bmatrix} \quad B_c = \begin{bmatrix} 0 \\ M^{-1}F_c \end{bmatrix}$$

کنترل بهینه از طریق بازخورد حالت کامل با یک قانون کنترل تعریف شده بصورت زیر بدست می آید:

$$u = -Kx \quad 66-2$$

ولتاژ کنترل u مناسب با بردار حالت x می باشد. در رابطه بالا بیان کننده بهره کنترل می باشد. بنابراین:

$$\dot{x} = (A - B_c K)x + B_p \quad 67-2$$

لوپس و همکاران در سال ۲۰۰۳ [۶۵] در خصوص استفاده از الگوریتم ژنتیک در بهینه یابی موقعیت عملگرها و حسگرها بررسی نمود. سیمپسون و هانسن در سال ۱۹۹۶ [۷۱] در خصوص بهینه یابی موقعیت PZT بررسی نمود. فورویا و هافتکادر سال ۱۹۹۳ [۲۵] موقعیت بهینه ۸ عدد عملگر در سازه ای با ۱۵۰۷ موقعیت احتمالی را محاسبه نمود. گبرت و همکاران [۲۶] تکنیکی بر اساس

روشهای کلاسیک جهت تعیین موقعیت عملگر در سازه های هوشمند با بهینه یابی منفصل-پیوسته بیان نمود. بررسی موقعیت حسگرها و عملگرها بوسیله آربل [۱۱] در سال ۱۹۸۱ با استفاده از ایده قابلیت کنترل و قابلیت مشاهده در سیستم انجام شد. لیم در سال ۱۹۹۲ [۶۴] در اساس بهینه یابی خطی چندین قانون بهینه یابی برای موقعیت بهینه حسگرها و عملگرها را بیان نمود. در سال ۱۹۹۴ وانگ [۳۲] از روش اجزای محدود و همچنین یک روش پیشنهادی جهت بهینه یابی در ورق کمپوزیت لینیت شده با جفت های عملگر و حسگر استفاده نمود.

کانگ و همکاران [۴۲] در خصوص بهینه یابی موقعیت حسگرها و عملگرها در کنترل فعال لرزه ای برای تیر لمینیت مطالعه نمودند. آنها از بیشینه نمودن شاخص میرایی سازه ای استفاده نمودند. همچنین بهینه یابی بر پایه گرادیان نیز توسط کانگ و همکاران [۴۲] برای ورق لمینیت شده انجام شد. کنترل لرزه ای سازه کمپوزیت FRP که حسگرها و عملگرهای پیزو الکترونیک به آن متصل گردیده اند، توسط روی و چاکر ابورتی در سال ۲۰۰۸ با کمینه کردن تغییر مکان حداکثر و استفاده از الگوریتم ژنتیک انجام شد.

کیو و همکاران در سال ۲۰۰۷ [۵۹] روشی توائیی کنترل و مشاهده را برای بهینه یابی موقعیت حسگرها و عملگرهای پیزو الکترونیک در لرزش کف طبقات ساختمانها ترکیب نمودند. چن و همکاران در سال ۲۰۰۹ [۱۹] از یک دسته بهینه یاب برای تعیین موقعیت عملگرها در یک ورق استفاده نمود. پادولا و همکاران [۵۷] اهمیت تعیین موقعیت حسگرها و عملگرها را به همراه نتایج تجربی بیان نمود. هان و لی [۳۱] ماتریس قابل کنترل Grammian را ساخت و بردار بیشینه را به عنوان تابع عملکرد در نظر گرفت. ضمن آنکه در این مطالعه الگوریتم ژنتیک برای تعیین موقعیت بهینه حسگر و عملگر استفاده گردید. همچنین صدری و همکاران [۶۷] دو معیار را برای تعیین موقعیت بهینه عملگرها بیان نمودند. در این مطالعه الگوریتم ژنتیک نیز جهت تعیین موقعیت دو عملگر پیزو الکترونیک در یک ورق ایزوتروف مورد استفاده قرار گرفت. گائو و همکاران [۲۸] از روش ارزیابی آسیب جهت تعیین

موقعیت حسگرها در سلامت سنجی سازه ها استفاده کردند. دو روش اصلی که در بسیاری از مقالات در خصوص بهینه یابی موقعیت عملگرها و حسگرها بیان می شوند عبارتند از روش الگوریتم ژنتیک و روش رابطه سازی اجزای محدود.

۶-۱-۱ استفاده از الگوریتم ژنتیک جهت بهینه یابی موقعیت حسگرها و عملگرها

مطابق برخی تحقیقات الگوریتم ژنتیک جهت بهینه یابی موقعیت حسگرها و عملگرها مورد استفاده قرار گرفته است که از آن جمله می توان به تحقیقات ژانگ و همکاران در سال ۲۰۰۰ [۹۸] اشاره نمود. موقعیت بهینه حسگرها بر اساس مقدار تناسب که شاخص قابلیت کنترل می باشد بررسی می شود. برای حسگر تناسب بصورت زیر بیان می شود.

$$\Omega_s = \left\{ \begin{array}{ll} \prod_{i=1}^{n_s} \sigma_i & \text{observed spillover considered} \\ \prod_{i=1}^{n_s} \sigma_i - \gamma' \sum_{i=1}^{n_s} \sigma_i^R & \text{if } \sum_{i=1}^{n_s} \sigma_i > \gamma' \sum_{i=1}^{n_s} \sigma_i^R \\ \prod_{i=1}^{n_s} \sigma_i - \gamma' \sum_{i=1}^{n_s} \sigma_i^R \times 10^{-2} & \text{otherwise} \end{array} \right\}$$

برای عملگر تناسب بصورت زیر بیان می شود.

$$\Omega_a = \begin{cases} \prod_{i=1}^{n_a} \sigma_i & \text{observed spillover considered} \\ \prod_{i=1}^{n_a} \sigma_i - \gamma' \sum_{i=1}^{n_a} \sigma_i^R & \text{if } \sum_{i=1}^{n_a} \sigma_i > \gamma' \sum_{i=1}^{n_a} \sigma_i^R \\ \prod_{i=1}^{n_a} \sigma_i - \gamma' \sum_{i=1}^{n_a} \sigma_i^R \times 10^{-2} & \text{otherwise} \end{cases}$$

در روابط فوق n_s تعداد حسگرها و n_a تعداد عملگرها می باشند .

گامهای زیر استفاده از الگوریتم ژنتیک برای بهینه یابی موقعیت حسگرها و عملگرها را بیان می کنند

۱- کروموزوم های اولیه بصورت اتفاقی از مجموعه ای از جمعیت انتخاب می شوند. (بستگی به تعداد

حسگرها و عملگرهای مورد استفاده دارد)

۲- مقدار تناسب برای همه کروموزوم های انتخاب شده (با استفاده از فرمولهای داده شده در

بالا) بدست می آیند.

۳- با جام عملیات مربوط به ژنتیک کروموزوم های والدین تولید می شوند.

۴- برنامه تا تکمیل شرایط ادامه می یابد(تا زمان همگرائی تناسب) . در این گام بهترین مقدار قابلیت

کنترل را داریم .

۵- پس از همگرائی بهترین موقعیت حسگرها و عملگرها بدست می آید.

۶-۷- استفاده از رابطه سازی اجزای محدود جهت بهینه یابی موقعیت حسگرها و عملگرها

تغییر شکل ایجاد شده در تیر باعث ایجاد کرنش مطابق رابطه زیر می گردد. این مقدار کرنش است

که توسط حسگرها برای تولید ولتاژ استفاده می شود.

$$[\varepsilon] = \begin{bmatrix} \varepsilon_x \\ \varepsilon_y \\ \gamma_{xy} \\ \gamma_{xz} \\ \gamma_{yz} \end{bmatrix} = \begin{bmatrix} \frac{du'}{dx} \\ \frac{dv'}{dy} \\ \frac{dv'}{dx} + \frac{du'}{dy} \\ \frac{du'}{dz} + \frac{dw'}{dx} \\ \frac{dv'}{dz} + \frac{dw'}{dy} \end{bmatrix}$$

$$\{\varepsilon\} = \sum_{k=1}^8 \left[(B_u)^e_k \right] \{d^e_k\} = [B_u^e] \{d^e\} \quad 68-1$$

رابطه بین وصله های پیزوالکتریک معکوس و مستقیم توسط روابط زیر بیان شده است.

$$\{D\} = [e]\{\varepsilon\} + [\epsilon]/[E] \quad 69-2$$

$$\{\sigma\} = [C]\{\varepsilon\} - [e]^T\{E\} \quad 70-2$$

در روابط فوق D بردار تغییر مکان می باشد.

پتانسیل حسگرها توسط رابطه زیر بیان می شود.

$$\{-E_a^e\} = [B_a^e] \{\phi_a^e\} = \begin{bmatrix} 0 \\ 0 \\ \frac{1}{h_a} \end{bmatrix} \{\phi_a^e\}$$

$$\{-E_s^e\} = [B_s^e] \{\phi_s^e\} = \begin{bmatrix} 0 \\ 0 \\ \frac{1}{h_a} \end{bmatrix} \{\phi_s^e\}$$

اندیس های a و s مربوط به عملگرها و حسگرها می باشند.

$[B_s^e]$ =Electric field gradient of sensor(matrix).

$[B_a^e]$ =Electric field gradient of actuator(matrix)

روابط اجزای محدود شامل جرم و سختی سازه ای بصورت زیر می باشند.

$$[M_{uu}^e] = \int_V \rho [N^T] [N] dV \quad 71-2$$

$$[K_{uu}^e] = \frac{2}{T} \int_{-1}^1 \int_{-1}^1 \sum_{k=1}^N \frac{t_k - t_{k-1}}{2} \int_{-1}^1 [B_u]^T [C] [B_u] |J| d\xi d\eta d\zeta \quad 72-2$$

ضمن آنکه ماتریس قابلیت تولید بصورت رابطه ۷۳-۲ بیان می شود.

$$[K_{ss}^e] = -\frac{2}{T} \int_{-1}^1 \int_{-1}^1 \sum_{k=1}^N \frac{t_k - t_{k-1}}{2} \int_{-1}^1 [B_\phi]^T [B_\phi] |J| d\xi d\eta d\zeta \quad 73-2$$

همچنین ماتریس پیزوالکتریک عبارتست از:

$$[K_{us}^e] = \frac{2}{T} \int_{-1}^1 \int_{-1}^1 \sum_{k=1}^N \frac{t_k - t_{k-1}}{2} \int_{-1}^1 [B_u]^T [e]^T [B_\phi] |J| d\xi d\eta d\zeta \quad 74-2$$

معادله اجزای محدود دینامیکی کلی بصورت زیر نوشته می شود.

$$[M_{uu}] \{d''\} + \left[[K_{uu}] - [K_{ua}] [K_{aa}]^{-1} [K_{au}] - [K_{us}] [K_{ss}]^{-1} [K_{su}] \right] \{d\} = \{F\} - [K_{ua}] \{\phi_a\}$$

$[M_{uu}]$ =Global mass matrix.

$[K_{uu}]$ =Global elastic stiffness matrix.

$[K_{ua}]$ =Global piezoelectric coupling matrix for actuator.

$[K_{us}]$ =Global piezoelectric coupling matrix for sensors.

$[K_{aa}]$ =Global dielectric stiffness matrix for actuators.

$[K_{ss}]$ =Global dielectric stiffness matrix for sensors.

جهت بیان فضای حالت بردار تغییر مکان می تواند بصورت زیر نوشته شود.

$$\{d(t)\} \approx [\Psi] \{\eta(t)\} \quad 75-2$$

$$[\Psi] = [\Psi_1 \ \Psi_2 \ \Psi_3 \ \Psi_4 \dots \dots \ \Psi_r] \quad 76-2$$

معادله دینامیکی وقتی میرائی مودال بررسی می شود بصورت زیر خواهد بود.

$$\{\eta_i(\ddot{t})\} + 2\xi_{di}\omega_i \{\eta_i(t)\} + \omega_i^2 \{\eta_i(t)\} = [\psi]^T \{F\} - [\psi]^T [K_{ua}] \{\phi_a\} \quad 77-2$$

ξ_{di} is the damping ratio

فرم فضای حالت بصورت زیر خواهد بود.

$$\{\eta_i(\ddot{t})\} + 2\xi_{di}\omega_i \{\eta_i(t)\} + \omega_i^2 \{\eta_i(t)\} = [\psi]^T \{F\} - [\psi]^T [K_{ua}] \{\phi_a\] 78-۲$$

$$[A] = \begin{bmatrix} [0] & [1] \\ -\omega_i^2 & 2\xi_{di}\omega_i \end{bmatrix} \quad \text{known as symmetric matrix.}$$

$$[B] = \begin{bmatrix} [0] \\ -[\psi]^T [K_{ua}] \end{bmatrix} \quad \text{known as coupling matrix.}$$

$$[\hat{B}] = \begin{bmatrix} [0] \\ -[\psi]^T [F] \end{bmatrix} \quad \text{known as disturbance matrix.}$$

$[u_d]$ is the disturbance input vector,

$[\phi_a]$ is the control input

$$\left[\dot{X} \right] = \left\{ \begin{array}{l} \cdot \\ \eta \\ \ddots \\ \eta \end{array} \right\} \text{ and } \left[X \right] = \left\{ \begin{array}{l} \square \\ \square \\ \vdots \\ \eta \end{array} \right\}$$

معادله خروجی حسگر بصورت زیر می باشد.

$$\{y\} = [C_0] / [X] \quad 79-۲$$

در رابطه بالا $[C_0]$ وابسته به ماتریس مودال $[\Psi]$ و ماتریس $[k_{\phi_w}]$ می باشد

با بیشینه کردن نیروی کنترل نهایی شاخص قابلیت کنترل عملکرد بیان می شود.

$$\{fc\} = [B] \{\Phi a\] 80-۲$$

بصورت مشابه قابلیت کنترل برای حسگرها بصورت زیر نوشته می شود.

$$\{f_c\} = [B]\{\Phi_s\} \quad 81-2$$

$$[B] = [M][S][S^T] \quad 82-2$$

برای عملگرها داریم :

$$[S] = \begin{pmatrix} \sigma_1 & \cdots & 0 \\ 0 & \ddots & \vdots \\ \vdots & \cdots & \sigma_{n_a} \\ 0 & \cdots & 0 \end{pmatrix}$$

بصورت مشابه توانایی کنترل برای حسگرها نیز می تواند بیان شود.

$$[S] = \begin{pmatrix} \sigma_1 & \cdots & 0 \\ 0 & \ddots & \vdots \\ \vdots & \cdots & \sigma_{n_z} \\ 0 & \cdots & 0 \end{pmatrix}$$

وانگ [۹۰] شاخص قابلیت کنترل را برای عملگرها بصورت زیر بیان نمود.

$$\Omega = \prod_{i=1}^{n_a} \sigma_i \quad 83-2$$

ضمن آنکه برای حسگرها نیز داریم:

$$\Omega = \prod_{i=1}^{n_z} \sigma_i \quad 84-2$$

بنابراین با بیشینه کردن شاخص قابلیت کنترل فوق می توان به مقدارتناسب دست یابیم. با فرمول سازی چند هدفه ما می توانیم موقعیت های بهینه را برای حالتی که حسگرها و عملگرها با هم کار می کنند را بیابیم. معادله چند هدفه بصورت زیر بیان می شود.

$$f = w_1 Q_a + w_2 Q_s \quad 85-2$$

$$w_1 + w_2 = I \quad 86-2$$

زیرنویس های a و s اشاره به عملگرها و حسگرها دارند. w_1 و w_2 توابع وزن هستند. مقدار کل تناسب برای سیستم چند هدفه توسط f بیان می شود.

۶-۳- تعیین موقعیت حسگرها بر اساس ماتریس اطلاعات فیشر

(Fisher information matrix)

پادولا و همکاران در سال ۱۹۹۹ [۵۷] از یک روش بر مبنای ماتریس اطلاعات فیشر (FI) جهت تعیین موقعیت حسگرها استفاده نمودند. در این روش ازتابع خطابر پایه سختی $e(p)$ استفاده می شود. ابعاد این ماتریس $nsf \times nsf$ می باشد. $nmdof$ تعداد مجموعه نیروهای اعمال شده و $nmdof^*$ تعداد درجات آزادی می باشد.

$$[e(p)] = [K_{aa}] [u_a]^m - [K_{ab}] [K_{bb}]^{-1} [K_{ba}] [u_a]^m + [K_{ab}] [K_{bb}]^{-1} [f_b]^m - [f_a]^m \quad 87-2$$

در رابطه بالا اندیس m اشاره به اطلاعات اندازه گیری شده و a بیانگر شماره درجه آزادی اندازه گیری شده و b بیانگر درجه آزادی اندازه گیری نشده می باشد. (p) یک تابع غیر خطی از پارامتر p می باشد. ماتریس حساسیت مطابق رابطه زیر و بر اساس $e(p)$ تعیین می گردد.

$$[S(p)] = \partial\{E(p)\}/\partial\{p\}^\top \quad 88-2$$

تابع هدف اسکالار مطابق زیر تعریف می شود.

$$J(p) = \sum E_i^2(p)$$

۸۹-۲

با توجه به رابطه $e(p)$ و با کمینه کردن تابع هدف داریم:

$$[S(p)]^T([S(p)]\{\Delta p\} + E(p)) = 0$$

۹۰-۲

با حل معادله فوق داریم:

$$\{p\}_{i+1} = \{p\}_i + \{\Delta p\}_i$$

۹۱-۲

با در نظر گرفتن فرضیات ساده سازی داریم:

$$E[(\{\Delta p\} - \{\bar{\Delta p}\})(\{\Delta p\} - \{\bar{\Delta p}\})^T] \geq ([\psi_0^2]^{-1} [A_0])^{-1}$$

۲۹-۲

فصل سوم

روش جدید پیشنهادی

فصل سوم : روش جدید پیشنهادی

۳-۱-مبانی روش جدید پیشنهادی

در روش پیشنهادی فرایند نوینی برای کنترل فعال سازه ها بیان می گردد. بر پایه این فرایند می توان موقعیت حسگرها و عملگرها و نیروی لحظه ای لازم عملگرها را جهت کنترل نوسانات بر حسب تابع نیروی وارد به سازه محاسبه نمود. ایده اصلی در این روش استفاده از روابط و معیارهای دینامیک سازه ها جهت تعیین نیروی عملگرها در هر بازه زمانی و نیز موقعیت مناسب حسگرها و عملگرها می باشد. مبانی مورد استفاده در راهکار پیشنهادی بصورت مشخص عبارتند از:

۱-استفاده از روابط و نگره های ریاضی و دینامیک سازه.

۲-در نظر گرفتن عملگرها به عنوان میراگر اضافی در سازه.

۳-رابطه سازی نیروی عملگرها به گونه ای که با توجه به اهمیت و تاثیر مودهای اول، میرایی مودهای اول بحرانی شود.

مطابق قوانین همیلتون رابطه تعادل دینامیکی یک سیستم مطابق زیر می باشد.

$$[M] \{ \ddot{D} \} + [C] \{ \dot{D} \} + [S] \{ D \} = \{ p(t) \} \quad 1-3$$

در این رابطه ماتریس های جرم، میرایی، سختی و نیروهای خارجی مربوط به گام زمانی n می باشند.

اما در سازه های هوشمند، نیروی عملگرها نیز به معادله تعادل وارد می گردد و این معادله تعادل بصورت رابطه ۲-۳ بیان می شود:

$$[M] \{ \ddot{D} \} + [C] \{ \dot{D} \} + [S] \{ D \} + \{ f^a \} = \{ p(t) \} \quad ۲-۳$$

در رابطه فوق f^a بردار معادل نیروهای عملگرها بوده که به سازه اعمال می شوند. مطابق اصول دینامیک سازه چنانچه یک سیستم در شرایط میرایی بحرانی قرار داشته باشد، ارتعاشات آن سیستم می تواند در کوتاهترین زمان میرا شود. لذا با استفاده از تئوری میرایی بحرانی می توان مقدار نیروی بهینه عملگرها و موقعیت بهینه عملگرها و حسگرها را بدست آورد. برای دستیابی به موارد فوق و استفاده از شرایط میرایی بحرانی، معادله قبلی را در فضای مودال به صورت زیر بیان می کنیم.

$$M_i \ddot{Z}_i + C_i \dot{Z}_i + S_i Z_i + \{\varphi_i\}^T \{f^a\} = \{\varphi_i\}^T P \{t\} \quad ۳-۳$$

در این رابطه C_i, M_i, S_i به ترتیب مقدارهای جرم، میرایی و سختی مختصه مودال Z_i می باشند. همچنین $\{\varphi_i\}$ بردار شکل مود نوسان i ام ارتعاش آزاد سازه و q تعداد درجه های آزادی است. با بالا رفتن شماره مود (i) اثر آن مود در پاسخ دینامیکی سازه کاهش می یابد. بنابراین، مودهای نوسان پایین سهم بیشتری در پاسخ دینامیکی دارند. می توان از این ویژگی برای محاسبه نیروی عملگرها استفاده کرد. به عبارت دیگر در روش پیشنهادی با توجه به مهم بودن مودهای نوسان پایین و بالا بودن سهم آنها در پاسخ دینامیکی، میرایی معادل این مودها را برابر میرایی بحرانی قرار داده و از روابط حاصله مقادیر نیروهای عملگرها بدست می آید.

چنانچه در سازه n عملگر وجود داشته باشد، در هر لحظه لازم است n مجھول شامل نیروهای این عملگرها تعیین شوند. محاسبه این n مجھول نیازمند n معادله خواهد بود. از این رو، بهترین راهکار، تعیین نیروهای n عملگر به گونه ای است که n مود اول نوسان سازه بحرانی گردد. در این حالت، مناسبترین شیوه پایشی در دسترس قرار می گیرد؛ زیرا بحرانی شدن میرایی n مود اول نوسان سبب از بین رفتن نوسانهای سامانه در کوتاه ترین زمان خواهد شد.

پیش از این علامتیان و رضائی پژند از این اصل استفاده کرده اندو پایش فعال نوسانهای سازه را با درنظر گرفتن مود اول به تنها یی انجام داده اند [۳۶]. آنها نیروی عملگر را با بحرانی کردن مود اول تعیین کردند. این فرایند دارای محدودیت هایی است که از آن جمله می توان به در نظر گرفتن تنها یک عملگر در سازه اشاره کرد. این موضوع سبب کاهش کارایی در سازه های با درجه های آزادی زیاد می گردد. در این تحقیق این کاستی برطرف می شود. به بیان دیگر، پایش فعال در نوسانهای سازه با چندین عملگر انجام خواهد شد. برای انجام این کار چندین مود نخست نوسان سازه بررسی شده و رابطه سازی های کلی ارائه می گردد، به گونه ای که طراح می تواند تعداد عملگرها و حسگرها را تغییر دهد. هرچه تعداد عملگرها بیشتر شوند نوسانهای سازه زودتر میرا خواهند شد. در این مطالعه، از n عملگر استفاده می شود. همچنین برای تعیین موقعیت عملگرها، n درایه بزرگ مود اول انتخاب می گردند؛ به گونه ای که هر یک از این n عملگر به یکی از این درجه های آزادی متصل می شوند. با این کار، معادله فضای مودال در حضور n عملگر بصورت زیر خواهد بود.

$$M_I \ddot{Z}_I + C_I \dot{Z}_I + S_I Z_I + \varphi_{KI} f_k^a + \varphi_{jI} f_j^a + \dots + \varphi_{rI} f_r^a = \{\varphi_I\}^T P\{t\} \quad 4-3$$

$$M_2 \ddot{Z}_2 + C_2 \dot{Z}_2 + S_2 Z_2 + \varphi_{K2} f_k^a + \varphi_{j2} f_j^a + \dots + \varphi_{r2} f_r^a = \{\varphi_2\}^T P\{t\} \quad 5-3$$

$$M_3 \ddot{Z}_3 + C_3 \dot{Z}_3 + S_3 Z_3 + \varphi_{K3} f_k^a + \varphi_{j3} f_j^a + \dots + \varphi_{r3} f_r^a = \{\varphi_3\}^T P\{t\} \quad 6-3$$

$$M_4 \ddot{Z}_4 + C_4 \dot{Z}_4 + S_4 Z_4 + \varphi_{K4} f_k^a + \varphi_{j4} f_j^a + \dots + \varphi_{r4} f_r^a = \{\varphi_4\}^T P\{t\} \quad 7-3$$

در مود ۱ ام خواهیم داشت:

$$M_i \ddot{Z}_i + C_i \dot{Z}_i + S_i Z_i + \varphi_{Ki} f_k^a + \varphi_{ji} f_j^a + \dots + \varphi_{ri} f_r^a = \{\varphi_i\}^T P\{t\} \quad 8-3$$

در رابطه بالا، $f_r^a, f_k^a, f_j^a, \dots$ نیروهای n عملگر می باشند. همچنین φ_{Ki} ، φ_{ji} و φ_{ri} مربوط به درایه بزرگ مودهای شکل نوسان هستند که n عملگر به درجه های آزادی متناظر آنها متصل شده اند. اکنون، جمله های وابسته به نیروهای عملگر به صورت الگوی میرایی لزج فرض می گردد. در نتیجه می توان نوشت:

$$M_i \ddot{Z}_i + C_i \dot{Z}_i + S_i Z_i + \{\varphi_i\}^T \{f^a\} = \{\varphi_i\}^T P\{t\} \quad 9-3$$

رابطه بالا با تعریف میرایی معادل C_i^* بصورت رابطه ۱۰-۳ تبدیل می گردد.

$$M_i \ddot{Z}_i + C_i^* \dot{Z}_i + S_i Z_i = \{\varphi_i\}^T P\{t\} \quad 10-3$$

در اینجا C_i^* ، میرایی معادل سازه با n عملگر در مود آم می باشد و به صورت زیر تعریف می گردد.

$$C_i^* = C_i + \left(\frac{\varphi_{ki}}{\dot{Z}_i}\right) f_k^a + \left(\frac{\varphi_{ji}}{\dot{Z}_i}\right) f_j^a + \dots + \left(\frac{\varphi_{ri}}{\dot{Z}_i}\right) f_r^a \quad 11-3$$

$i=1, 2, \dots, n$

روشن است، کوتاهترین زمان از بین رفتن نوسانها در شرایطی ایجاد می شود که میرایی های رابطه بالا بحرانی گردند و یا به عبارتی برابر میرایی بحرانی شوند. یعنی:

$$C_i^* = 2M_i \quad \omega_i \quad i=1,2,\dots,n \quad 12-3$$

در این رابطه ω_i ، آمین فرکانس طبیعی سازه می باشد. در حالت استفاده از n عملگر n معادله از رابطه بالا در دسترس قرار می گیرد که با حل این دستگاه n معادله n مجھول مقدارهای نیروهای n عملگر به دست می آیند. همچنین \dot{Z} سرعت مختصه مودی i ام می باشد که به موقعیت نصب حسگرها وابسته است. چگونگی تعیین این کمیت در بخش بعدی ارائه می گردد. باید دانست، نیروهای عملگرها از حل دستگاه n معادله n مجھول به دست می آیند. بر این اساس نیروهای عملگرها در هر لحظه تغییر می کنند و مقدار آنها توسط سامانه پایش فعال و از حل دستگاه معادله در دسترس قرار می گیرند.

$$C_1^* = C_1 + (\varphi_{K1}/\dot{Z}_1) f_k^a + (\varphi_{j1}/\dot{Z}_1) f_j^a + \dots + (\varphi_{r1}/\dot{Z}_1) f_r^a = 2M_1 W_1 \quad 13-3$$

$$C_2^* = C_2 + (\varphi_{K2}/\dot{Z}_2) f_k^a + (\varphi_{j2}/\dot{Z}_2) f_j^a + \dots + (\varphi_{r2}/\dot{Z}_2) f_r^a = 2M_2 W_2 \quad 14-3$$

$$C_3^* = C_3 + (\varphi_{K3}/\dot{Z}_3) f_k^a + (\varphi_{j3}/\dot{Z}_3) f_j^a + \dots + (\varphi_{r3}/\dot{Z}_3) f_r^a = 2M_3 W_3 \quad 15-3$$

$$C_i^* = C_i + (\varphi_{Ki}/\dot{Z}_i) f_k^a + (\varphi_{ji}/\dot{Z}_i) f_j^a + \dots + (\varphi_{ri}/\dot{Z}_i) f_r^a = 2M_i W_i \quad 16-3$$

برای راستی آزمایی روش پایش فعال نوین پیشنهادی از تحلیلهای دینامیکی عددی استفاده می گردد. این کار با تحلیل دینامیکی عددی سامانه پایش شده انجام می پذیرد. در این شیوه، بازه زمانی تحلیل به تعداد محدودی گام زمانی کوچک تقسیم می گردد و در هر گام زمانی از فرایندهای تابع اولیه گیری

زمانی برای دستیابی به پاسخ سازه بهره جویی می شود. در این تحقیق روش نیومارک با شتاب خطی به کار می رود. گامهای تحلیل دینامیکی عددی سامانه پایش شده به صورت زیر اند.

- ۱- قراردهی $n=0$ و انتخاب گام زمانی تحلیل دینامیکی .
- ۲- تشکیل ماتریس های جرم، سختی و میرایی سازه.
- ۳- تعیین موقعیت حسگرها و عملگرها .
- ۴- محاسبه سرعت های مودی.
- ۵- حل دستگاه n معادله n مجهول.
- ۶- محاسبه تغییرمکانهای گام زمانی از روش نیومارک با شتاب خطی.
- ۷- محاسبه سرعتهای گام زمانی از روش نیومارک با شتاب خطی.
- ۸- بردار شتاب گام زمانی n ام را با حل دستگاه خطی رابطه زیربدهست آورید.

$$[M]^n \{ \ddot{D} \}^n = \{ p(t^n) \} - [C]^n \{ \dot{D} \}^n - [S]^n \{ D \}^n - \{ f \} \quad 17-3$$

- ۹- به n یکی اضافه کنید.
- ۱۰- اگر n کمتر از n_{\max} باشد تحلیل از گام ۴ دنبال شود.
- ۱۱- نتایج را چاپ کنید.

باید دانست شیوه تعیین موقعیت حسگرها (گام ۳) و نیز فرایند محاسبه سرعتهای مودی(گام ۴)، در قسمتهای بعدی ارائه می گردد. در ادامه به ارزیابی تحلیلی شیوه پایش پیشنهادی پرداخته می شود. شکل ۱-۳ الگوریتم اجرایی روش پیشنهادی را نشان می دهد.

تشکیل ماتریس های جرم، سختی و هیرایی سازه



تعیین موقعیت حسگرها و عملگرها بر اساس مباحث روش



محاسبه سرعت های مودی



تشکیل معادله با n مجهول



محاسبه تغییرمکانها و سرعت های گام زمانی از روش نیومنارک



محاسبه مشتاب گام زمانی از معادله تعادل



تکرار مراحل بالا برای گام زمانی بعدی تا رسیدن تعداد گام به حد اکثر

شکل ۱-۳ : الگوریتم اجرایی روش پیشنهادی

۳-۲-ارزیابی تحلیلی شیوه پایش پیشنهادی

برای ارزیابی فرایند پیشنهادی، حالت‌های استفاده ازیک، دو و سه عملگر بررسی می‌شوند. چنانچه در روش پیشنهادی تنها یک عملگر در سازه وجود داشته باشد، آنگاه نیروی عملگر از روابط زیر بدست می‌آید.

$$M_I \dot{Z}_I + C_I \dot{Z}_I + S_I Z_I + \Phi_{KI} f_k^a = \{\Phi_I\}^T P\{t\} \quad 18-3$$

$$M_I \dot{Z}_I + C^*_I \dot{Z}_I + S_I Z_I = \{\Phi_I\}^T P\{t\} \quad 19-3$$

$$C^*_I = C_I + (\Phi_{KI} f_k^a) / \dot{Z}_I \quad 20-3$$

مطابق آنچه قبلاً گفته شد برای تعیین نیروی بهینه عملگر می‌توان میرائی معادل فوق را برابر میرائی بحرانی قرار داد. لذا داریم

$$C_I^* = 2M_I W_I \quad 21-3$$

$$f_k^a = \{2M_I \omega_I \dot{Z}_I - C_I \dot{Z}_I\} / \varphi_{KI} \quad 22-3$$

این رابطه با نتیجه ارائه شده توسط پژوهشگران پیشین سازگار می‌باشد [۳۶]. بنابراین شیوه پیشنهادی بسیار کلی تر از شیوه‌های موجود است. چنانچه پایش نوسانهای سازه با دو عملگر انجام پذیرد، رابطه بیان شده به دستگاه دو معادله دو مجهول معادله ۲۳-۳ و ۲۴-۳ منجر می‌شود.

$$C_I^* = C_I + \left(\frac{\varphi_{K1}}{\dot{Z}_1} \right) f_k^a + \left(\frac{\varphi_{J1}}{\dot{Z}_1} \right) f_J^a = 2M_I \omega_1 \quad 23-3$$

$$C_2^* = C_2 + \left(\frac{\varphi_{k2}}{\dot{Z}_2}\right) f_k^a + \left(\frac{\varphi_{j2}}{\dot{Z}_2}\right) f_j^a = 2M_2\omega_2 \quad 24-3$$

در اینجا φ_{k1} و φ_{j1} به ترتیب بزرگترین و پیش بزرگترین درایه های نخستین بردار شکل نوسان و φ_{j2} و φ_{k2} نیز مقادیر متناظر در مود دوم می باشند. با حل این دستگاه نیروهای دو عملگر بصورت زیر بدست می آیند.

$$f_k^a = \frac{\{2M_2\omega_2 \dot{Z}_2 - C_2 \dot{Z}_2 - \frac{\varphi_{j2}}{\varphi_{j1}} \dot{Z}_1 (2M_1\omega_1 - C_1)\}}{\{\varphi_{k2} - \frac{\varphi_{j2}}{\varphi_{j1}} \varphi_{k1}\}} \quad 25-3$$

$$f_j^a = 2M_1\omega_1 \frac{\dot{Z}_1}{\varphi_{j1}} - C_1 \frac{\dot{Z}_1}{\varphi_{j1}} - \varphi_{K1} \frac{f_k^a}{\varphi_{j1}} \quad 26-3$$

به گونه مشابه ، استفاده از سه عملگر در پایش نوسانهای سازه به دستگاه سه معادله، سه مجھول زیر منجر می گردد.

$$C_l^* = C_l + \left(\frac{\varphi_{k1}}{\dot{Z}_1}\right) f_k^a + \left(\frac{\varphi_{j1}}{\dot{Z}_1}\right) f_j^a + \left(\frac{\varphi_{l1}}{\dot{Z}_1}\right) f_l^a = 2M_1\omega_1 \quad 27-3$$

$$C_2^* = C_2 + \left(\frac{\varphi_{k2}}{\dot{Z}_2}\right) f_k^a + \left(\frac{\varphi_{j2}}{\dot{Z}_2}\right) f_j^a + \left(\frac{\varphi_{l2}}{\dot{Z}_2}\right) f_l^a = 2M_2\omega_2 \quad 28-3$$

در اینجا φ_{ki} و φ_{li} و φ_{ji} که $i=1,2,3$ به ترتیب بزرگترین، پیش بزرگترین و واپیش بزرگترین درایه های i امین بردار شکل نوسان می باشند. با حل این دستگاه نیروهای سه عملگر بدست می آیند.

۳-۳- ارزیابی تعداد حسگرها

در رابطه سازی پیشنهادی، کمیتهای سرعت های مودی وجود دارند. بر مبنای نگره دینامیک سازه ها، سرعت هر مود نوسان، به سرعتهای درجه های آزادی سازه وابسته است. ضریب تناسب، درایه های وارون ماتریس شکل نوسان می باشند:

$$\dot{Z}_i = \sum_{j=1}^q \varphi_{ij}^{inv} \dot{D}_j \quad ۳۰-۳$$

در اینجا φ_{ij}^{inv} درایه j از وارون ماتریس شکل نوسان است. برای تعیین سرعت های مودی (\dot{Z}_i) ، لازم است دو عامل تعداد حسگرها و محل نصب حسگرها مشخص گردند. هر چه تعداد حسگرها بیشتر باشد، دقت سرعتهای مودی نیز بیشتر خواهد شد. به عنوان نمونه، چنانچه m حسگر در سازه وجود داشته باشد، رابطه بالا بصورت زیر نوشته می شود :

$$\dot{Z}_i = \varphi_{iL}^{inv} \dot{D}_L + \varphi_{iM}^{inv} \dot{D}_M + \dots + \varphi_{iN}^{inv} \dot{D}_N \quad ۳۱-۳$$

در این رابطه L, M, N درجه های آزادی می باشند که حسگرها به آنها متصل شده اند (m حسگر). شایان توجه است، تعداد حسگرها را می توان به دلخواه انتخاب کرد. افزایش تعداد حسگرها سبب افزایش دقت سرعتهای مودی می شود که افزایش دقت نیروهای عملگر را به دنبال خواهد داشت. با این وجود، محدودیت های اجرایی سبب می گردد نتوان تعداد حسگرهای زیادی را به کار برد. در بخش سنجش عددی شیوه پیشنهادی، اثر تعداد حسگرها نیز ارزیابی خواهد شد. از سوی دیگر، محل نصب حسگرها دیگر عاملی است که بر سرعتهای مودی اثر گذار می باشد. با توجه به رابطه بیان شده قبلي می توان دریافت حسگرها باید در درجه های آزادی نصب شوند که درایه های متناظر این درجه های آزادی در نخستین سطر وارون ماتریس شکل نوسان دارای بیشترین مقدارها باشند. به عنوان

نمونه، در حالت استفاده از یک حسگر، درجه آزادی وابسته به بزرگترین درایه در نخستین سطر وارون ماتریس شکل نوسان به عنوان محل نصب حسگر انتخاب می شود. استفاده از دو حسگر سبب می گردد آنها را در درجه های آزادی متناظر با بزرگترین و پیش بزرگترین درایه ها در سطر اول وارون ماتریس شکل نوسان نصب نمود. به عنوان نمونه، در حالت وجود دو حسگر و دو عملگر می توان سرعت های مودی را از رابطه های زیر یافت.

$$\dot{Z}_I = \varphi_{IL}^{inv} \dot{D}_L + \varphi_{IM}^{inv} \dot{D}_M \quad 32-3$$

$$\dot{Z}_2 = \varphi_{2L}^{inv} \dot{D}_L + \varphi_{2M}^{inv} \dot{D}_M \quad 33-3$$

در اینجا، درجه های آزادی L و M به ترتیب دارای بزرگترین و پیش بزرگترین درایه ها در نخستین سطر وارون ماتریس شکل نوسان می باشند. به گونه مشابه، می توان محل نصب حسگرهای دیگر را نیز مشخص کرد. در طی مراحل گامهای تحلیل دینامیکی و در محاسبه نیروی عملگر سرعت درجه آزادی L ام (\dot{D}_L) برای بار اول صفر در نظر گرفته شده و برای دفعات بعدی عدد برداشت شده توسط حسگر مبنا قرار می گیرد. قابل ذکر است در طی بررسی روش پیشنهادی در چند سیستم به عنوان نمونه، عدد مذکور (سرعت درجه آزادی L ام) بجای برداشت از حسگر از تحلیل دینامیکی بدست می آید. اما در استفاده عملی از پوسه پیشنهادی می توان سرعت لحظه ای را بجای محاسبه از فرایند تحلیل دینامیکی از حسگرها برداشت نمود. با داشتن مقدار نیروی عملگر در هر مرحله تحلیل دینامیکی انجام شده و نتایج آن که شامل بردارهای سرعت و تغییر مکان می باشد بدست می آید. سپس بر مبنای بردار سرعت مقدار بردار سرعت مود L ام (محل پیشنهادی نصب حسگر) و سپس مقدار \dot{Z}_1 بدست می آید. بر اساس این مقادیر و رابطه کلی مجدداً مقدار نیروی عملگر محاسبه می شود. سپس با داشتن نیروی عملگر مجدداً تحلیل دینامیکی انجام شده و مراحل فوق تا زمان رسیدن تعداد چرخه ها به مقدار ماکزیمم آن ادامه می یابد. در روش پیشنهادی چنانچه تابع نیروی واردہ به

سیستم از قبل مشخص نباشد) همانند یک زلزله نا مشخص) می توان با قرار دادن یک حسگر شتابسنج مقدار نیرو را در هر گام زمانی محاسبه نمود.

۳-۴ مزایای روش پیشنهادی نسبت به سایر روش‌های ارائه شده

بطور کلی مزایای روش نوین پیشنهادی در کنترل فعال سازه های هوشمند به شرح زیر می باشد.

۱- بسیاری از روش‌های پیشین تنها برای تیر ها یا ورقها مطرح شده و قابل استفاده می باشند

(نه در یک سازه قابی کلی n درجه آزادی).

۲- سادگی روش پیشنهادی با توجه به استفاده تنها از روابط دینامیکی و ریاضی اولیه.

۳- بعضی از روشها تنها موقعیت بهینه حسگرها را بررسی می کنند . در صورتی که در روش

پیشنهادی موقعیت بهینه حسگرها و عملگرها بررسی می گردد.

۴- قابلیت برنامه نویسی روش پیشنهادی.

۵- قابلیت در نظر گفتن تاخیر زمانی جهت بالا بدن دقیق نتایج.

۶- سازگاری بیشتر با سازه های عمرانی و ساختمانها (با توجه به اتکا بر روابط دینامیک سازه

(ها)

فصل چهارم

ارزیابی عددی روش پیشنهادی

فصل چهارم : ارزیابی عددی روش پیشنهادی

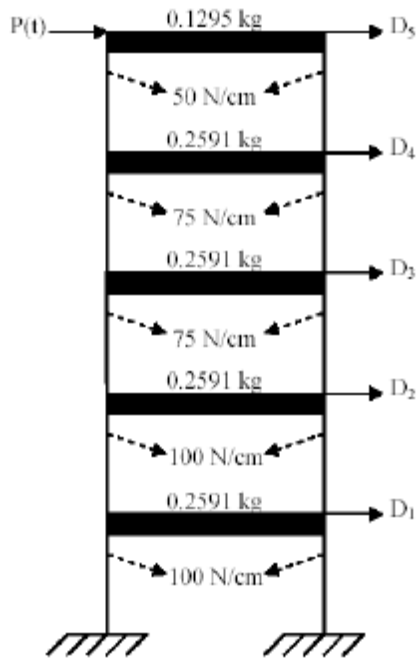
مقدمه:

در این فصل جهت ارزیابی عددی روش پیشنهاد شده و صحت و کارایی آن در کاهش ارتعاشات سازه از حل مثال های عددی استفاده می گردد. در مثالهای عددی بیان شده از بارهای هارمونیک ، بارهای انفجاری و بار زلزله السنترو استفاده گردیده است. پس از حل مثالها توسط برنامه های نوشته شده بوسیله نرم افزار متلب ، پارامترهای کلیدی برای بررسی میزان کارایی روش در حالت های مختلف کنترل (حالت بدون کنترل و حالت های استفاده از تعداد متفاوت حسگر و عملگر در موقعیت های پیشنهادی) مقایسه می گردد. مهمترین پارامتر جهت قضاوت در خصوص کارایی روش پیشنهادی میزان تغییر مکان درجات آزادی مختلف سیستم می باشد. ترسیم نمودارهای تاریخچه زمانی تغییر مکان بر حسب زمان در حالت های مختلف کنترل نشان دهد تفاوت مقادیر بصورت آشکار خواهد بود. ضمن آنکه پارامترهایی همچون کل انرژی جنبشی سازه و مقادیر تغییر مکان نسبی طبقات نیز از سایر پارامترهای کلیدی جهت بررسی کارایی روش ارائه شده می باشند. نکته قابل توجه اینکه نتایج بدست آمده از بکارگیری روش پیشنهادی در محدوده فرضیات این تحقیق حاصل گردیده است.

۴-۱ ارزیابی تحت بار هارمونیک :

۴-۱-۱ ارزیابی در ساختمان ۵ طبقه

سنجرش کارایی شیوه پیشنهادی با پایش نوسانهای یک ساختمان برشی ۵ طبقه مدل که دارای مقادیر فرضی جرم ، سختی و ابعادی بوده و بار هارمونیک $P(t) = 50\sin(10t)$ (نیوتن) به طبقه پنجم آن وارد شده است، انجام می پذیرد [۳۶]. مشخصات سختی و جرمها این سازه در شکل ۱-۴ نشان داده شده است.



شکل ۴-۴: ساختمان ۵ طبقه برشی [۳۶]

همچنین این سازه دارای ۵٪ میرایی در مود اول می باشد و دیگر مودهای نوسان آن نامیرا هستند. الگوی میرایی ریلی با دو عامل برای تعیین ماتریس میرایی سازه به کار می رود. نوسانهای این سازه با شیوه پیشنهادی پایش می گردد. در این راه، اثر تعداد حسگرها و عملگرها در کارایی شیوه پیشنهادی بررسی می شود. نخست لازم است مناسبترین درجه های آزادی برای نصب عملگرها و حسگرها تعیین گردد. این کار با توجه به بیشترین درایه های بردار شکل نوسان در مودهای مختلف و نخستین سطر از وارون ماتریس شکل نوسان انجام می پذیرد. اولویتهای نصب حسگرها و عملگرها در جدول ۴-۱ مشخص شده اند. این کار با استفاده از اصول بخشهای پیشین انجام می پذیرد. اولویتهای نصب عملگرها به ترتیب اولویت بر اساس درجه آزادی متناظر با بیشترین درایه شکل مود اول ، دوم و می باشند. چنانچه درجه آزادی متناظر با بیشترین مولفه بردار شکل هر مود تکراری باشد از ماقبل بیشترین مقدار آن مود و درجه آزادی متناظر با آن استفاده می شود.

جدول ۴-۱: اولویت های نصب حسگرها و عملگرها

اولویت حسگر	اولویت عملگر	درجه آزادی
۵	۴	۱
۴	۲	۲
۲	۳	۳
۱	۵	۴
۳	۱	۵

با استفاده از نتایج جدول فوق، می توان الگوریتمهای مختلف کنترل را با توجه به تعداد عملگرها و حسگرها مطرح کرد. این کار در جدول ۴-۲ انجام شده است.

جدول ۴-۲: حالت های مختلف پایش فعال سازه پنج طبقه

مشخصه های سامانه کنترل	حالت
سازه بدون سامانه پایش	بدون ابزار کنترل
سازه دارای یک عملگر (در درجه آزادی ۵) و یک حسگر (در درجه آزادی ۴)	A5-S4
سازه دارای دو عملگر و یک حسگر	A5,2-S4
سازه دارای دو عملگر و دو حسگر	A5,2-S4,3
سازه دارای سه عملگر و یک حسگر	A5,2,3-S4
سازه دارای سه عملگر و دو حسگر	A5,2,3-S4,3
سازه دارای سه عملگر و سه حسگر	A5,2,3-S4,3,5

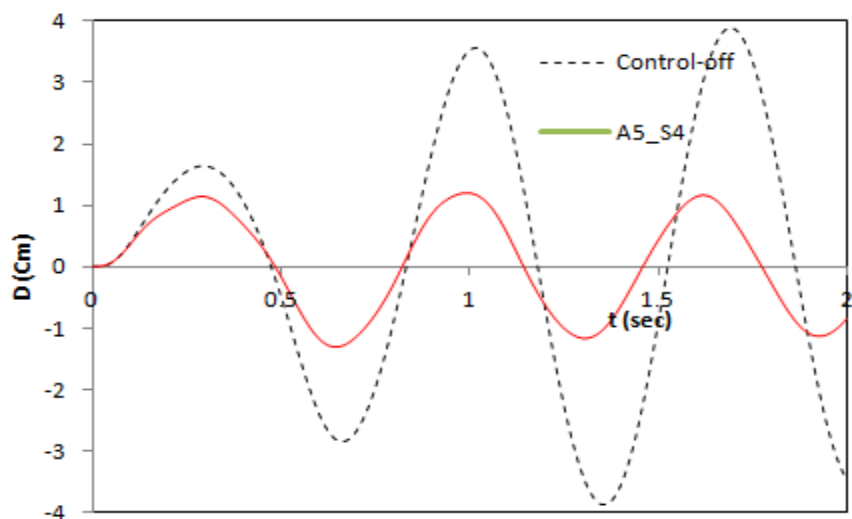
در ارزیابی عددی روش پیشنهادی ۳ عامل در حالت های مختلف کنترل فعال سازه در نظر گرفته می شود. این عامل ها عبارتند از بیشینه تغییر مکان طبقات، بیشینه انرژی جنبشی سازه و مجموع بیشینه تغییر مکانهای نسبی طبقات نسبت به یکدیگر. جدول ۳-۴ بیشینه مقدارهای تغییر مکان (بر حسب سانتی متر) را در حالت های مختلف کنترل ارائه می کند.

جدول ۴-۳: مقایسه بیشینه تغییر مکان طبقات در حالت های مختلف کنترل بر اساس الگوریتم پیشنهادی(cm)

طبقه ۵ (cm)	طبقه ۴ (cm)	حالت پایش
۳,۹۱۲	۳,۹۳۹	بدون ابزار کنترل
۱,۳۰۵	۱,۳۰۱	A ₅ -S ₄
۱,۳۹۵	۱,۳۰۱	A _{5,2} -S ₄
۱,۱۲۷	۰,۹۱۱	A _{5,2} -S _{4,3}
۱,۳۷۰	۱,۳۱۲	A _{5,2,3} -S ₄
۱,۳۳۶	۰,۹۶	A _{5,2,3} -S _{4,3}
۰,۹۸۳	۰,۷۵۶	A _{5,2,3} -S _{4,3,5}

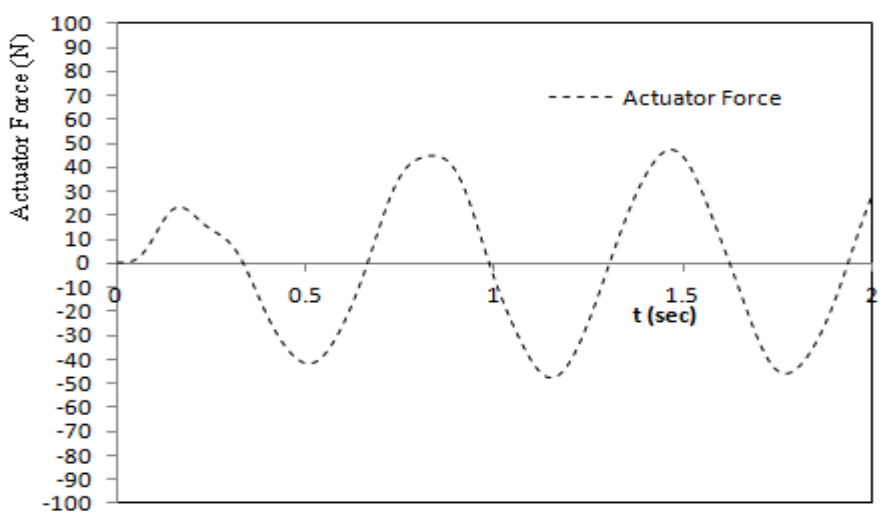
بر اساس نتایج جدول بالا، در حالت استفاده از یک حسگر و یک عملگر تغییر مکان طبقات بالایی حدود ۶۷ درصد کاهش می یابد. ضمن آنکه بر اساس جدول نتایج، در صورت استفاده از سه عملگر و سه حسگر تغییر مکان طبقه های بالایی تا ۸۰ درصد کاهش خواهد یافت. نکته ای در در مقادیر جدول فوق قابل توجه می باشد این است که زیاد شدن تعداد عملگرها در حالتی که تعداد حسگرها ثابت می ماند ، تاثیر مطلوبی در کاهش مقادیر حداکثر تغییر مکانها ندارد. این امر می تواند بدلیل این واقعیت باشد که افزایش تعداد عملگر بدون افزایش دقت در شناخت رفتار سازه (زیاد شدن تعداد حسگرها) نمی تواند مفید باشد. به عبارت دیگر چنانچه از تعداد زیادی عملگر با تعداد کمی حسگر در کنترل سازه استفاده شود، زیاد بودن عملگرها تاثیر زیادی در کاهش تغییر مکانها و کنترل نوسانات سازه نخواهد داشت . نمودار ۴-۲ تغییرات مقادیر تغییر مکان بر حسب زمان در دو حالت بدون

سیستم کنترل و استفاده از سیستم کنترل با الگوریتم پیشنهادی (استفاده از یک حسگر و یک عملگر را نشان می دهد).



شکل ۲-۴ : تغییرات مقادیر تغییر مکان بر حسب زمان در دو حالت بدون سیستم کنترل و استفاده از سیستم کنترل با الگوریتم پیشنهادی (cm)

همچنین شکل ۳-۴ نمودار تغییرات نیروی عملگر بر حسب زمان در حالت استفاده از الگوریتم پیشنهادی (با استفاده از یک عملگر و یک حسگر) را نشان می دهد. این نمودار نشان دهنده حدود تغییرات نیروی عملگر جهت مقایسه با مقادیر امکان پذیر در عمل می باشد.



شکل ۳-۴ : نمودار تغییرات نیروی عملگر (N) بر حسب زمان در حالت استفاده از الگوریتم پیشنهادی

عامل دیگری که در ارزیابی عددی روش پیشنهادی مورد استفاده قرار می‌گیرد، بیشینه انرژی جنبشی سازه در بازه زمانی تحلیل دینامیکی می‌باشد. جدول ۴-۴ تغییرات بیشینه انرژی جنبشی سازه را در این بازه در حالت‌های مختلف پایش را نشان می‌دهد. براین اساس، راهکار پایشی پیشنهادی کارایی بسیار مناسبی در کاهش انرژی جنبشی سامانه دارد، به گونه‌ای که با افزایش تعداد عملگرها انرژی جنبشی سازه کاهش چشم‌گیری دارد.

جدول ۴-۴: مقایسه بیشینه تغییرات انرژی جنبشی سازه در بازه زمانی تحلیل دینامیکی در حالت‌های مختلف پایش

بیشینه انرژی جنبشی $N \cdot cm^2 / S^2$	حالت پایش
۵۴۸/۱۴	بدون ابزار کنترل
۵۴	A_5-S_4
۴۱/۱۹	$A_{5,2}-S_4$
۵۶/۵۱	$A_{5,2,3}-S_4$
۲۹/۹۴	$A_{5,2,3}-S_{4,3}$
۱۵/۷۴	$A_{5,2,3}-S_{4,3,5}$
۱۲/۶۶	$A_{5,2,3}-S_{4,3,5,2}$

همچنین چگونگی تغییر بیشینه مجموع تغییر مکانهای نسبی طبقات سازه در بازه زمانی تحلیل دینامیکی در حالت‌های مختلف پایش متفاوت می‌باشد. جدول ۵-۴ این تغییرات را بیان می‌کند. روشن است، کارایی روش پیشنهادی با افزایش تعداد عملگرها بیشتر می‌شود.

جدول ۴-۵: بیشینه مجموع تغییر مکانهای نسبی طبقات در حالت های مختلف پایش سازه

بیشینه مجموع مقادیر Drift در طبقات (cm)	حالت پایش
۲/۶۹	بدون ابزار کنترل
۰/۹۱۲	A ₅ -S ₄
۰/۸۲۰	A _{5,2} -S ₄
۰/۹۹۳	A _{5,2,3} -S ₄
۱/۱۱۸	A _{5,2,3} -S _{4,3}
۰/۷۷۷	A _{5,2,3} -S _{4,3,5}
۰/۸۵۲	A _{5,2,3} -S _{4,3,5,2}

همچنین میزان کارایی روش پیشنهادی در کاهش شتاب طبقات نیز مورد بررسی قرار گرفته است.

جدول ۴-۶ نشان دهنده تغییرات شتاب طبقه پنجم در حالت های مختلف کنترل می باشد.

جدول ۴-۶: بیشینه شتاب طبقه فوقانی در حالت های مختلف پایش سازه تحت بار هارمونیک

بیشینه شتاب طبقه فوقانی (cm/s ²)	حالت پایش
۳۳۸	بدون ابزار کنترل
۱۶۴	A ₅ -S ₄
۱۳۹	A _{5,2,3} -S ₄
۱۲۱	A _{5,2,3} -S _{4,3}
۸۸	A _{5,2,3} -S _{4,3,5}

بر اساس جدول بالا حداکثر شتاب طبقه فوقانی در حالت استفاده از یک حسگر و یک عملگر حدود

۵۰ درصد و در حالت استفاده از سه حسگر و سه عملگر حدود ۷۵ درصد کاهش می یابد.

۴-۲ ارزیابی تحت بار انفجاری :

۴-۲-۱ ارزیابی در ساختمان ۵ طبقه تحت بار انفجاری :

در این بخش سنجش کارایی شیوه پیشنهادی با پایش نوسانهای ساختمان برشی ۵ طبقه قبلی که بار انفجاری $P(t)$ به طبقه پنجم آن وارد شده است، انجام می‌پذیرد. بار انفجاری واردہ بصورت زیر در نظر گرفته شده است.

$$P(t) = \begin{cases} 200t \text{ (N)} & 0 \ll t \ll 0.5 \\ 200(1-t) \text{ (N)} & 0.5 \ll t \ll 1 \end{cases} \quad 1-4$$

مشخصات سازه ۵ طبقه و اولویت‌های موقعیت نصب حسگرها و عملگرها مطابق روش پیشنهادی در بخش بار هارمونیک ارائه گردید. جدول ۷-۴ بیشینه مقدارهای تغییر مکان را در حالت‌های مختلف کنترل شامل حالت بدون کنترل و کنترل بر اساس روش پیشنهادی با تعداد متفاوت حسگر و عملگر تحت اثر بار انفجاری ارائه می‌کند.

جدول ۷-۴ مقایسه بیشینه تغییر مکان طبقات (cm) در حالت‌های مختلف کنترل تحت بار انفجاری

بیشینه تغییر مکان طبقه ۵ (cm)	بیشینه تغییر مکان طبقه ۴ (cm)	حالت کنترل
۴,۱۰	۳,۱۳	بدون ابزار کنترل
۳,۱۸	۲,۴۵	A ₅ -S ₄
۲,۹۲	۲,۱۹	A _{5,2} -S _{4,3}
۲,۷۵	۱,۹۸	A _{5,2,3} -S _{4,3,5}

بر اساس نتایج جدول بالا، در حالت استفاده از یک حسگر و یک عملگر تغییر مکان طبقه پنجم حدود ۲۹ درصد کاهش می‌یابد. ضمن آنکه در صورت استفاده از سه عملگر و در صورت استفاده از سه

عملگر و سه حسگر الگوریتم پیشنهادی بیشینه تغییر مکان طبقه پنجم را تا ۵۰ درصد کاهش می دهد.

عامل دیگری که در ارزیابی عددی روش پیشنهادی مورد استفاده قرار می گیرد، بیشینه انرژی جنبشی سازه در بازه زمانی تحلیل دینامیکی می باشد. جدول ۴-۸ تغییرات بیشینه انرژی جنبشی سازه را در این بازه در حالت های مختلف پایش را نشان می دهد. براین اساس، راهکار پایشی پیشنهادی کارایی بسیار مناسبی در کاهش انرژی جنبشی سامانه دارد، به گونه ای که با افزایش تعداد عملگرها انرژی جنبشی سازه کاهش چشم گیری دارد.

جدول ۴-۸: مقایسه بیشینه تغییرات انرژی جنبشی سازه تحت بار انفجاری در حالت های مختلف کنترل

حالت کنترل	بیشینه انرژی جنبشی $N \cdot cm^2 / s^2$
بدون ابزار کنترل	۷۷/۷۸
A ₅ -S ₄	۲۱/۹۸
A _{5,2} -S _{4,3}	۱۸/۴۲
A _{5,2,3} -S _{4,3,5}	۸/۱۰۵
A _{5,2,3} -S _{4,3,5,2}	۷/۱۹۸
A _{5,2,3} -S _{4,3,5,2,1}	۷/۰۷۷

همچنین چگونگی تغییر بیشینه مجموع تغییر مکانهای نسبی طبقات سازه در بازه زمانی تحلیل دینامیکی در حالت های مختلف کنترل متفاوت می باشد. جدول ۴-۹ این تغییرات را بیان می کند. روشن است، کارایی روش پیشنهادی با افزایش تعداد عملگرها بیشتر می شود.

جدول ۹-۴: بیشینه مجموع تغییر مکانهای نسبی طبقات در حالت های مختلف کنترل سازه تحت بار انفجاری

حالت کنترل	بیشینه مجموع مقادیر Drift در طبقات (cm)
بدون ابزار کنترل	۳/۴۰
A ₅ -S ₄	۲/۶۶
A _{5,2} -S _{4,3}	۲/۵۲
A _{5,2,3} -S _{4,3}	۲/۶۳
A _{5,2,3} -S _{4,3,5}	۲/۲۶
A _{5,2,3} -S _{4,3,5,2}	۲/۲۶

۴-۲-۲-۴ ارزیابی در ساختمان ۱۰ طبقه تحت بار انفجاری :

در این قسمت کارایی شیوه پیشنهادی درساختمان ده طبقه با مشخصات واقعی که بار انفجاری P(t) مطابق رابطه زیر به طبقه دهم آن وارد شده است، بررسی می گردد. مشخصات ساختمان ده بصورت جدول ۴-۱۰ می باشد.

$$P(t)=\begin{cases} 120000t \text{ (kg)} & 0 \ll t \ll 0.5 \\ 120000(1-t) & 0.5 \ll t \ll 1 \end{cases} \quad ۴-۴$$

جدول ۱۰-۴: مشخصات ساختمان ده طبقه با مشخصات واقعی

DOF	M (Ton)	K (Ton/m)	Mode	ξ	Effective Mass (Ton)	F (Hz)	T (s)
۱	۱۷۹	۶۲۴۷	۱	۰/۰۲	۱۱۰/۸۹	۰/۵	۱/۹۹
۲	۱۷۰	۵۹۲۶	۲	۰	۱۹۳/۰۱	۱/۳۲	۰/۷۵
۳	۱۶۱	۵۶۱۴	۳	۰	۵۷/۱۴	۲/۱۰	۰/۴۶
۴	۱۵۲	۵۳۰۲	۴	۰	۲۶/۷۰	۲/۹۳	۰/۳۴
۵	۱۴۳	۴۹۹۱	۵	۰	۱۴/۰۸	۳/۶۵	۰/۲۷
۶	۱۳۴	۴۶۷۹					
۷	۱۲۵	۴۳۶۷					
۸	۱۱۶	۴۰۵۵					
۹	۱۰۷	۳۷۴۳					
۱۰	۹۸	۳۴۴۴۱					
جمع	۱۳۸۵						

اولویت های موقعیت نصب حسگرها و عملگرها مطابق روش پیشنهادی درسازه ده طبقه بصورت جدول ۱۱-۴ ارائه گردیده است. جدول ۱۲-۴ نیز بیشینه مقدارهای تغییر مکان را در حالت های مختلف کنترل شامل حالت بدون کنترل و کنترل بر اساس روش پیشنهادی بیان می کند.

جدول ۱۱-۴: مشخصات ساختمان ده طبقه با مشخصات واقعی

اولویت حسگر	اولویت عملگر	درجه آزادی
۱۰	۵	۱
۹	۹	۲
۸	۸	۳
۷	۷	۴
۶	۶	۵
۴	۳	۶
۲	۱۰	۷
۱	۴	۸
۳	۲	۹
۵	۱	۱۰

جدول ۱۲-۴: مقایسه بیشینه تغییر مکان طبقات در حالت های مختلف کنترل تحت بار انفجاری(cm)

حالت کنترل	بیشینه تغییر مکان طبقه ۵ (cm)
بدون ابزار کنترل	۰,۳۶
A ₅ -S ₄	۰,۳۳
A _{5,2} -S _{4,3}	۰,۲۶

بر اساس اطلاعات جدول ۱۲-۴ با استفاده از روش کنترل فعال پیشنهادی و بکارگیری یک عملگر و یک حسگر حداکثر تغییرمکان طبقه پنجم نسبت به حالت بدون کنترل حدود ۹ درصد کاهش می یابد. این درصد در حالت استفاده از سه عملگر و سه حسگر با بهره جویی از روش کنترل پیشنهادی حدود ۲۸ درصد خواهد بود.

۳-۴ ارزیابی در ساختمان ۵ طبقه تحت بار زلزله السنترو :

۳-۴-۱ مقدمه

در این بخش ارزیابی روش پیشنهادی در برابر بار زلزله مورد مطالعه قرار می گیرد. برای بررسی اثر زلزله در اینجا، زلزله السنترو به سازه پنج درجه آزادی بخش های قبل اعمال می گردد. برای این کار از مقادیر شتابنگاشت زلزله السنترو در برنامه استفاده شده است.

۳-۴-۲ بررسی نتایج روش پیشنهادی

برای بررسی اثر زلزله السنترو در الگوریتم پیشنهادی از شتاب نگاشت زلزله السنترو استفاده شده است. در برنامه Matlab در خصوص نیروی زلزله، ابتدا شتابهای زلزله در برنامه فراخوانی شده و

شتاب مربوط به گام زمانی هر دوره از طریق درون یابی بین شتابهای مربوط به زمانهای نزدیک به زمان هر گام محاسبه می‌گردد. با استفاده از مقدار شتاب در هر گام زمانی و همچنین ماتریس جرم، بردار بارهای اعمال شده بر سازه در هر گام زمانی بدست آمده و به عنوان نیروهای اعمالی بر سازه همانند موارد قبل لحاظ می‌گردد.

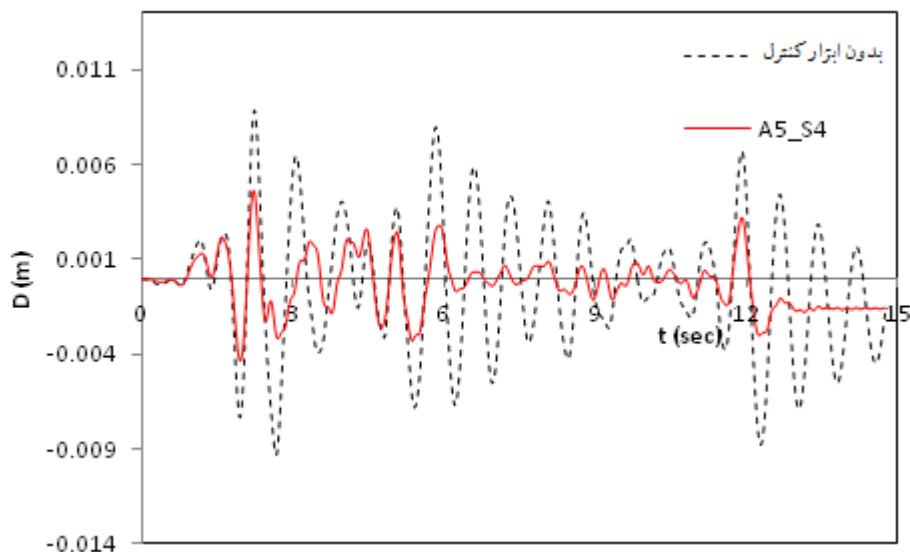
بررسی بالا برای حالت عدم استفاده از سیستم کنترل و همچنین در حالت‌های استفاده از چندین عملگر و حسگر انجام می‌گردد. جدول ۱۳-۴ بیشینه مقدارهای تغییر مکان را در حالت‌های مختلف پایش تحت اثر بار زلزله السنترو برای ساختمان ۵ طبقه عنوان شده در بخش‌های قبل ارائه می‌کند.

جدول ۱۳-۴ : مقایسه بیشینه تغییر مکان طبقات در حالت‌های مختلف پایش بر اساس الگوریتم پیشنهادی(cm)

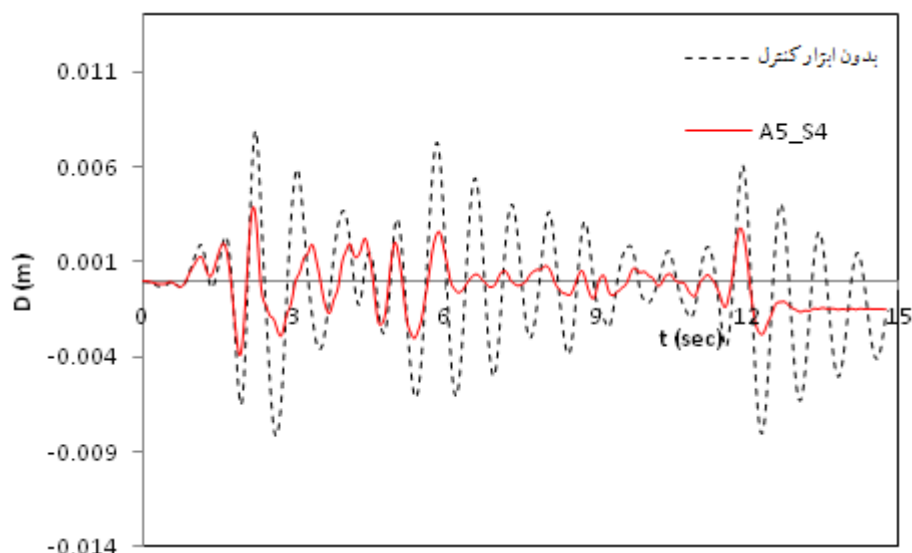
طبقه ۵ (cm)	طبقه ۴ (cm)	حالت کنترل
۹,۲	۸,۱۱	بدون ابزار کنترل
۴,۶۶	۳,۹۴	A ₅ -S ₄
۴,۶۰	۳,۹۳	A _{5,2,3} -S ₄
۳,۸۷۶	۲,۱۰۸	A _{5,2,3} -S _{4,3}
۲,۴	۲,۴	A _{5,2,3} -S _{4,3,5}

بر اساس نتایج جدول بالا، در حالت استفاده از یک حسگر و یک عملگر تغییر مکان طبقه پنجم حدود ۵۰ درصد کاهش می‌یابد. ضمن آنکه در صورت استفاده از سه عملگر و در صورت استفاده از سه عملگر و سه حسگر الگوریتم پیشنهادی بیشینه تغییر مکان طبقه پنجم را تا ۷۴ درصد کاهش می‌دهد. شکلهای ۴-۴ و ۴-۵ نمودار مقایسه تغییرات تغییر مکان در طبقه پنجم و چهارم بر اساس زمان

را در دو حالت بدون استفاده از سیستم کنترل و حالت استفاده از یک عملگر و یک حسگر در سازه ۵ طبقه تحت بار زلزله السنترو نشان می دهد. این اشکال به خوبی بیانگر کارایی روش پیشنهادی در کاهش تغییرمکانهای سازه ناشی از زلزله می باشد.

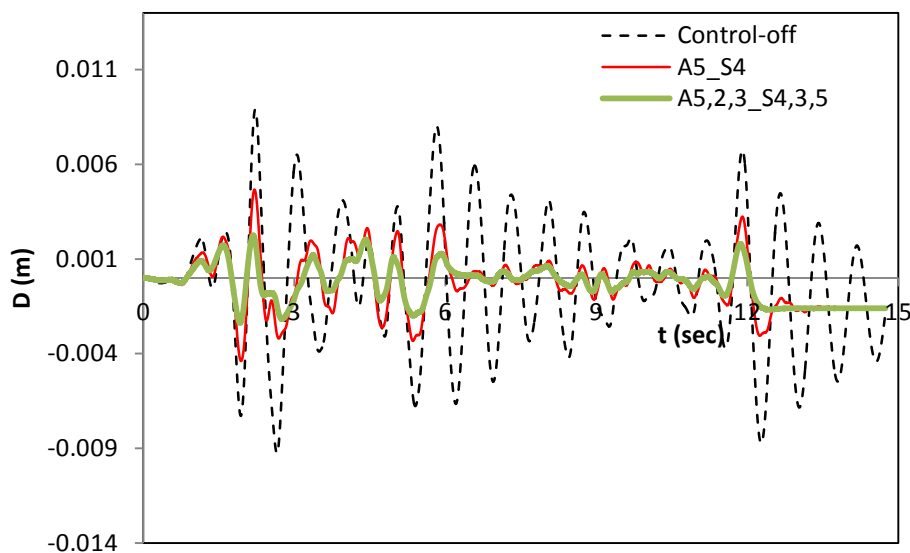


شکل ۴-۴: مقایسه تغییرات تغییرمکان طبقه پنجم بر اساس زمان را در دو حالت بدون استفاده از سیستم کنترل و حالت استفاده از یک عملگر و یک حسگر



شکل ۴-۵: مقایسه تغییرات تغییرمکان طبقه چهارم بر اساس زمان را در دو حالت بدون استفاده از سیستم کنترل و حالت استفاده از یک عملگر و یک حسگر

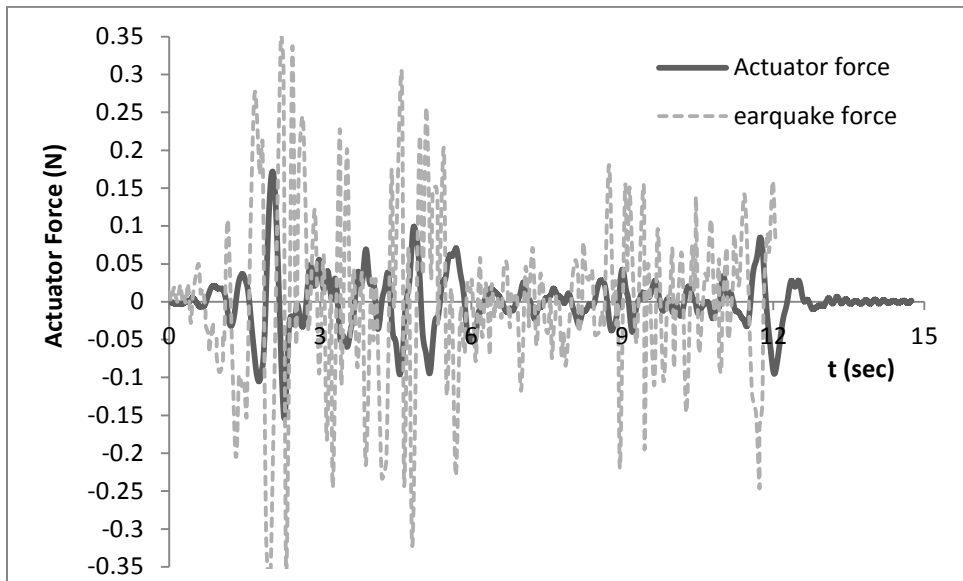
با لحاظ نمودن سه عملگر و سه حسگر شرایط کنترل مناسب تر شده و نمودار تغییرات تغییر مکان طبقه پنجم در سه حالت بدون کنترل، کنترل با یک حسگر و یک عملگر و کنترل با سه حسگر و عملگر بصورت نمودار ۴-۶ خواهد بود.



شکل ۴-۶: نمودار تغییرات تغییر مکان طبقه پنجم در سه حالت کنترل

۳-۳-۴ بررسی کمی مقایسه مقادیر نیروی عملگر

یک سیستم کنترل هنگامی کاربردی و قابل استفاده است که مقادیر نیروی عملگرها در مقایسه با نیروی زلزله کمتر از حدود ۵۰ درصد آن باشد. شکل ۷-۴ نمودار تغییرات نیروی عملگر در روش پیشنهادی با استفاده از یک حسگر و عملگر(در طبقه پنجم) برای سازه ۵ درجه آزادی عنوان شده قبلی را در برابر تغییرات نیروی زلزله السنترو نشان می دهد.



شکل ۷-۴: تغییرات نیروی عملگر(N) در الگوریتم پیشنهادی با استفاده از یک عملگر و یک حسگر در مقایسه با نیروی زلزله نسبت به زمان در طبقه پنجم

۴-۴ مقایسه روش کنترل پیشنهادی با روش متداول LQR

(Linear quadratic regulator method)

معادله حرکت در کلیه روش‌های پیشین کنترل فعال سازه دارای ساختار کلی به شکل زیر می‌باشد.

$$M\ddot{x}(t) + C\dot{x}(t) + Kx(t) = Du(t) + Ef(t) \quad ۲-۴$$

که در آن M ، C ، K ماتریس‌های جرم، میرایی و سختی بوده و $x(t)$ بردار تغییرمکان و $f(t)$ تحریک به سبب حرکت زمین می‌باشند. ماتریس D نیز موقعیت نیروهای کنترلی است. بردار نیروی کنترل بصورت تقریبی مطابق رابطه زیر بیان می‌گردد:

$$u(t) = K_1x(t) + C_1\dot{x}(t) + E_1f(t) \quad ۳-۴$$

که E_1 ، C_1 ، K_1 ماتریس‌های بهره بوده و وابسته به کنترل سیستم و متغیر با زمان می‌باشند. با استفاده از دو رابطه اخیر داریم:

$$M\ddot{x}(t) + (C - DC_1)\dot{x}(t) + (K - DK_1)x(t) = (E + DE_1)f(t) \quad ۴-۴$$

رابطه بالا بیانگر آن است که تحت اثر کنترل سازه میرایی، سختی و تحریک سازه اصلاح می‌گردد و بدین ترتیب پاسخ سیستم کنترل می‌شود.

ماتریس‌های E_1 ، C_1 و K_1 طوری محاسبه می‌گردند که پاسخ سازه حذف گردد. گرچه حذف شدن کامل پاسخ‌ها غیر ممکن می‌باشد. درجات مختلف کنترل سازه بر اساس درجات این ماتریس‌ها حاصل می‌گردد. تعیین این ماتریس‌ها به الگوریتم خاص انتخاب شده بستگی دارد. الگوریتم‌های

کنترل بصورت کلی دارای توابع هدف بوده که در این الگوریتمها مینیمم می‌گردد و در نتیجه ماتریسهای بهره بدست می‌آید. الگوریتم‌های کنترل در یافتن ماتریس‌های بهره یا بردارهای نیروی کنترل متفاوت هستند. حل مسائل کنترل و توسعه الگوریتم‌های کنترل با نوشتن معادله کنترل حرکت در فضای حالت بدست می‌آیند:

$$\dot{z}(t) = Az(t) + Bu(t) + Hf(t)$$

۵-۴

در رابطه بالا (t) زبردار حالت می‌باشد. اکثر الگوریتم‌های کنترل معمول بر اساس تئوری کنترل بهینه خطی استوار است. در این الگوریتم اندیس عملکرد J کمینه می‌گردد:

$$J = \int_0^{t_f} [z^T(t)Qz(t) + u^T(t)Ru(t)]dt$$

۶-۴

در رابطه بالا Q و R ماتریس‌های وزنی بوده و t_f دوره زمانی اعمال نیروی کنترل می‌باشد. مساله کمینه سازی بیان شده نیازمند حل معادله ماتریس ریکاتی بوده که منجر به بردار نیروهای کنترلی می‌گردد:

$$G = R^{-1}B^T S$$

۷-۴

$$u(t) = -Gz(t)$$

۸-۴

ماتریس G به ماتریس بهره معروف می‌باشد. برخی از معایب روش LQR عبارتند از:

- ۱- در الگوریتم LQR نیاز به نصب حسگرها در تمام درجات آزادی می‌باشد.
- ۲- نتایج کنترل سازه با روش LQR بسیار حساس به انتخاب ماتریس‌های وزنی می‌باشد.

۳- روش LQR یک روش کنترل پیچیده می باشد.

برای بررسی عملکرد استراتژی LQR در کاهش پاسخ های سازه تحت بار زلزله ساختمان برشی ۵ طبقه بخش های قبلی بررسی می گردد. جهت کنترل ساختمان ۵ طبقه با روش LQR به مقادیر تغییرمکان و سرعت در تمام طبقات نیاز است. عملاً جهت تامین موارد مذکور می توان از حسگرهای شتاب سنج و همچنین مبدل برای تبدیل مقادیر شتاب به سرعت و تغییرمکان استفاده نمود. در نرم افزار Matlab برای محاسبه ماتریس بهره تابعی بصورت زیر وجود دارد .

$$G = lqr(A, B, Q, r) \quad 9-4$$

که در آن ماتریس A و B بصورت زیر بیان می شود.

$$A = \begin{bmatrix} [0] & [I] \\ -M^{-1}K & -M^{-1}C \end{bmatrix} \quad 10-4$$

$$[B] = \begin{bmatrix} 0 \\ I \end{bmatrix} \quad 11-4$$

ضمن آنکه Q و R ماتریس های وزنی می باشند. در اینجا ماتریس وزن Q یک ماتریس 10×10 بوده که بصورت زیر در نظر گرفته می شود.

$$[Q] = \begin{bmatrix} Q_{11} & 0 \\ 0 & Q_{22} \end{bmatrix} \quad 12-4$$

ماتریس های قطری Q11 و Q22 دارای درایه های متناسب با تغییرمکان و سرعت می باشند.

هرگونه تغییر در المانهای ماتریس Q منجر به تغییر سطح لغزشی می گردد. این ماتریس بصورت زیر فرض می گردد.

$$Q11 = \text{diag}(1, 1, 1, 1, 0.15)$$

۱۳-۴

$$Q22 = \text{diag}(1, 1, 1, 1, 0.15)$$

۱۴-۴

ماتریس R در حالت استفاده از یک عملگر یک ماتریس 1×1 و یا به عبارتی یک عدد می باشد. این عدد در اینجا $1,000$ در نظر گرفته می شود. بر اساس مقادیر ذکر شده و استفاده از تابع LQR در نرم افزار Matlab ماتریس بهره بصورت زیر بدست می آید.

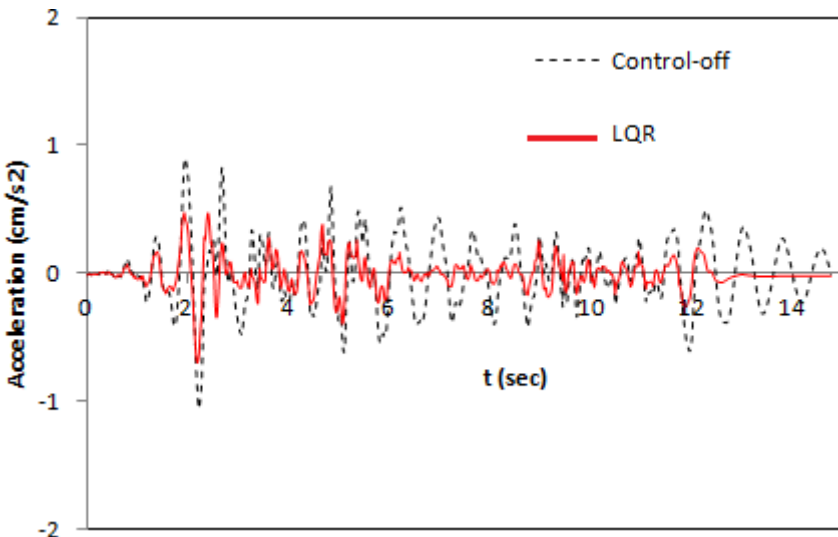
$$[G] = [51.9, 65.8, 81.05, 103.93, 44.34, 0.57, 0.99, 0.996, 0.147, 3.59]$$

جدول ۱۴-۴ نشان دهنده مقادیر حداقل تغییرمکان طبقات سازه کنترل شده با الگوریتم LQR تحت زلزله السنترو می باشد.

جدول ۱۴-۴ : حداقل تغییرمکان (cm) طبقات سازه کنترل شده با الگوریتم LQR

	طبقه ۱ (cm)	طبقه ۲ (cm)	طبقه ۳ (cm)	طبقه ۴ (cm)	طبقه ۵ (cm)
بدون کنترل	۲,۳۹	۴,۵۶	۶,۶۱	۸,۱۱	۹,۲
کنترل با الگوریتم LQR	۱,۲۵	۲,۲۸	۳,۳۹	۴,۱۲	۴,۵۴

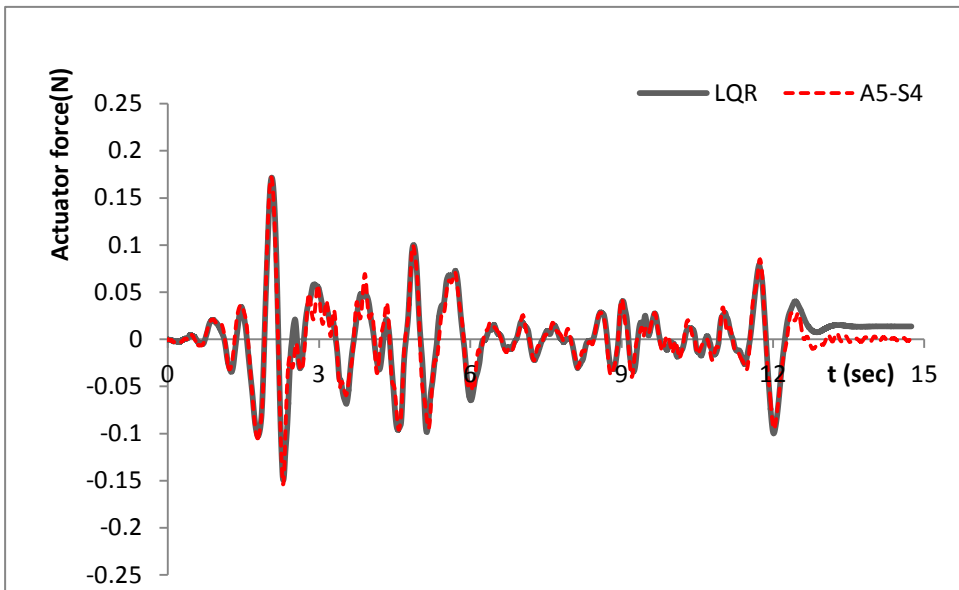
شکل ۴-۸ نشان دهنده تاریخچه زمانی تغییرات شتاب طبقه پنجم در دو حالت بدون کنترل و کنترل با الگوریتم LQR می باشد.



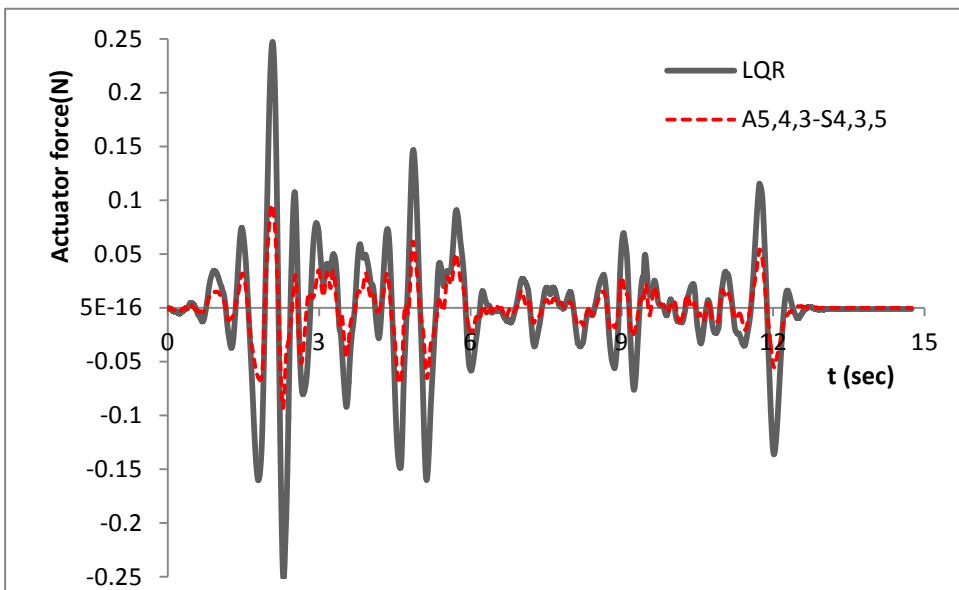
شکل ۴-۸: تاریخچه زمانی تغییرات شتاب طبقه پنجم در دو حالت بدون کنترل

مقایسه جداول مقادیر تغییرمکان حداکثر طبقات در کنترل با روش پیشنهادی با روش الگوریتم LQR نشان دهنده آن است که نتایج روش پیشنهادی در حالت استفاده از یک عملگر و یک حسگر مشابه روش LQR می‌باشد. در الگوریتم پیشنهادی با استفاده از یک عملگر و یک حسگر مقادیر تغییرمکان و شتاب طبقه پنجم به ترتیب ۴۹ و ۳۵ درصد نسبت به حالت بدون کنترل کاهش می‌یابد. در حالی که در روش LQR مقادیر مذکور نسبت به حالت بدون کنترل به ترتیب ۵۱ و ۴۰ درصد کاهش خواهند داشت. ضمن آنکه با استفاده از الگوریتم پیشنهادی و استفاده از سه حسگر و سه عملگر در آن، تغییر مکان حداکثر طبقه پنجم ۷۴ درصد کاهش را نسبت به حالت بدون کنترل خواهد داشت.

شکل ۹-۴ مقایسه بین نیروی عملگر در حالت استفاده از الگوریتم LQR با الگوریتم پیشنهادی (حالت یک حسگر و یک عملگر) را نشان می‌دهد. این شکل بیانگر مشابهت نیروی کنترل در حال استفاده از الگوریتم پیشنهادی به همراه یک حسگر و یک عملگر با روش LQR می‌باشد. ضمن آنکه مطابق شکل ۹-۴ مقدار نیروی مورد نیاز برای عملگر در حالت استفاده از الگوریتم پیشنهادی با سه عملگر و سه حسگر حدود ۵۰ درصد نیروی مورد نیاز در حالت استفاده از الگوریتم LQR می‌باشد.

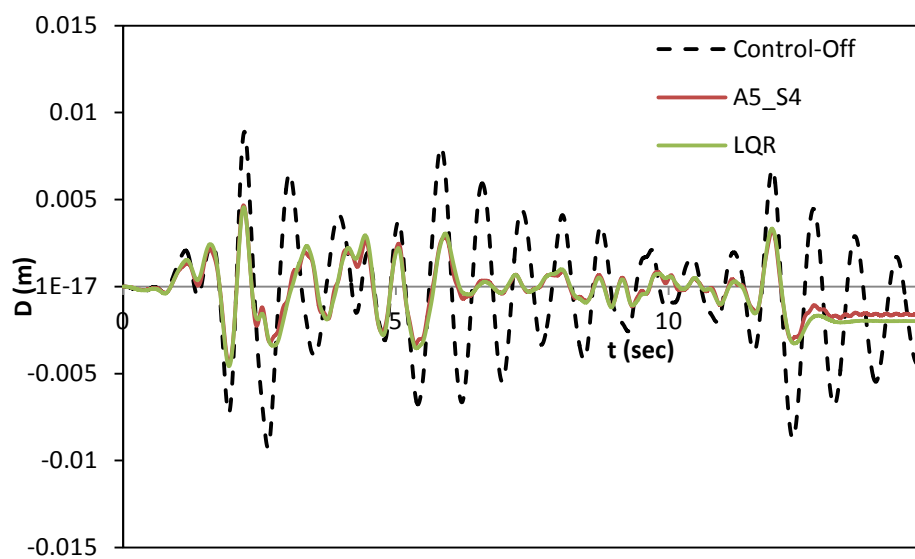


شکل ۹-۴: مقایسه نیروی عملگر (N) در حالت استفاده از الگوریتم پیشنهادی با یک عملگر و یک حسگر و روش LQR



شکل ۱۰-۴: مقایسه نیروی عملگر (N) در حالت استفاده از الگوریتم پیشنهادی با سه عملگر و سه حسگر و روش LQR

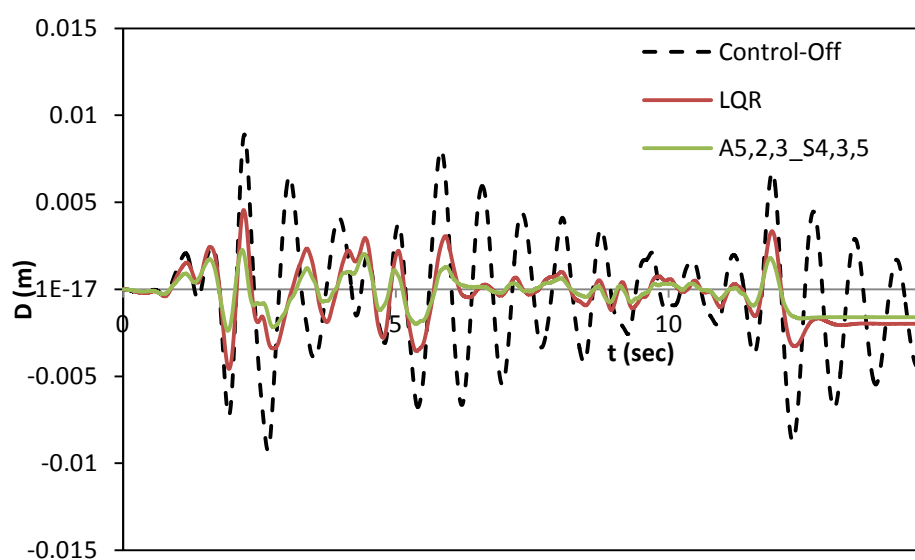
همچنین شکل ۱۱-۴ مقدار تغییر مکان طبقه پنج را در سه حالت بدون کنترل، الگوریتم پیشنهادی با یک عملگر و یک حسگر و روش LQR نشان می دهد.



شکل ۱۱-۴ : مقادیر تغییرمکان طبقه پنج را در سه حالت کنترل

شکل ۱۲-۴ نیز بیان کننده مقایسه تغییرمکان طبقه پنج در سه حالت بدون کنترل، الگوریتم

پیشنهادی با سه حسگر و سه عملگر و الگوریتم LQR می باشد.



شکل ۱۲-۴: مقایسه تغییرمکان طبقه پنج در سه حالت کنترل

فصل پنجم

بررسی عدم قطعیت در روش پیشنهادی

فصل پنجم : بررسی عدم قطعیت در روش پیشنهادی

۱-۵ مقدمه:

در مراحل مختلف احداث یک سازه از طرح و محاسبه تا اجرا و بهره برداری و همچنین خرابی تدریجی همواره عدم قطعیت های مختلفی وجود دارد. با توجه به منشا عدم قطعیت آنها به دو نوع طبیعی و انسانی تقسیم می شوند. عدم قطعیت های با منشا طبیعی ناشی از اثر باد، زلزله ، برف و یا بار زنده می باشد. تغییر رفتار مکانیکی مواد نیز از این جمله می باشد. عدم قطعیتها با منشا انسانی نظیر تقریبها و ایده آل سازی ناشی از کمبود اطلاعات است. در مرحله ساخت استفاده از مصالح نامرغوب، روشهای ساخت ، اتصالات معیوب و در هنگام بهره وری بارگذاری بیش از حد، نگهداری مقاومتها متغیرهای تصادفی هستند. عوامل اصلی در ایجاد کمیتهای تصادفی عبارتند از:

- عامل تغییرات فیزیکی که تغییرات ذاتی بار و مقاومت را نشان می دهد (مانند تغییرات طبیعی باد ، زلزله ، بار زلزله و خواص مصالح)
- عامل تغییرات آماری بیان کننده عدم قطعیت هایی است که از تخمین مقدار کمیتها بر اساس فضای نمونه محدود و نه گستردۀ ناشی می شود.
- عامل تغییرات مدلسازی که عدم قطعیت های مربوط به ساده سازی فرضیات و شرایط مرزی ناشناخته را بیان می کند.

۲-۵ تعاریف مباحث عدم قطعیت

۲-۵-۱ تعریف متغیر تصادفی

متغیر تصادفی تابعی است از نقاط فضای نمونه مثل (Ω) x که به هر یک از نقاط فضای نمونه عددی را نسبت میدهد.

۲-۵-۲ تابع جرمی احتمال (PMF)

اگر X فقط مقادیر ممکن X_1, X_2, X_3, \dots (قابل شمارش) را با احتمالهای P_1, P_2, P_3, \dots اختیار کند، تابع احتمال متغیر تصادفی X به صورت زیر تعریف

$$P_x(x) = \text{Prob}\{x = x\} = \begin{cases} P_i & x = x_i \\ 0 & \text{otherwise} \end{cases}$$

میشود.

بطور کلی روشن است که $P(x_i)$ ها عددی بین صفر و یک هستند و داریم:

$$\sum_{i=1}^{\infty} P(x_i) = 1$$

۳-۵ بررسی عدم قطعیت در روش پیشنهادی:

در تحلیل و طراحی سازه ها متغیرهای گوناگونی همانند بارهای وارد، ظرفیت عضوها و مشخصه های مواد وجود دارند که عدم قطعیت هر یک از آنها اثر فراوانی در ایمنی سازه دارد. در این بخش جرم طبقات به عنوان متغیرهای تصادفی در نظر گرفته می شوند. برای بررسی عدم قطعیت جرم طبقات در روش پیشنهادی برای هر طبقه دامنه ای از اعداد در نظر می گیریم. در مثال عددی بخش قبل که جرم طبقات اول تا چهارم ۰,۲۵۹۱ کیلوگرم و جرم طبقه پنجم ۰,۱۲۹۵ کیلوگرم بوده است، در دامنه ای در حدود ۱۵٪ و +۱۵٪ - توسط برنامه matlab مجموعه ای از اعداد تصادفی در محدوده مذکور به عنوان جرم ساختمان تولید می شود. در این صورت ترکیب جرم طبقات در هر یک از حالتها در نظر گرفته شده (case1 الی case30) کاملا تصادفی بوده و هر یک از طبقات ممکن است دارای کاهش یا افزایش نسبت به جرم مبنا باشند. در یکبار اجرای برنامه فوق اعداد تصادفی برای جرم

طبقات در حالت های مختلف تولید گردید. بر اساس جرم‌های تولید شده مطابق جدول ۱-۵ حالت های مختلف تحلیل تعريف می شود.

جدول ۱-۵: جرم‌های تصادفی تولید شده در حالت های مختلف

نام حالت تحلیل	جرم طبقه ۱ (kg)	جرم طبقه ۲ (kg)	جرم طبقه ۳ (kg)	جرم طبقه ۴ (kg)	جرم طبقه ۵ (kg)
case1	0.284	0.275	0.278	0.278	0.114
case2	0.2907	0.2227	0.24	0.2244	0.1475
case3	0.2301	0.2417	0.2596	0.2615	0.1101
case4	0.2913	0.2238	0.2746	0.2808	0.1402
case5	0.269	0.227	0.289	0.293	0.142
case6	0.227	0.284	0.295	0.230	0.143
case7	0.242	0.274	0.263	0.264	0.113
case8	0.262	0.244	0.231	0.256	0.125
case9	0.295	0.294	0.232	0.221	0.120
case10	0.295	0.222	0.240	0.246	0.141
case11	0.232	0.254	0.285	0.232	0.126
case12	0.296	0.249	0.240	0.282	0.145
case13	0.295	0.279	0.284	0.244	0.117
case14	0.258	0.282	0.239	0.261	0.120
case15	0.282	0.235	0.292	0.233	0.115
case16	0.231	0.258	0.247	0.267	0.115
case17	0.253	0.254	0.235	0.240	0.143
case18	0.291	0.270	0.239	0.271	0.132
case19	0.281	0.275	0.268	0.272	0.131
case20	0.295	0.278	0.257	0.278	0.115
case21	0.271	0.242	0.248	0.255	0.143
case22	0.222	0.273	0.285	0.227	0.134
case23	0.286	0.271	0.266	0.238	0.124
case24	0.292	0.233	0.263	0.291	0.130
case25	0.273	0.229	0.292	0.232	0.125
case26	0.279	0.259	0.242	0.284	0.113
case27	0.278	0.295	0.279	0.262	0.119
case28	0.251	0.247	0.279	0.298	0.115
case29	0.271	0.265	0.249	0.226	0.117
case30	0.233	0.238	0.264	0.255	0.119

جدول ۲-۵ نتایج حاصل از روش پیشنهادی با استفاده از یک حسگر و یک عملگر در حالت‌های مختلف جرم‌های تصادفی در بازه ۱۵ درصدی نسبت به جرم‌های مبنا را نشان میدهد. بر اساس نتایج دریافتی، تغییرات افزایشی و کاهشی جرم طبقات در بازه ۱۵ درصدی، باعث افزایش تغییرمکان تا

۱۴,۶ درصد و کاهش تا ۱۰ درصد برای طبقه چهارم و افزایش تغییر مکان تا ۱۸ درصد و کاهش تا

۱۴ درصد برای طبقه پنجم می‌گردد.

جدول ۵-۲: بررسی تأثیر عدم قطعیت جرم طبقات در تغییر مکان طبقات چهارم و پنجم

نام حالت تحلیل	تغییر مکان حداقل طبقه ۴ (cm)	تغییر مکان حداقل طبقه ۵ (cm)	تغییر مکان حداقل طبقه ۵ (cm)
تحلیل (بدون سامانه کنترل)	۳/۹۱۲	۳/۹۲۹	
تحلیل با ۱ عملگر و ۱ حسگر و جرم‌های اولیه	۱/۳۰۵	۱/۳۰۱	
case1	۱/۳۹	۱/۳۸	
case2	۱/۵۴۴	۱/۴۹۱	
case3	۱/۲۶۶	۱/۲۷۶	
case4	۱/۲۵۱	۱/۲۴۹	
case5	۱/۱۹۲	۱/۲۱۶	
case6	۱/۳۸۳	۱/۳۶۰	
case7	۱/۲۴۸	۱/۲۶۹	
case8	۱/۳۳۲	۱/۳۲۱	
case9	۱/۴۶۷	۱/۴۵۵	
case10	۱/۴۲۷	۱/۳۸۴	
case11	۱/۳۹۶	۱/۳۸۶	
case12	۱/۲۸۰	۱/۲۶۱	
case13	۱/۳۳۴	۱/۳۲۸	
case14	۱/۲۸۰	۱/۲۹۶	
case15	۱/۳۶۳	۱/۳۳۹	
case16	۱/۲۴۵	۱/۲۷۱	
case17	۱/۴۴۶	۱/۴۰۸	
case18	۱/۲۷۹۶	۱/۲۸۰	
case19	۱/۲۴۶	۱/۲۶۰	
case20	۱/۲۰۲	۱/۲۲۸	

۱/۳۷۷	۱/۳۴۳	case21
۱/۴۱۱	۱/۳۹۳	case22
۱/۳۸۹	۱/۳۷۴	case23
۱/۱۹۲	۱/۲۱۳	case24
۱/۳۸۷	۱/۳۶۴	case25
۱/۱۷۹	۱/۲۱۴	case26
۱/۲۵۷	۱/۲۷۵	case27
۱/۱۲۲	۱/۱۷۰	case28
۱/۴۴۰	۱/۴۲۹	case29
۱/۳۱۰۱	۱/۳۱۰۳	case30

۴-۵ ارزیابی حساسیت

در این بخش حساسیت روش پیشنهادی به از کار افتادگی یک یا تعدادی از عملگرها سنجیده می شود. برای این کار ساختمان برشی ۵ طبقه قبلی در نظر گرفته شده و حالتهای مختلف ارزیابی به صورت جدول ۳-۵ نام گذاری می گردد.

جدول ۳-۵: علائم اختصاری در بررسی اثر از کار افتادگی عملگرها

مشخصه های سامانه کنترل	حالت
بدون سیستم کنترل	Control off
دارای یک عملگر و یک حسگر	A ₅ -S ₄
دارای سه عملگر و سه حسگر	A _{5,2,3} -S _{4,3,5}
دارای سه عملگر(یکی معیوب) و سه حسگر	A _{5,2,3} [*] -S _{4,3,5}
دارای سه عملگر(دو تا معیوب) و سه حسگر	A _{5,2,3} ^{**} -S _{4,3,5}

در ادامه میزان مقادیر تغییرمکان حداکثر طبقه ۴ و ۵ در حالتهای مختلف کنترل (بدون کنترل، بدون از کار افتادگی عملگرها و با از کار افتادگی عملگرها) بررسی و مقایسه می گردد.

جدول ۴-۵: تغییر مکان حداکثر طبقه ۴ و ۵ در حالت‌های مختلف کنترل

حالت	تغییر مکان طبقه ۴ (cm)	تغییر مکان طبقه ۵ (cm)
Control off	۳,۹	۳,۹
A_5-S_4	۱,۳۰۵	۱,۳۰۱
$A_{5,2,3}-S_{4,3,5}$	۰,۹۸	۰,۷۶
$A_{5,2,3}-S_{4,3,5}^*$	۱,۹	۱,۵۵
$A_{5,2,3}-S_{4,3,5}^{**}$	۱,۵	۰,۹۹
$A_{5,2,3}-S_{4,3,5}^{***}$	۱,۲۳	۱,۳۲

۵-۵ بررسی پایداری در روش پیشنهادی

در مورد احتمال ناپایداری سیستم می‌توان گفت نیروهای عملگرها مانند بار دینامیکی هستند که سبب غیر خطی شدن معادله نوسان می‌شود. در نتیجه تنها اثر نیروهای کنترلی، غیر خطی کردن معادله نوسان است. باید دانست برای حل این نوسان غیر خطی از روش عددی نیومارک استفاده شده است. در شیوه‌های عددی پایداری توسط الگوریتم حل در محاسبات لحاظ شده است. به عبارت دیگر پایداری روش پیشنهادی تنها به پایداری روش عددی نیومارک وابسته است. پایداری روش نیومارک در مسائل خطی صحت سنجی شده است و در مسائل غیر خطی با کوچک کردن گام زمانی می‌توان پایداری را تضمین نمود. در ارزیابی این روش طی مثالهای اجرا شده گام زمانی بسیار کوچک در نظر گرفته شده است.

فصل ششم

جمع بندی و نتیجه گیری

فصل ششم: جمع بندی و نتیجه گیری

۱-۶ جمع بندی

روشهای مختلف کنترل فعال سازه ها تا کنون عمدتاً بر اساس مبانی کنترلی و روابط پیچیده ریاضی استوار بوده و این موضوع باعث گردیده استفاده از آنها در سازه های ساختمانی و قابی توسط متخصصین عمران و سازه با دشواری همراه باشد. روش پیشنهادی جدید بر پایه اصول مهندسی دینامیک سازه ها بنا گردیده است. ضمن آنکه سادگی پروسه از دیگر مزایای این روش می باشد. در روش پیشنهادی عملگرها به عنوان میراگر اضافی در سازه در نظر گرفته می شوند. در این روش جهت تعیین نیروی بهینه عملگرها با توجه به اینکه مطابق اصول دینامیک سازه ها، یک سازه در زمان قرارگیری در حالت میرایی بحرانی در کوتاه ترین زمان دچار میرایی نوسانات خواهد شد، میرایی های مود اول که دارای اهمیت بیشتری هستند برابر میرایی بحرانی قرار می گیرد. همچنین در این رساله روش نوینی جهت یافتن موقعیت مناسب عملگرها و حسگرها پیشنهاد گردیده است. این روش بر پایه روابط و اصول اولیه دینامیک سازه ها می باشد.

جهت تعیین موقعیت مناسب حسگرها در روش پیشنهادی از رابطه سرعت مودی بهره گیری شده است. مطابق این رابطه سرعت هر مود بستگی به سرعت تمام درجات آزادی دارد که ضریب این تناسب وارون ماتریس شکل مود می باشد. لذا با علم به این موضوع و همچنین اهمیت مود اول، موقعیتهای متناظر با درجات آزادی که بیشترین مقدار را در ردیف اول وارون ماتریس شکل دارند به عنوان موقعیتهای مناسبتر برای نصب حسگرها پیشنهاد می گردند. بدیهی است هرچه تعداد بیشتری حسگر در سازه لحاظ گردد، مقدار سرعتهای مودی محاسبه شده دقیق تر خواهد بود.

ضمن آنکه در این رساله موقعیت مناسب عملگرها در سازه با توجه به اهمیت مودهای اول در ارتعاش سازه و نیز اثر مولفه ها با بیشترین مقادیر بردار شکل نوسان در مودهای اول، در درجات متناظر با بیشترین مقادیر بردارهای مودهای اول ماتریس شکل نوسان در نظر گرفته می شود.

۶- نتیجه گیری

روش پیشنهادی در سازه های قابی تحت بارهای مختلف همانند بارهای انفجاری ، بار زلزله و بار هارمونیک ارزیابی گردیده و مقادیر تغییر مکان حداکثر طبقات در حالت های مختلف کنترل (بدون سیستم کنترل و گزینه های مختلف تعداد و موقعیت حسگرها و عملگرها مطابق روش پیشنهادی) محاسبه گردیده است. نتایج حاصله نشان دهنده کاهش مقادیر تغییر مکان طبقات در روش پیشنهادی دارند. بطوری که در حالت استفاده از سه حسگر و سه عملگر در ساختمان برشی ۵ طبقه تحت بار هارمونیک تغییر مکانهای طبقات فوقانی تا ۸۰ درصد کاهش می یابد. درصد مذکور در زمان اعمال بارهای انفجاری معادل حدود ۵۰ درصد کاهش در تغییر مکان طی استفاده از فرایند پیشنهادی با سه عملگر و سه حسگر بود. ضمن آنکه علاوه بر تغییر مکان طبقات ، میزان انرژی جنبشی سازه و همچنین مجموع تغییر مکانهای نسبی طبقات نیز در حالت استفاده از الگوریتم کنترل پیشنهادی کاهش چشمگیری خواهد داشت.

در خصوص بار زلزله نیز با توجه به اهمیت بارهای لرزه ای، نحوه عملکرد روش پیشنهادی در سازه برشی قبلی تحت تاثیر زلزله سنترو بررسی گردید. براین اساس ، در حالت استفاده از سه عملگر و سه حسگر بیشینه تغییر مکان طبقه های بالایی تا ۷۴ درصد کاهش می یابد. همچنین با توجه به غیر قطعی بودن پارامترهایی همانند جرم در محاسبات دینامیکی ، اثر عدم قطعیت نیز در پروسه پیشنهادی بررسی شد و تاثیر آن در تغییر جایگاهی حداکثر طبقات مطالعه گردید. بر این اساس، تغییرات افزایشی و کاهشی جرم طبقات در حدود ۱۵ درصد، باعث افزایش تغییر مکان تا ۱۸ درصد و کاهش تا ۱۴ درصد برای طبقه بالایی سازه می گردد.

ضمن آنکه در این رساله جهت ارزیابی روش پیشنهادی ، نتایج حاصل از روش با روش LQR مقایسه گردیده است. مقایسه مذکور نشان دهنده آن است که نتایج روش پیشنهادی در حالت استفاده از یک عملگر و یک حسگر مشابه روش LQR می باشد. در زمان بهره گیری از یک عملگر و یک حسگر در الگوریتم پیشنهادی مقادیر تغییرمکان و شتاب طبقه پنجم به ترتیب ۴۹ و ۳۵ درصد نسبت به حالت بدون کنترل کاهش یافته ، در حالی که در روش LQR مقادیر مذکور نسبت به حالت بدون کنترل به ترتیب ۵۱ و ۴۰ درصد کاسته خواهند شد. همچنین با استفاده از الگوریتم پیشنهادی و استفاده از سه حسگر و سه عملگر در آن ، تغییر مکان حداقل طبقه پنجم ۷۴ درصد کاهش را نسبت به حالت بدون کنترل خواهد داشت. مقدار نیروی مورد نیاز نیز برای عملگر در حالت استفاده از الگوریتم پیشنهادی با سه عملگر و سه حسگر حدود ۵۰ درصد نیروی مورد نیاز در حالت استفاده از LQR است.

همانگونه که قبلاً نیز بیان شد، نتایج بدست آمده از بکارگیری روش پیشنهادی در محدوده فرضیات این تحقیق حاصل گردیده است.

۶-۳-پیشنهادات جهت ادامه مطالعه

جهت ادامه مطالعه در خصوص روش نوین پیشنهادی، می توان نسبت به بررسی روش پیشنهادی به عنوان یک الگوریتم ساده در کنترل فعال در سایر سازه ها همانند سازه پلها اقدام نمود.ضمن آنکه در نظر گرفتن اثر تاخیر زمانی و اعمال آن در پروسه پیشنهادی می توانند توسط سایر محققین مطالعه گردد.همچنین بررسی راهکارهای عملی جهت اجرائی نمودن پروسه الگوریتم پیشنهادی منجر به کاربردی نمودن پیشنهاد خواهد گردید .

پیوست ها

پیوست ها:

پیوست شماره یک: مبانی دینامیک سازه ها

پیوست شماره دو: شتاب نگاشت زلزله السنترو

پیوست شماره سه: روش‌های تحلیل دینامیکی غیر خطی

پیوست ۱: مبانی دینامیک سازه ها

مبانی دینامیک سازه ها که در روش پیشنهادی مورد استفاده قرار می گیرد به ترتیب زیر تقسیم بندی می گردد.

پ ۱-۱: معادلات تعادل سازه چند درجه آزادی

در یک دستگاه چند درجه آزادی نیروی وارد بر هر جرم m_j در هر لحظه از رابطه زیر بدست می آید.

$$m_j \ddot{v}_j + f_{Dj} + f_{sj} = P_j(t) \quad \text{پ ۱-۱}$$

در این رابطه \ddot{v}_j مشتق دوم تغییر مکان (شتاب) در طبقه j ام و f_{sj} و f_{Dj} به ترتیب نیروی میرایی و نیروی سختی در درجه آزادی j ام و $P_j(t)$ نیروی خارجی وارد شده به سیستم در درجه آزادی j ام می باشند.

با تعریف نیروهای سختی و میرایی بر حسب تغییر مکان ، رابطه فوق بصورت زیر نوشته می شود:

$$m_j \ddot{v}_j + (c_{j1} \dot{v}_1 + c_{j2} \dot{v}_2 + c_{j3} \dot{v}_3 + \dots) + (k_{j1} v_1 + k_{j2} v_2 + k_{j3} v_3 + \dots) = P_j(t) \quad \text{پ ۱-۲}$$

بدین ترتیب برای کلیه جرمها می‌توان معادلات مشابه ای بصورت زیر نوشت:

$$m_1 \ddot{v}_1 + (c_{11} \dot{v}_1 + c_{12} \dot{v}_2 + c_{13} \dot{v}_3 + \dots) + (k_{11}v_1 + k_{12}v_2 + k_{13}v_3 + \dots) = P_1(t) \quad ۳-۱$$

$$m_2 \ddot{v}_2 + (c_{21} \dot{v}_1 + c_{22} \dot{v}_2 + c_{23} \dot{v}_3 + \dots) + (k_{21}v_1 + k_{22}v_2 + k_{23}v_3 + \dots) = P_2(t) \quad ۴-۱$$

در حالت ارتعاش آزاد دستگاه نامیرا داریم:

$$\ddot{M}\bar{v} + K\bar{v} = 0 \quad ۵-۱$$

اگر فرض شود بتوان تابع $v(x,t)$ را به شکل زیر نشان داد داریم:

$$v(x,t) = \varphi(x)f(t) \quad ۶-۱$$

$$v(x,t) = \varphi(x)Z \sin \omega t \quad ۷-۱$$

و لذا داریم:

$$\bar{v}(t) = \bar{\varphi} Z \sin \omega t \quad ۸-۱$$

با جایگزینی در روابط قبلی خواهیم داشت:

$$-\omega^2 M \bar{\varphi} \sin \omega t + k \bar{\varphi} \sin \omega t = 0$$

پ ۹-۱

برای بدست آوردن جواب غیر صفر باید دترمینال ضرایب معادلات صفر باشد. یعنی:

$$|k - \omega^2 M| = 0$$

پ ۱۰-۱

این معادله دارای n جواب برای ω است که نظیر مدهای n گانه است.

$$(\omega_1, \varphi_1), (\omega_2, \varphi_2), \dots$$

پ ۱-۲: خاصیت تعامد مدهای ارتعاش

از معادله قبلی n جواب برای ω بدست می آید. برای هر یک از این جوابها داریم:

$$[\bar{k} - \omega_i^2 \bar{M}] = 0$$

پ ۱۱-۱

و یا :

$$\omega_i^2 \bar{M} \bar{\varphi}_i = k_i \bar{\varphi}_i$$

پ ۱۲-۱

با ضرب یک عامل مشترک در طرفین رابطه، معادله فوق را می توان بصورت زیر نوشت:

$$\omega_i^2 \bar{\varphi}_j^T \bar{M} \bar{\varphi}_i = \bar{\varphi}_j^T \bar{k} \bar{\varphi}_i$$

پ ۱۳-۱

و به طور مشابه:

$$\omega_j^2 \bar{\varphi}_i^T \bar{M} \bar{\varphi}_j = \bar{\varphi}_i^T \bar{k} \bar{\varphi}_j \quad 14-پ$$

می دانیم که:

$$(\bar{A} \bar{B})^T = \bar{B}^T \bar{A}^T \quad 15-پ$$

$$[\omega_j^2 \varphi_i^T \bar{M} \varphi_j]^T = [\varphi_i^T k \varphi_j]^T \quad 16-پ$$

$$\therefore \omega_j^2 \varphi_j^T \bar{M}^T \varphi_i = \varphi_j^T \bar{k}^T \varphi_i \quad 17-پ$$

بدلیل تقارن:

$$k^T = k, M^T = M \quad 18-پ$$

$$\therefore \omega_j^2 \varphi_j^T M \varphi_i = \varphi_j^T k \varphi_i \quad 19-پ$$

پ ۱-۳: انواع مختلف میرایی:

معادله ارتعاش دستگاه یک درجه آزادی در حالتی که نیروی خارجی برابر صفر است بصورت زیر می

باشد:

$$m\ddot{x} + c\dot{x} + kx = 0 \quad 20-پ$$

پاسخ کلی این معادله دیفرانسیل بصورت زیر است:

$$x = A e^{rt}$$

۲۱-۱ پ

$$(mr^2 + cr + k)e^{rt} = 0$$

۲۲-۱ پ

$$(mr^2 + cr + k) = 0$$

۲۳-۱ پ

در حالت نامیرا ($c=0$) داریم:

$$r = \pm i \sqrt{\frac{k}{m}}$$

۲۴-۱ پ

$$\omega = \sqrt{\frac{k}{m}}$$

۲۵-۱ پ

می دانیم:

$$e^{i\theta} = i \sin \theta + \cos \theta$$

۲۶-۱ پ

و لذا داریم:

$$x_1 = \cos \omega t + i \sin \omega t$$

۲۷-۱ پ

$$x_2 = \cos \omega t - i \sin \omega t$$

۲۸-۱ پ

هر ترکیب خطی از x_1 و x_2 نیز جواب معادله خواهد بود:

$$x'_1 = \frac{1}{2}(x_1 + x_2) = \cos \omega t \quad ۲۹-۱$$

$$x'_2 = \frac{1}{2}(-ix_1 + ix_2) = \sin \omega t \quad ۳۰-۱$$

پس هر ترکیب خطی از دو پاسخ بالا هم جواب معادله خواهد بود.

$$x = a \sin \omega t + b \cos \omega t \quad ۳۱-۱$$

این رابطه را می‌توان بصورت زیر نوشت:

$$x = A \cos(\omega t - \varphi) \quad ۳۲-۱$$

در ادامه پارامترهای رابطه بالا از شرایط حدی بدست می‌آید.

$$x(t=0) = x_0, \dot{x}(t=0) = v \quad ۳۳-۱$$

با در نظر گرفتن مقادیر اولیه سرعت و تغییر مکان ضرایب ثابت بصورت زیر بدست می‌آیند.

$$b = x_0, \quad a = \frac{v}{\omega} \quad ۳۴-۱$$

با جایگذاری ضرایب بالا در معادله قبلی داریم:

$$x = \frac{v}{\omega} \sin \omega t + x_0 \cos \omega t \quad ۳۵-۱$$

با ترکیب روابط قبلی داریم :

$$asinx + bcosx = A\cos(x-\varphi)$$

پ ۱-۳۶

رابطه بالا را می توان بصورت زیر نوشت:

$$asinx + bcosx = A[\cos x \cos \varphi + \sin x \sin \varphi]$$

پ ۱-۳۷

با توجه به رابطه بالا می توان گفت:

$$b = A\cos \varphi, a = A\sin \varphi$$

پ ۱-۳۸

$$A = [a^2 + b^2]^{1/2}, \tan \varphi = \frac{a}{b}$$

پ ۱-۳۹

و لذا خواهیم داشت:

$$x = \sqrt{x_0^2 + \left(\frac{v}{w}\right)^2} \cos(\omega t - \varphi) \quad , \quad \varphi = \tan^{-1} \frac{v}{\omega x_0}$$

پ ۱-۴۰

چنانچه برای یک دستگاه نیروی اصطکاک درونی قائل شویم که با سرعت متناسب است (میرایی لزج)

آنگاه داریم:

$$mr^2 + cr + k = 0$$

پ ۱-۴۱

$$\Delta = (c^2 - 4m.k)^{0.5}$$

نوع حرکت بستگی دارد که Δ حقیقی باشد یا موهومی. اگر موهومی باشد:

$$r = (-c/2m) + i(-(-c/2m)^2 + k/m)^{0.5} \quad ٤٢-١$$

$$D = (k/m + (-c/2m)^2)0.5\omega$$

و لذا مقادیر x_1 و x_2 بصورت زیر بدست می آیند:

$$x_1 := e^{\frac{-c}{2m}t} e^{i\omega_D t} \quad ٤٣-١$$

$$x_2 := e^{\frac{-c}{2m}t} e^{-i\omega_D t} \quad ٤٤-١$$

در حالت میرایی بحرانی داریم:

$$\Delta = 0 \quad ٤٥-١$$

$$C_c^2 - 4mk = 0 \quad ٤٦-١$$

و در نتیجه مقدار C_c بصورت زیر بدست می آید:

$$C_c = 2(m.k)^{0.5} \quad ٤٧-١$$

$$C_c = 2\omega_0 m \quad ٤٨-١$$

اگر میرایی را بصورت درصدی از میرایی بحرانی در نظر بگیریم داریم:

$$C = \zeta C_c \quad ٤٩-١$$

$$C = 2\zeta\omega_0 m$$

پا ۱-۵۰

با استفاده از رابطه تعادل دینامیکی داریم :

$$\ddot{x} + \frac{c}{m}\dot{x} + \frac{k}{m}x = 0$$

پا ۱-۵۱

از طرفی از روابط قبلی داریم :

$$\frac{c}{m} = 2\zeta\omega_0 \quad , \quad \frac{k}{m} = \omega_0$$

پا ۱-۵۲

و لذا معادله زیر برقرار خواهد بود:

$$\ddot{x} + 2\zeta\omega_0\dot{x} + \omega_0^2x = 0$$

پا ۱-۵۳

اگر ζ کمتر از یک باشد، داریم :

$$r^2 + 2\zeta\omega_0 r + (\omega_0)^2 := 0$$

پا ۱-۵۴

$$r := -\zeta \cdot \omega_0 + -\sqrt{(\zeta \cdot \omega_0)^2 - (\omega_0)^2}$$

پا ۱-۵۵

if $\zeta < 1$

$$r := -\zeta \cdot \omega_0 + -i \cdot \omega_0 \sqrt{1 - \zeta^2}$$

پا ۱-۵۶

$$\omega_D := \omega_0 \cdot \sqrt{1 - \zeta^2}$$

پا ۱-۵۷

$$r := -\zeta \cdot \omega_0 + -i \cdot \omega_D$$

پا ۱-۵۸

$$x := e^{-\zeta \omega_0 t} (A \cdot \sin \omega_D t + B \cdot \cos \omega_D t) \quad \text{پا-۵۹}$$

$$x(0) := x_0 \quad B := x_0$$

$$v(0) := v_0 \quad (-\zeta \cdot \omega_0)B + A\omega_D := v_0$$

$$A := \frac{v_0 + \zeta \cdot \omega_0 x_0}{\omega_D}$$

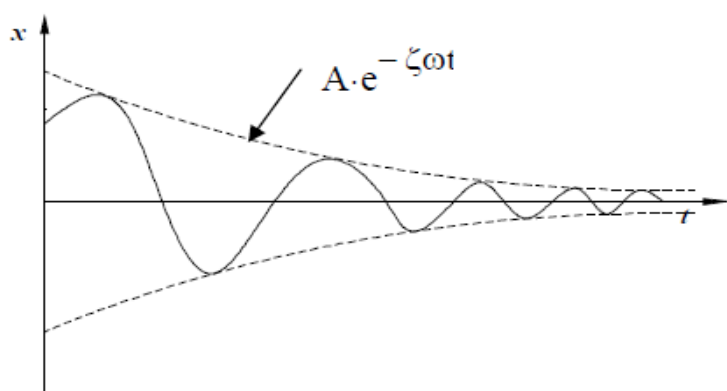
$$x := e^{-\zeta \omega_0 t} \left(\frac{v_0 + \zeta \cdot \omega_0 x_0}{\omega_D} \cdot \sin \omega_D t + x_0 \cdot \cos \omega_D t \right)$$

در نتیجه با استفاده از قضیه مثلثاتی داریم:

$$x := (e^{-\zeta \omega_0 t}) A \cos(\omega_D t - \Phi) \quad \text{پا-۶۰}$$

$$x := e^{-\zeta \omega_0 t} A \cdot \cos(\omega_D t - \Phi) \quad \text{پا-۶۱}$$

$$A := \left[(x_0)^2 + \left(\frac{v_0 + \zeta \cdot \omega_0 x_0}{\omega_D} \right)^2 \right]^{\frac{1}{2}} \quad \tan \Phi := \frac{v_0 + \zeta \cdot \omega_0 x_0}{\omega_D \cdot x_0} \quad \text{پا-۶۲}$$



شکل ۱: منحنی تغییرات تغییر مکان-زمان (میرایی زیر بحرانی)

همانگونه که ملاحظه می شود هنگامی که ζ کمتر از یک می باشد، حالت ارتعاش نوسانی با دامنه میرا شونده است. بطوریکه دامنه ارتعاش برابر است با:

$$a := A \cdot e^{-\zeta \omega t} \quad \text{پ ۱-۶۳}$$

در عمل میرایی سازه هابسیار کمتر از میرایی بحرانی است. برای سازه های فولادی این نسبت حدود یک درصد می باشد. در این صورت فرکانس های میرا و نامیرا تقریباً برابر هستند:

$$\omega_D = \omega_0 \sqrt{1 - \zeta^2} \quad \text{پ ۱-۶۴}$$

اگر ζ بزرگتر از یک باشد در این صورت معادله حرکت هذلولی است و نوسانی نمی باشد.

اگر ζ برابر یک باشد در این حالت :

$$r^2 + 2\zeta \omega r + \omega^2 := 0 \quad \text{پ ۱-۶۵}$$

$$\zeta := 1 \quad r_1 := r_2$$

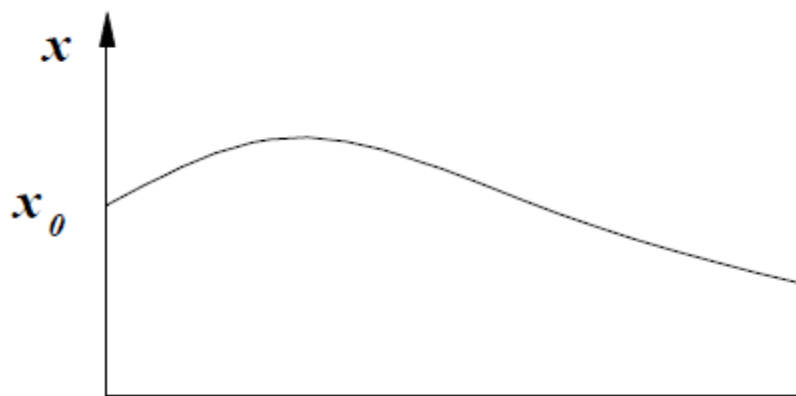
$$r_1 := -\omega_0 \quad x := e^{-\omega t}(A + Bt)$$

$$x(0) := x_0 \quad A := x_0$$

$$v(0) := v_0 \quad -Av + B := v_0 \quad B := v_0 + \omega_0 x_0$$

$$x := e^{-\omega t} [x_0 + (v_0 + \omega_0 x_0)t]$$

در این حالت حرکت نوسانی نبوده و فقط یک بار به اوج می رسد و میرا می شود.



شکل ۲: منحنی تغییرات تغییر مکان-زمان (حالت میرایی بحرانی)

در حالت بیش میرا (یعنی بزرگتر از یک) داریم:

$$r := -\zeta \cdot \omega_0 + -\left(\omega_0 \cdot \sqrt{1 - \zeta^2}\right) \quad ۱-۶۴$$

$$\bar{\omega} := \omega \cdot \sqrt{\zeta^2 - 1} \quad ۱-۶۷$$

$$x := e^{-\zeta \omega t} (A \cdot \sinh \omega t + B \cdot \cosh \omega t) \quad ۱-۶۸$$

در این حالت هم ارتعاش نوسانی نمی باشد.

پ ۱-۴: پاسخ دستگاه نامیرا به بار هارمونیک:

معادله حرکت دستگاه تحت بار هارمونیک بصورت زیر است:

$$m\ddot{x} + c\dot{x} + kx = P_0 \sin \bar{\omega}t \quad ۶۱-۱$$

$$\ddot{x} + 2\zeta\omega \dot{x} + \omega^2 x = (P_0/m) \sin \bar{\omega}t \quad ۶۹-۱$$

$$x_h = e^{-\zeta\omega t} (A \sin \omega_D t + B \cos \omega_D t) \quad ۷۰-۱$$

$$x_p = G_1 \sin \bar{\omega}t + G_2 \cos \bar{\omega}t \quad ۷۱-۱$$

در نتیجه داریم:

$$\begin{aligned} \therefore [-G_1 \bar{\omega}^2 - G_2 \bar{\omega}(2\xi\omega) + G_1 \omega^2] \sin \bar{\omega}t &= \frac{P_0}{m} \sin \bar{\omega}t \\ [-G_2 \bar{\omega}^2 - G_1 \bar{\omega}(2\xi\omega) + G_2 \omega^2] \cos \bar{\omega}t &= 0 \end{aligned} \quad ۷۲-۱$$

از متحدد ساختن ضرایب:

$$G_1 = \frac{P_0}{k} \cdot \frac{1 - \beta^2}{(1 - \beta^2)^2 + (2\xi\beta)^2} \quad 73-1$$

$$G_2 = \frac{P_0}{k} \cdot \frac{-2\xi\beta}{(1 - \beta^2)^2 + (2\xi\beta)^2}$$

$$x = x_h + x_p = e^{-\xi\omega t} (A \sin \omega_D t + B \cos \omega_D t) + \frac{P_0}{k} \cdot \frac{1}{(1 - \beta^2)^2 + (2\xi\beta)^2} [(1 - \beta^2) \sin \varpi t - 2\xi\beta \cos \varpi t] \quad 74-1$$

با نمایش ساده تری می توان نوشت:

$$x = e^{-\xi\omega t} (A \sin \omega_D t + B \cos \omega_D t) + \rho \sin(\varpi t - \varphi) \quad 75-1$$

$$\beta = \frac{\varpi}{\omega}$$

$$\rho = \delta_s H(\varpi) = \frac{P_0}{k} \cdot \frac{1}{\sqrt{(1 - \beta^2)^2 + (2\xi\beta)^2}}$$

$$\varphi = \tan^{-1} \frac{2\xi\beta}{1 - \beta^2}$$

پ-۵: بررسی اثر ضربه مثلثی (اثر انفجار)

در حالت اعمال اثر بار ضربه ای مثلثی (اثر انفجار) نیروی اعمالی بصورت زیر تابعی از زمان در نظر

گرفته می شود. داریم :

$$P(t) = at + b \quad 76-1$$

$$m\ddot{X} + KX = at + b \quad 77-1$$

$$Xp = at + \beta \quad 78-1$$

$$k(at + \beta) = at + b \quad 79-1$$

$$X_p = (I/K)(at+b) \quad ۱۰-پ$$

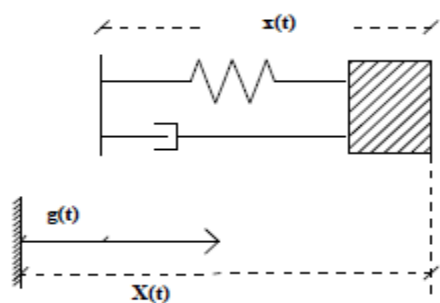
$$X_h = A \sin \omega t + B \cos \omega t \quad ۱۱-پ$$

$$X(t) = X_h + X_p \quad ۱۲-پ$$

با ارضای شرایط اولیه حرکت A و B بدست می آید.

پ ۱-۶: پاسخ دستگاه به حرکت پی:

در این بخش حرکت پی و پاسخ دستگاه به این حرکت بررسی می گردد.



شکل ۳: حرکت پی و پاسخ دستگاه به آن

در پاسخ دستگاه به حرکت پی، تغییر مکان کل، نیروی سختی و نیروی میرایی مطابق رابطه زیر تعریف می شود.

$$X = x + g \quad ۱۳-پ$$

$$f_s = kx \quad ۱۴-پ$$

$$f_D = c\dot{x} \quad ۱۵-پ$$

در این حالت معادله حرکت بصورت زیر خواهد بود.

$$f_s + f_D = m\ddot{x}$$

پ ۱۶-

$$-kx - cx = m(\ddot{x} + \ddot{g}(t))$$

پ ۱۷-

و لذا خواهیم داشت:

$$f_s + f_D = m\ddot{x}$$

پ ۱۸-

$$-c\dot{x} - kx = m(\ddot{x} + \ddot{g}(t))$$

پ ۱۹-

معادله فوق را می توان بصورت زیر ساده نمود.

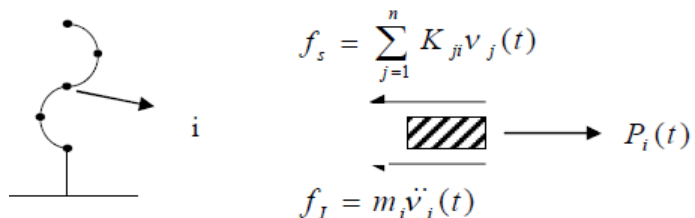
$$m\ddot{x} + c\dot{x} + kx = -m\ddot{g}(t)$$

پ ۹۰-

پ ۱-۷: معادلات حرکت در مختصات مودی

در حالت نامیرا و تحت اثر نیروهای خارجی معادله حرکت بصورت زیر خواهد بود.

$$m_i \ddot{v}_i(t) + \underbrace{\left[K_{1i}v_1(t) + K_{2i}v_2(t) + \cdots + K_{ni}v_n(t) \right]}_{\sum_{j=1}^n K_{ji}v_j(t)} = P_i(t)$$



و نمایش ماتریسی دستگاه معادلات حرکت بصورت زیر است.

$$\bar{M} \cdot \ddot{\bar{v}}(t) + \bar{K}\bar{v}(t) = \bar{P}(t)$$

۹۲-۱ پ

دستگاه معادلات فوق از نوع درگیر است و برای جداسازی اثر جابجایی نقاط مختلف از هم از خاصیت

تعامد مدهای ارتعاشی نسبت به ماتریس جرم و سختی استفاده می کنیم.

$$(\bar{\phi}_i^T \bar{M}) \bar{\Phi} = \left[\bar{\phi}_i^T \bar{M} \bar{\phi}_1 + \bar{\phi}_i^T \bar{M} \bar{\phi}_2 + \dots + \bar{\phi}_i^T \bar{M} \bar{\phi}_i + \dots \right] \quad 93-1$$

$\bar{\phi}_i^T \bar{M} \bar{\phi}_j = 0 \quad i \neq j$

$$\bar{\phi}_i^T \bar{M} \bar{\Phi} = \bar{\phi}_i^T \bar{M} \bar{\phi}_i$$

$$\bar{\phi}_i^T \bar{K} \bar{\Phi} = \bar{\phi}_i^T \bar{K} \bar{\phi}_i = \omega_i^2 \bar{\phi}_i^T \bar{M} \bar{\phi}_i$$

اگر طرفین رابطه نمایش ماتریسی دستگاه معادلات حرکت را در Φ_i^T ضرب کنیم ، با استفاده از دو

رابطه قبلی داریم:

$$\bar{\phi}_i^T \bar{M} \bar{\phi}_i \dot{y}(t) + \omega_i^2 \bar{\phi}_i^T \bar{M} \bar{\phi}_i y_i(t) = \bar{\phi}_i^T \bar{P}(t)$$

۹۴-۱ پ

جرم مود ۱ ام بصورت زیر در نظر گرفته می شود.

$$M_i = \bar{\phi}_i^T \bar{M} \bar{\phi}_i$$

۹۵-۱ پ

همچنین در رابطه زیر $P_i(t)$ نیروی مود ام می باشد.

$$\ddot{y}_i(t) + \omega_i^2 y_i(t) = \frac{1}{M_i} \underbrace{\bar{\phi}_i^T \bar{P}(t)}_{P_i(t)} = \frac{1}{M_i} P_i(t) \quad ٩٦-١$$

رابطه بالا دامنه حرکت مود ام را بر حسب زمان بدست می دهد. با محاسبه $y_i(t)$ داریم:

$$\bar{v}(t) = \bar{\Phi} \cdot \bar{Y}(t) \quad ٩٧-١$$

اگر ماتریس میرایی متناسب با جرم و سختی باشد داریم:

$$\bar{C} = \alpha \bar{M} + \beta \bar{K} \quad ٩٨-١$$

می توان ثابت نمود که مودها نسبت به ماتریس میرایی نیز متعامد هستند. لذا داریم:

$$\bar{\phi}_i^T \bar{C} \bar{\Phi} = \bar{\phi}_i^T \bar{C} \bar{\phi}_i \quad ٩٩-١$$

و طبق تعریف:

$$= (2\xi_i \omega_i) \bar{\phi}_i^T \bar{M} \bar{\phi}_i \quad ١٠٠-١$$

پس معادله حرکت مود ام در حالت با میرایی بصورت زیر خواهد بود:

$$\ddot{y}_i(t) + 2\xi_i \omega_i \dot{y}_i(t) + \omega_i^2 y_i(t) = \frac{P_i(t)}{M_i} \quad ١٠١-١$$

در حالت کلی داریم:

$$\bar{M}\ddot{\bar{v}} + \bar{C}\dot{\bar{v}} + \bar{K}\bar{v} = \bar{P}(t) \quad 10.2-پ$$

بر اساس روابط بیان شده قبلی داریم:

$$\bar{\phi}_i^T \bar{M} \bar{\phi}_j = 0 \quad , \quad \bar{\phi}_i^T \bar{K} \bar{\phi}_j = 0 \quad \text{اگر } i \neq j \quad 10.3-پ$$

همچنین :

$$\bar{\phi}_i^T \bar{M} \bar{\phi}_i = M_i \quad , \quad \bar{\phi}_i^T \bar{K} \bar{\phi}_i = K_i = \omega_i^2 M_i \quad 10.4-پ$$

اکنون اگر فرض شود:

$$\bar{\phi}_i^T \bar{C} \bar{\phi}_j = 0 \quad i \neq j \quad , \quad \bar{\phi}_i^T \bar{C} \bar{\phi}_i = C_i \quad 10.5-پ$$

داریم :

$$\therefore M_i \ddot{y}_i + C_i \dot{y}_i + K_i y_i = P_i(t) \quad , \quad P_i(t) = \bar{\phi}_i^T \bar{P}(t) \quad 10.6-پ$$

پس می توان چنین نوشت:

$$\ddot{y}_i + 2\xi_i \omega_i \dot{y}_i + \omega_i^2 y_i = \frac{1}{M_i} P_i(t) \quad 107-1$$

که در آن

$$\zeta_i = C_i / (2\omega_i M_i) \quad 108-1$$

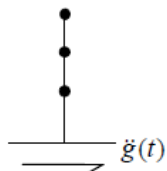
معمولاً دستیابی مستقیم به ماتریس استهلاک امکان پذیر نبوده اما می توان ζ_i را با انجام آزمایش و به ارتعاش در آوردن مودهای مختلف تعیین نمود. پاسخ معادله فوق را می توان با انتگرال دوهامل بدست آورد.

$$y_i(t) = \int_0^t P_i(\tau) \cdot h_i(t-\tau) \cdot d\tau \quad 109-1$$

$$y_i(t) = \int_0^t P_i(\tau) \cdot h_i(t-\tau) \cdot d\tau \quad 110-1$$

$$h_i(t-\tau) = \frac{1}{M_i \omega_{Di}} \sin \omega_{Di} (t-\tau) \cdot e^{-\xi_i \omega_i (t-\tau)} \quad 0 < \xi_i < 1 \quad 111-1$$

در حرکت دستگاه تحت شتاب پی داریم :



$$\bar{P}(t) = -\bar{M} \begin{bmatrix} 1 \\ \dots \\ 1 \end{bmatrix} \ddot{g}(t)$$

پس سمت راست معادله حرکت مود ۱ ام در حالت میرایی بصورت زیر تبدیل خواهد شد.

$$\text{پ} ۱۱۲-$$

$$\frac{1}{M_i} \bar{\phi}_i^T \bar{P}(t) = -\frac{L_i}{M_i} \ddot{g}(t)$$

و در نتیجه معادله مذکور بصورت زیر در می آید.

$$\text{پ} ۱۱۳-$$

$$\ddot{y}_i(t) + 2\xi_i \omega_i \dot{y}_i(t) + \omega_i^2 y_i(t) = -(L_i / M_i) \ddot{g}(t)$$

که در آن

$$\text{پ} ۱۱۴-$$

$$L_i = \sum_{j=1}^n m_j \phi_{ji} \quad , \quad M_i = \sum_{j=1}^n m_j \phi_{ji}^2$$

پ ۸-۱: میرایی رایلی (Rayleigh Damping)

مطابق رابطه رایلی ماتریس میرایی بر حسب ماتریس های جرم و سختی بصورت زیر بیان می شود.

$$\text{پ} ۱۱۵-$$

$$[C] = \alpha[M] + \beta[K]$$

ضرایب α و β مقادیر ثابت می باشند. با استفاده از رابطه بالا داریم :

$$\text{پ} ۱۱۶-$$

$$[\Phi]^T [C] [\Phi] = \alpha [\Phi]^T [M] [\Phi] + \beta [\Phi]^T [K] [\Phi]$$

رابطه فوق را می توان بصورت زیر در نظر گرفت:

$$= \alpha \begin{bmatrix} \mathcal{M}_{ii} \\ \gamma_{ii} \end{bmatrix} + \beta \begin{bmatrix} \mathcal{K}_{ii} \\ \gamma_{ii} \end{bmatrix} = \begin{bmatrix} \gamma_{ii} \\ \gamma_{ii} \end{bmatrix} \quad 117-1$$

در رابطه بالا γ_{ii} ضرایب میرایی مودال می باشد.

معادله حرکت را می توان بصورت زیر نوشت:

$$\begin{bmatrix} \mathcal{M}_{ii} \\ \gamma_{ii} \end{bmatrix} \{\ddot{q}\} + \begin{bmatrix} \gamma_{ii} \\ \gamma_{ii} \end{bmatrix} \{\dot{q}\} + \begin{bmatrix} \mathcal{K}_{ii} \\ \gamma_{ii} \end{bmatrix} \{q\} = \{P\} \quad 118-1$$

و یا :

$$\mathcal{M}_{ii} \ddot{q}_i + \gamma_{ii} \dot{q}_i + \mathcal{K}_{ii} q_i = P_i \Rightarrow \ddot{q}_i + \frac{\gamma_{ii}}{\mathcal{M}_{ii}} \dot{q}_i + \frac{\mathcal{K}_{ii}}{\mathcal{M}_{ii}} q_i = \frac{P_i}{\mathcal{M}_{ii}} \quad 119-1$$

با در نظر گرفتن فاکتور میرایی مودال داریم:

$$\frac{\mathcal{K}_{ii}}{\mathcal{M}_{ii}} = \omega_i^2 \quad \frac{\gamma_{ii}}{\mathcal{M}_{ii}} = 2\xi_i \omega_i \quad \xi_i = \text{modal damping factor} \quad 120-1$$

$$\ddot{q}_i + 2\xi_i \omega_i \dot{q}_i + \omega_i^2 q_i = f_i \quad 121-1$$

همچنین داریم:

$$\begin{aligned} \frac{\gamma_{ii}}{\mathcal{M}_{ii}} &= 2\zeta_i \omega_i \\ &= \frac{1}{\mathcal{M}_{ii}} (\alpha \mathcal{M}_{ii} + \beta \mathcal{R}_{ii}) \\ &= \alpha + \beta \omega_i^2 \end{aligned} \quad ۱۲۲-۱$$

لذا داریم:

$$\begin{aligned} \xi_i &= \frac{1}{2\omega_i} (\alpha + \beta \omega_i^2) \quad ۱۲۳-۱ \\ \xi_i &= \frac{1}{2} \left(\frac{\alpha}{\omega_i} + \beta \omega_i \right) \end{aligned}$$

برای دو مود اول داریم :

$$\begin{aligned} \xi_1 &= \frac{1}{2} \left(\frac{\alpha}{\omega_1} + \beta \omega_1 \right) \quad ۱۲۴-۱ \\ \xi_2 &= \frac{1}{2} \left(\frac{\alpha}{\omega_2} + \beta \omega_2 \right) \end{aligned}$$

Solve for α and β

$$\begin{aligned} \alpha &= \frac{2\omega_1\omega_2(\xi_2\omega_1 - \xi_1\omega_2)}{\omega_1^2 - \omega_2^2} \quad ۱۲۵-۱ \\ \beta &= \frac{2(\xi_1\omega_1 - \xi_2\omega_2)}{\omega_1^2 - \omega_2^2} \end{aligned}$$

پ ۱-۹ : برنامه های عددی تحلیل دینامیکی

در این بخش برنامه های عددی تحلیل خطی و غیر خطی دینامیکی بیان می شود. سه برنامه چهار برنامه implicit مطابق جدول زیر می باشند:

جدول ۱ : برنامه های explicit و implicit در تحلیل دینامیکی

نوع برنامه	نوع برنامه
central difference	
two-cycle iteration with trapezoidal rule	Explicit
fourth-order Runge-Kutta	
Houbolt	
Wilson-Theta	
Newmark-Beta	Implicit
Park Stiffly stable	

در الگوریتم پیشنهادی از روش نیومارک بهره جسته شده است. لذا در ادامه به بررسی این روش و معادلات بکار رفته در روش عددی تحلیل دینامیکی پرداخته می شود.

پ۱-۱۰: روش عددی نیومارک

روش عددی نیومارک بر این فرض بنا شده است که شتاب بصورت خطی بین دو مقدار از زمان تغییر می کند. پارامترهای α و β در این روش مورد استفاده قرار می گیرند. در این روش بیان سرعت و تغییر مکان بصورت زیر خواهد بود:

$$\dot{X}_{t+\Delta t} = \dot{X}_t + [(1-\alpha)\ddot{X}_t + \alpha\ddot{X}_{t+\Delta t}] \Delta t \quad ۱۲۶-۱$$

$$X_{t+\Delta t} = X_t + \dot{X}_t \Delta t + \left[\left(\frac{1}{2} - \beta \right) \ddot{X}_t + \beta \ddot{X}_{t+\Delta t} \right] \Delta t^2 \quad ۱۲۷-۱$$

ضرایب α و β بیان کننده مقدار شتاب وارد شده در معادله های سرعت و تغییر مکان خواهد بود. الگوریتم نیومارک شامل دو مرحله محاسبات اولیه و محاسبات برای هر گام زمانی می باشد. محاسبات اولیه به شرح زیر است:

الف: محاسبات اولیه

۱- تشکیل ماتریس های سختی، جرم و میرایی

۲- تعیین مقادیر اولیه تغییر مکان، سرعت و شتاب

۳- تعیین گام زمانی و مقادیر α و β و محاسبه ضرایب ثابت از روابط زیر

$$a_0 = \frac{1}{\beta(\Delta t)^2}; \quad a_1 = \frac{\alpha}{\beta \Delta t}; \quad a_2 = \frac{1}{\beta \Delta t}; \quad a_3 = \frac{1}{2\beta} - 1; \quad a_4 = \frac{\alpha}{\beta} - 1; \quad ۱۲۸-۱$$

$$a_5 = \frac{\Delta t}{2} \left(\frac{\alpha}{\beta} - 2 \right); \quad a_6 = \Delta t(1 - \beta); \quad a_7 = \beta \Delta t$$

۴- تشکیل ماتریس سختی موثر

$$[\bar{K}] = [K] + a_0[M] + a_1[C] \quad ۱۲۹-۱$$

۵- تشکیل رابطه زیر

$$[\bar{K}] : [\bar{K}] = [L] [D] [L]^T \quad ۱۳۰-۱$$

ب: محاسبات مربوط به هر گام زمانی بصورت زیر خواهد بود:

۱- محاسبه بردار نیروی موثر در زمان $t + \Delta t$ از رابطه زیر

$$\begin{aligned} \{\bar{F}_{t+\Delta t}\} &= \{F_{t+\Delta t}\} + [M](a_0\{X_t\} + a_2\{\dot{X}_t\} + a_3\{\ddot{X}_t\}) \\ &\quad + [C](a_1\{X_t\} + a_4\{\dot{X}_t\} + a_5\{\ddot{X}_t\}) \end{aligned} \quad ۱۳۱-۱$$

۲- حل معادله برای تغییر مکانها در زمان $t + \Delta t$

$$[\bar{K}] \{X_{t+\Delta t}\} = \{\bar{F}_{t+\Delta t}\} \quad ۱۳۲-۱$$

۳- محاسبه بردارهای سرعت و شتاب از روابط زیر در زمان $t + \Delta t$

$$\begin{aligned} \{\ddot{X}_{t+\Delta t}\} &= a_0(\{X_{t+\Delta t}\} - \{X_t\}) - a_2\{\dot{X}_t\} - a_3\{\ddot{X}_t\} \\ \{\dot{X}_{t+\Delta t}\} &= a_1(\{X_{t+\Delta t}\} - \{X_t\}) - a_4\{\dot{X}_t\} - a_5\{\ddot{X}_t\} \end{aligned} \quad ۱۳۳-۱$$

پیوست شماره ۲ : شتاب نگاشت زلزله السنتر و

زمان	شتاب	زمان	شتاب	زمان	شتاب	زمان	شتاب	زمان	شتاب
0	0.0108	2.652	0.2077	6.013	0.0235	7.794	-0.0603	10.424	0.0133
0.042	0.001	2.708	0.1087	6.085	-0.0665	7.835	-0.0357	10.452	0.0386
0.097	0.0159	2.769	-0.0325	6.132	0.0014	7.877	-0.0716	10.465	0.1164
0.161	-0.0001	2.893	0.1033	6.174	0.0493	7.96	-0.014	10.507	-0.0374
0.221	0.0189	2.976	-0.0803	6.188	0.0149	7.987	-0.0056	10.534	-0.0572
0.263	0.0001	3.068	0.052	6.1881	-0.02	8.001	0.0222	10.645	0.0308
0.291	0.0059	3.129	-0.1547	6.229	-0.0381	8.07	0.0468	10.701	0.0223
0.332	-0.0012	3.212	0.0065	6.279	0.0207	8.126	0.026	10.714	0.0515
0.374	0.02	3.253	-0.206	6.326	-0.0058	8.1261	-0.0335	10.77	0.0903
0.429	-0.0237	3.386	0.1927	6.368	-0.0603	8.195	-0.0128	10.839	-0.0194
0.471	0.0076	3.419	-0.0937	6.382	-0.0162	8.223	0.0661	10.922	0.0471
0.581	0.0425	3.53	0.1708	6.409	0.02	8.278	0.0305	10.9221	-0.0677
0.623	0.0094	3.599	-0.0359	6.459	-0.0176	8.334	0.0246	10.964	-0.0794
0.665	0.0138	3.668	0.0365	6.478	-0.0033	8.403	0.0347	10.991	-0.012
0.72	-0.0088	3.738	-0.0736	6.52	0.0043	8.458	-0.0369	11.074	0.0608
0.7201	-0.0256	3.835	0.0311	6.534	-0.004	8.533	-0.0344	11.088	-0.0269
0.789	-0.0387	3.904	-0.1833	6.562	-0.0099	8.596	-0.0104	11.116	-0.0416
0.7891	-0.0568	4.014	0.0227	6.575	-0.0017	8.638	-0.026	11.207	0.0293
0.872	-0.0232	4.056	-0.0435	6.603	-0.017	8.735	0.1534	11.2071	0.0552
0.8721	-0.0343	4.106	0.0216	6.645	0.0373	8.818	-0.0028	11.227	0.0756
0.941	-0.0402	4.222	-0.1972	6.686	0.0457	8.86	0.0233	11.268	0.0431
0.9411	-0.0603	4.314	-0.1762	6.714	0.0385	8.882	-0.0261	11.324	0.0208
0.997	-0.0789	4.416	0.146	6.728	0.0009	8.915	-0.0022	11.434	0.118
1.066	-0.0666	4.471	-0.0047	6.769	-0.0288	8.956	-0.1849	11.573	-0.0999
1.0661	-0.0381	4.618	0.2572	6.7691	0.0016	9.053	0.126	11.656	-0.1247
1.094	-0.0429	4.665	-0.2045	6.811	0.0113	9.095	0.032	11.725	-0.2094
1.168	0.0897	4.756	0.0608	6.852	0.0022	9.123	0.0955	11.7251	-0.1418
1.315	-0.1696	4.831	-0.2733	6.908	0.0092	9.15	0.1246	11.78	-0.1163
1.384	-0.0828	4.97	0.1779	6.991	-0.0996	9.253	-0.0328	11.808	0
1.412	-0.0828	5.039	0.0301	7.074	0.036	9.289	-0.0451	11.877	0.0762
1.44	-0.0945	5.108	0.2183	7.121	0.0078	9.427	0.1301	11.919	0.057
1.481	-0.0885	5.199	0.0267	7.143	-0.0277	9.441	-0.1657	11.988	0.1354
1.509	-0.108	5.233	0.1252	7.149	0.0026	9.51	0.0419	12.043	0.0673
1.537	-0.128	5.302	0.129	7.171	0.0272	9.635	-0.0936	12.113	0.0865
1.628	0.1144	5.33	0.1089	7.226	0.0576	9.704	0.0816		
1.703	0.2355	5.343	-0.0239	7.295	-0.0492	9.815	-0.0881		
1.8	0.1428	5.454	0.1723	7.37	0.0297	9.898	0.0064		
1.855	0.1777	5.51	-0.1021	7.406	0.0109	9.939	-0.0006		
1.924	-0.261	5.606	0.0141	7.425	0.0186	9.995	0.0586		
2.007	-0.3194	5.69	-0.1949	7.461	-0.0253	10.022	-0.0713		
2.215	0.2952	5.773	-0.0242	7.525	-0.0347	10.05	-0.0448		
2.27	0.2634	5.8	-0.005	7.572	0.0036	10.0501	-0.0221		
2.32	-0.2984	5.809	-0.0275	7.6	-0.0628	10.105	0.0093		
2.395	0.0054	5.869	-0.0573	7.641	-0.028	10.1051	0.0024		

2.45	0.2865	5.883	-0.0327	7.669	-0.0196	10.188	0.051
2.519	-0.0469	5.925	0.0216	7.691	0.0068	10.272	-0.1243
2.575	0.1516	5.98	0.0108	7.752	-0.0054	10.382	0.0587

پیوست شماره ۳: روش‌های تحلیل دینامیکی غیر خطی

جهت تحلیل سیستمهای غیر خطی با استفاده از روش‌های مبتنی بر زمان می‌توان از روش‌های همچون روش تفاضل مرکزی-روش‌های مبتنی بر انتگرال گیری مستقیم(روش‌های ضمنی)-تکرار با فرمولهای صریح(صریح-ضمنی) و رویه حل رانگ کوتا نام برد. مهمترین روش‌های مبتنی بر انتگرال گیری مستقیم عبارتند از روش نیومارک و روش ویلسون. در این تحقیق جهت آنالیز دینامیکی از روش نیومارک استفاده می‌کنند. در روش نیومارک با شتاب متوسط داریم:

$$\gamma=1/2, \beta=1/4$$

۱-۴ پ

ضمن آنکه در روش نیومارک با شتاب خطی داریم:

$$\gamma=1/2, \beta=1/6$$

۲-۴ پ

الگوریتم روش عددی نیومارک مطابق زیر است.

۱- شرایط اولیه:

الف: تعیین تغییر مکان و سرعت اولیه در تمام درجات آزادی (v_0 و u_0)

ب: محاسبه شتاب اولیه از رابطه زیر.

$$\{a_0\} = [M]^{-1}(-[C]\{v_0\} - [K]\{u_0\})$$

۳-۴ پ

ج: انتخاب فاصله زمانی (Δt).

د: محاسبه سختی اصلاح شده.

$$[\hat{K}] = [K] + (\gamma / (\beta \Delta t)) [C] + (1 / (\beta \Delta t^2)) [M] \quad ٤-٤_{\text{پ}}$$

ه: محاسبه ثابت ها

$$A = (1 / (\beta \Delta t)) [M] + (\gamma / \beta) [C] \quad ٥-٤_{\text{پ}}$$

$$B = (1 / (2\beta)) [M] + \Delta t (\gamma / (2\beta) - 1) [C] \quad ٦-٤_{\text{پ}}$$

- ۲- محاسبه در هر گام زمانی .

$$\{\Delta \hat{P}\} = A v_i + B a_i \quad (a)$$

$$\Delta u_i = [\hat{K}]^{-1} \{ \Delta \hat{P} \} \quad (b)$$

$$\Delta v_i = (\gamma / (\beta \Delta t)) \Delta u_i - (\gamma / \beta) v_i + \Delta t (1 - \gamma / (2\beta)) a_i \quad (c)$$

$$\Delta a_i = (1 / (\beta \Delta t^2)) \Delta u_i - (1 / (\beta \Delta t)) v_i - (1 / (2\beta)) a_i \quad (d)$$

$$a_{i+1} = a_i + \Delta a_i \quad \text{و} \quad v_{i+1} = v_i + \Delta v_i \quad \text{و} \quad u_{i+1} = u_i + \Delta u_i \quad (e)$$

۳- نکرار مرحله دو برای گام زمانی بعدی با جایگزینی $i+1$ با i

برای استفاده از پروسه پیشنهاد شده باید پروسه کنترل پیشنهادی با روش‌های آنالیز دینامیکی ترکیب

گردد. در این تحقیق روش نیومارک با شتاب خطی در این خصوص مورد استفاده قرار می‌گیرد.

مراجع:

1. Abdel-Rohman, M. (1985). "Structural Control Considering Time-Delay Effect", **Transactions of Canadian Society of Mechanical Engineering**, Vol. 9, pp. 224-227.
2. Abdel-Rohman, M. (1987). "Time-Delay Effects on Actively Damped Systems", **Journal of Engineering Mechanics**, ASCE, Vol. 113, pp. 1709-1719.
3. Abdel-Rohman, M. and Leipholz, H.H.E. (1978). "Active Control of Flexible Structures", **Journal of Structural Division**, ASCE, Vol. 104, No. ST8, pp. 1251-1266.
4. Abdel-Rohman, M. and Leipholz, H.H.E. (1979). "A General Approach to Active Structural Control", **Journal of Engineering Mechanics**, ASCE, Vol. 105, No. EM6, pp. 1007-1023.
5. Abdel-Rohman, M. and Leipholz, H.H.E. (1983). "Active Control of Tall Buildings", **Journal of Structural Engineering**, ASCE, Vol. 109, pp. 628-645.
6. Abdel-Rohman, M. and Nayfeh, A.H. (1987). "Active Control of Nonlinear Oscillation in Bridges", **Journal of Engineering Mechanics**, ASCE, Vol. 113, No. 3, pp. 335-348.
7. Abdel-Rohman, M., Sebakhy, O.A. and Al-Halabi, M. (1993). "Identification and Control of Flexible Civil Structures with Time-Delays", **Computers and Structures**, Vol. 47, No. 6, pp. 977-986.
8. Adhikari, R. and Yamaguchi, H. (1997). "Sliding Mode Control of Buildings with ATMD", **Earthquake Engineering and Structural Dynamics**, Vol. 26, pp. 409-422.
9. Akbay, Z. and Aktan, H.M. (1991). "Actively Regulated Friction Slip Braces", Proceedings of Sixth Canadian Conference on Earthquake Engineering, Toronto, Canada, pp. 367-374.
10. Akutagawa, S., Otsuki, M., Kitagawa, Y., "Hybrid control system with optimal fuzzy logic and genetic algorithm for high-rise buildings", 13th World Conference on **Earthquake Engineering**, Vancouver, B.C., Canada, 2004
11. Arbel, A., "Controllability measures and actuator placement in oscillatory systems", **International Journal of Control**, Vol. 33, (1981), pp. 565-574.
12. Bailey T, Hubbard J. E. (1985). "Distributed Piezoelectric-Polymer active vibration control of a cantilever beam". Guidant and control, Vol. 8, No.5, pp. 605-611.
13. Bani-Hani, K. and Ghaboussi, J. (1998). "Nonlinear Structural Control Using Neural Networks", **Journal of Engineering Mechanics**, Vol. 124, No. 3, pp. 319-327.
14. Battaini, M., Casciati, F. and Faravelli, L. (1998). "Fuzzy Control of Structural Vibration on Active Mass System Driven by Fuzzy Controller", **Earthquake Engineering and Structural Dynamics**, Vol.27, No. 11, pp. 1267-1276.

15. Chang, J.C.H. and Soong, T.T. (1980). "Structural Control Using Active Tuned Mass Damper", **Journal of Engineering Mechanics**, ASCE, Vol. 106, No. EM6, pp. 1091-1098.
16. Chen, H.M., Tsai, K.H., Qi, G.Z., Yang, J.C.S. and Amini, F. (1995). "Neural Networks for Structure Control", **Journal of Computing in Civil Engineering**, Vol. 9, pp. 168-175.
17. Chung, L.L., Reinhorn, A.M. and Soong, T.T. (1988). "Experiments on Active Control of Seismic Structures", **Journal of Engineering Mechanics**, ASCE, Vol. 114, pp. 241-256.
- ISET Journal of Earthquake Technology, March 2003 15*
18. Chung, L.L., Lin, R.C. and Lu, K.H. (1995). "Time-Delay Control of Structures", **Earthquake Engineering and Structural Dynamics**, Vol. 24, pp. 687-701.
19. Dyke, S.J., Spencer Jr., B.F., Quast, P., Sain, M.K., Kaspari Jr., D.C. and Soong, T.T. (1996a). "Acceleration Feedback Control of MDOF Structures", **Journal of Engineering Mechanics**, ASCE, Vol. 120, No. 2, pp. 266-283.
20. Dyke, S.J., Spencer Jr., B.F., Sain, M.K. and Carlson, J.D. (1996b). "Marketing and Control of Magneto-rheological Dampers for Seismic Response Reduction", **Smart Materials and Structures**, Vol. 5, pp. 565-575.
21. Dyke, S.J., Spencer Jr., B.F., Sain, M.K. and Carlson, J.D. (1997) "An Experimental Study of Magneto-rheological Dampers for Seismic Hazard Mitigation", Proceedings of Structures Congress XV, Portland, Oregon, U.S.A., pp. 58-62.
22. Ehrhart, R.C. and Masri, S.F. (1992). "Modeling the Oscillatory Dynamic Behaviour of Electrorheological Materials in Shear", **Smart Materials and Structures**, Vol. 1, No. 4, pp. 275-285.
23. Ehrhart, R.C. and Masri, S.F. (1993). "Structural Control Applications of an Electro-rheological Device", Proceedings of International Workshop on Structural Control, Honolulu, U.S.A., pp. 115-129.
24. Feng, M.Q. (1993). "Application of Hybrid Sliding Isolation System to Buildings", **Journal of Engineering Mechanics**, Vol. 119, No. 10, pp. 90-108.
25. Furuya, H. e Haftka, R. T., "Locating Actuators for Vibration Suppression on Space Trusses by Genetic Algorithms", **Structures and Control Optimization**, ASME, pp. 1-11, 1993.
26. Gabbert, U., Schultz, I. And Weber, C.T., "Actuator Placement in Smart Structures by Discrete-Continuous Optimization", **ASME Design Eng. Tech. Conferences**, Sept., Sacramento, Ca, USA, 1997.
27. Gao, H., and J.L. Rose, "Ultrasonic Sensor Placement Optimization in Structural Health Monitoring Using Evolutionary Strategy." in proceedings to AIP Conference on Quantitative Nondestructive Evaluation, Vol. 820, pp. 1687-93, March 6, 2006.
28. Gao, H., and J.L. Rose, "Sensor placement optimization in structural health monitoring using genetic and evolutionary algorithms." in proceedings of SPIE Smart Structures and Materials, San Diego, CA, February 26, 2006.
29. Guo, H. Y. Zhang, L. L. and Zhou, J. X., (2004). "Optimal placement of sensors for structural health monitoring using improved genetic algorithms". **Smart Materials and Structure**, Vol. 13, No. 3, pp. 528-534
30. Ghaboussi, J. and Joghataie, A. (1995). "Active Control of Structures Using Neural Networks", **Journal of Engineering Mechanics**, ASCE, Vol. 121, pp. 555-567.
31. Han Jae-Hung, Rew Keun-Ho, Lee In. (1998) "An experimental study of active vibration control of composite structures with a piezo-ceramic actuator and a piezo-film sensor". **Smart Materials and Structures**, Vol. 6, No. 5, pp. 549-558.

- 32.Hwang W S, Park H C and Hwang W, Vibration control of laminated plate with piezoelectric sensors/actuators: Finite element formulation and modal analysis, *Advances in vibration control for intelligent structures*, 1, 45-56, 1994.
33. Hammerstrom, L.G. and Gros, K.S. (1980). "Adoption of Optimal Control Theory to Systems with Time-Delays", **International Journal of Control**, Vol. 32, pp. 302-357.
34. He, W.L., Agarwal, A.K. and Mahmood, K. (2001). "Control of Seismically Excited Cable Stayed Bridges Using Resetting Semiactive Stiffness Dampers", *Jour. Bridge Engineering*, ASCE, Vol. 6,pp. 376-384.
35. Housner, G.W., Bergman, L.A., Caughey, T.K., Chassiakos, A.G., Claus, R.O., Masri, S.F., Skelton,R.E., Soong, T.T., Spencer Jr., B.F. and Yao, J.T.P. (1997). "Structural Control: Past, Present and Future", **Journal of Engineering Mechanics**, ASCE, Vol. 123, No. 9, pp. 897-971.
- 36-2. Jangid, R.S and Datta , T.K. (1995). "Seismic Behavior of Base Isolated Building – A State of the Art Review", *Journal of Structures and Buildings*, Proc. Inst. Civil Engrs. (London), Vol. 110, pp.186-203.
36. J. Alamatian and J. Rezaeepazhand,"A simple approach for determination of actuator and sensor locations in smart structures subjected to the dynamic loads", *IJE Transactions A: Basics*, Vol. 24, No. 4, November 2011,pp341-349
37. J.J. Hollkamp, (1994), Multi Modal Passive Vibration Suppression with Piezoelectric Material and Resonant Shunts, 5, (1), 49-57.
38. Jun-Ping, P. and Deh-Shiu, H. (1988). "Optimal Control of Tall buildings", **Journal of Engineering Mechanics**, ASCE, Vol. 114, pp. 973-989.
- 39 J.T.P. Yao, (1972), Concept of structural control. *ASCE J. Stru. Div.* 98 , pp. 1567-1574.
40. T. Kamada, T. Fujita, T. Hatayama, T. Arikabe, N. Murai, S. Aizawa, K. Tohyama , Active vibration control of flexural-shear type frame structures with smart structures using piezoelectric actuators, *Smart Mater. Struct* 7 (1998) 479-488.
- 41.T. Kamada et al.: "Active Vibration Control of Frame Structures with Smart Structure Using Piezoelectric Actuator: 1st Report, Vibration Control by Control of Bending Moment of the Columns,"62-599C, pp. 2577–2584, 1996-07.
- 42.Kang, Y. K., Park, H. C., and Agrawal, B., "Optimization of Piezoceramic Sensor/Actuator Placement for Vibration Control of Laminated Plates," *AIAA Journal*, Vol. 36, No. 9, pp. 1763–1765.
43. Kelly, J.M. (1986). "A Seismic Base Isolation: A Review and Bibliography", *Soil Dynamics and Earthquake Engineering*, pp. 202-216.
44. Kim, J.T., Jung, H.J. and Lee, I.W. (2000). "Optimal Structure Control Using Neural Networks", *Jour. Engg. Mech.*, ASCE, Vol. 126, pp. 201-205.
45. Kurata, U., Kabori, T., Takahashi, M., Niwa, N. and Midorikawa, H. (1999). "Actual Seismic Response Control Building with Semiactive Damper System", *Earthquake Engineering and Structural Dynamics*, Vol. 28, pp. 1427-1447.
46. Martin, C.R. and Soong, T.T. (1976). "Modal Control of Multi-Storey Structures", **Journal of Engg. Mechanics**, ASCE, Vol. 102, pp. 613-623.
47. Masri, S.F., Bekey, G.A. and Caughey, T.K. (1981a). "Optimal Pulse Control of Flexible Structures", *Journal of Applied Mechanics*, ASME, Vol. 48, pp. 619-626.

48. Masri, S.F., Bekey, G.A. and Caughey, T.K. (1981b). "On-line Control of Nonlinear Flexible Structures", **Journal of Applied Mechanics**, ASME, Vol. 49, pp. 871-884.
49. McGreevy, S., Soong, T.T. and Reinhorn, A.M. (1988). "An Experimental Study of Time-Delay Compensation in Active Structural Control", Proceedings of International Conference on Modal Analysis, Orlando, U.S.A., pp. 733-739.16
50. Meirovitch, L. and Baruh, H. (1983). "Robustness of the Independent Modal Space Control Method", *Journal of Guid. Contr. Dyn.*, Vol. 3, pp. 140-150.
51. Meirovitch, L. and Ghosh, D. (1987). "Control of Flutters in Bridges", **Jour. Engg. Mech.**, ASCE, Vol. 113, pp. 720-736.
52. Meirovitch, L. and Oz, H. (1980). "Modal Space Control of Distributed Gyroscopic Systems", *Journal of Guid. Contr. Dyn.*, Vol. 6, pp. 20-25.
- 52-1. Michael D. Symans, , Michael C. Constantinou." Semi-active control systems for seismic protection of structures: a state-of-the-art review", **Engineering Structures** 21 (1999) 469–487
53. Nagarajaiah, S. (1997). "Semi-Active Control of Structures", Proceedings of Structures Congress XV,ASCE, Portland, U.S.A., pp. 1574-1578.
54. Ni, Y.Q., Chen, Y., Ko, J.M. and Cao, D.Q. (2002). "Neuro Control of Cable Vibration Using Semiactive Magneto-rheological Dampers", **Engineering Structures**, Vol. 24, pp. 295-07.
55. Nordel, W.J. (1969). "Active Systems for Elastic Resistant Structures", Tech. Rep. R-611, Naval Civil Engineering Laboratory, Port Hueneme, California, U.S.A..
56. Padula, S.L. Palumdo, D.L. and Kincaid, R.K. (1998). "Optimal sensor/actuator locations for active structural acoustic control". AIAA-98-1865.
57. Padula, S.L. and Kincaid, R.K. 1999. Optimization Strategies for Sensor and Actuator Placement, pp. 1–12, National Aeronautics and Space Administration Langley Research Center, Langley, Virginia 23681.
58. Prucz, Z., Soong, T.T. and Reinhorn, A.M. (1985). "An Analysis of Pulse Control for Simple Mechanical Systems", **Journal of Dynamic Measurements Control**, ASME, Vol. 107, pp. 123-131.
59. Qiu, Z. C., Zhang, X. M., Wu, H. X., +and Zhang, H. H.(2007). Optimal placement and active vibration control for piezoelectric smart flexible cantilever plate. *Journal of Sound and Vibration*, 301, 521-543.
60. Rao, M.M. and Datta, T.K. (1998). "Use of ANN for Linear Active Control of Structures", Proceedings of Eleventh Symposium on Earthquake Engineering, Vol. II, pp. 705-712.
61. Reinhorn, A.M., Manolis, G.D. and Wen, C.Y. (1987). "Active Control of Inelastic Structures", *Journal of Engineering Mechanics*, ASCE, Vol. 113, No. 3, pp. 315-333.
62. Rofooei, F.R. and Tadjbakhsh, I.G. (1993). "Optimal Control of Structures with Acceleration, Velocity and Displacement Feedback", **Journal of Engineering Mechanics**, ASCE, Vol. 119, No. 10,pp. 1993-2010.
63. Roy, T. and Chakraborty, D.: Optimal vibration control of smart fiber reinforced composite shell structures using improved genetic algorithm,*Journal of Sound and Vibration*, Vol. 319, No. 1-2,pp. 15-40, 2009.
64. Lim KB. Method for optimal actuator and sensor placement for large flexible structures. *Journal Guidance, Control, and Dynamics* 1992; 15:49–57.

65. Lopes Jr., V., Steffen Jr., V., and Inman, D .J., "Optimal Placement of Piezoelectric Sensor/Actuator for Smart Structures Vibration Control", In: *Dynamical Systems and Control*, ed. London: Taylor & Francis Books Ltd, 2003.
- 65(1). L.L. Chung, L.Y. Wu and T.G. Jin, (1998)," Acceleration feedback control of seismic structures",
Engineering structures, Vol. 20, pp 62-74
66. Sack, R.L., Kuo, C., Wu, H.C., Liu, L. and Patten, W.N. (1994). "Seismic Motion Control via Semiactive Hydraulic Actuators", *Proceedings of Fifth U.S. National Conference on Earthquake Engineering*, Chicago, U.S.A., Vol. II, pp. 11-20.
67. Sadri, A.M., Wright, J.R. and Wynne, R.J. 1999. "Modelling and Optimal Placement of Piezoelectric Actuators in Isotropic Plates Using Genetic Algorithms," *Smart Materials and Structures*, 8:490-498.
68. Singh, S. and Datta, T.K. (1998). "Open-Closed Linear Control of Building Frames under Seismic Excitation", *Journal of Structural Engineering, ASCE*, Vol. 124, No. 1, pp. 43-51.
69. Singh, S. and Datta, T.K. (2000). "Nonlinear Sliding Mode Control of Seismic Response of Building Frames", *Journal of Engineering Mechanics, ASCE*, Vol. 126, No. 4, pp. 340-47.
70. Shefer, M. and Beakwell, J.V. (1987). "Estimation and Control with Cubic Nonlinearities", *Journal of Optimization Theory and Applications*, Vol. 53, No. 1, pp. 1-7.
71. Simpson, M. T. e Hansen, C. H., "Use of Genetic Algorithms to Optimize Vibration Actuator Placement for Active Control of Harmonic Interior Noise in a Cylinder with floor structure", *Noise Control Engineering Journal*, pp. 169-184, 1996.
72. Singh, M.P. and Matheu, E.E. (1997). "Active and Semi-Active Control of Structures under Seismic Excitation", ***Earthquake Engineering and Structural Dynamics***, Vol. 26, pp. 193-213.
73. Soliman, M.A. and Ray, W.H. (1992). "Optimal Feedback Control for Linear Quadratic System Having Time-Delay", ***International Journal of Control***, Vol. 15, pp. 609-615.
74. Soong, T.T. (1988). "State-of-the-Art Review: Active Structure Control in Civil Engineering", *Engineering Structures*, Vol. 10, No. 2, pp. 73-84.
75. Soong, T.T. (1992). "Active Structural Control: Theory and Practice", Longman Scientific and Technical, England, U.K.
76. Soong, T.T. (1996). "Active Control Practice in the U.S.", 11th World Conference on Earthquake Engineering, Acapulco, Mexico.
- 77.. Spencer Jr., B.F., Dykes, S.J., Sain, M.K. and Quast, P. (1993). "Acceleration Feedback Strategies for Aseismic Protection", *Proceedings of American Society Control Conference*, San Francisco, California, U.S.A., pp. 1317-1321.
- 78 Spencer Jr., B.F., Dyke, S.J., Sain, M.K. and Carlson, J.D. (1996). "Dynamical Model of a Magnetorheological Damper", *Proceedings of Structures Congress XIV, ASCE, Chicago, U.S.A.*, Vol. II, pp.361-370.

79. Suhardjo, J., Spencer Jr., B.F. and Sain, M.K. (1992a). "Non-linear Optimal Control of a Duffing System", International Journal of Non-linear Mechanics, Vol. 27, No. 2, pp. 157-172.
80. Suhardjo, J., Spencer Jr., B.F. and Kareem, A. (1992b). "Frequency Domain Optimal Control of Wind-Excited Buildings", Journal of Engineering Mechanics, ASCE, Vol. 118, No. 12, pp. 2463-2481. **ISET Journal of Earthquake Technology**, March 2003 17
81. Sun, L. and Goto, Y. (1994). "Application of Fuzzy Theory to Variable Dampers for Bridge Vibration Control", Proceedings of the First World Conference on Structural Control, Los Angeles, California, U.S.A., pp. 31-40.
82. Suneja, B.P. and Datta, T.K. (1998). "Open-Close Loop Active Control of Articulated Leg Platform", Jour. Engg. Mech., ASCE, Vol. 124, pp. 35-48.
83. Symans, M.D. (1999). "Semiactive Control Systems for Seismic Protection of Structures: A State-of-the-Art Review", Engineering Structures, Vol. 21, pp. 469-487.
84. Symans, M.D. and Constantinou, M.C. (1997). "Seismic Testing of a Building Structure with a Semi-Active Fluid Damper Control System", Earthquake Engineering and Structural Dynamics, Vol. 26, No. 7, pp. 59-77.
85. Symans, M.D. and Kelly, S.W. (1999). "Fuzzy Logic Control of Bridge Structures Using Intelligent Semi-Active Seismic Isolation Systems", **Earthquake Engineering and Structural Dynamics**, Vol. 28, pp. 37-60.
86. Tani, A., Kawamura, H. and Ryu, S. (1998). "Intelligent Fuzzy Optimal Control of Building Structures", Engineering Structures, Vol. 20, pp. 184-192.
87. Udwadia, F.E. and Tabaie, S. (1981a). "Pulse Control of a Single Degree of Freedom System", Journal of Engineering Mechanics, ASCE, Vol. 107, pp. 997-1010.
88. Udwadia, F.E. and Tabaie, S. (1981b). "Pulse Control of Structural and Mechanical Systems", Journal of Engineering Mechanics, ASCE, Vol. 107, pp. 1011-1028.
89. Utkin, V.I. (1978). "Sliding Modes and Their Application Invariable Structure Systems", Mir Publishers, Moscow, U.S.S.R.
90. Q. Wang, C. Wang, (2001), A controllability Index for Optimal Design of Piezoelectric Actuators in Vibration Control of Beam Structures, Journal of Sound and Vibration 242, (3):507-518.
91. Wu, Z., Lin, R.C. and Soong, T.T. (1995). "Non-linear Feedback Control for Improved Peak Response Reduction", Journal of Smart Materials and Structures, Vol. 4, pp. A140-A147.
92. Yang, J.N. (1975). "Application of Optimal Control Theory to Civil Engineering Structures", Journal of Engineering Mechanics Division, ASCE, Vol. 101, No. EM6, pp. 818-838.
93. Yang, J.N., Akbarpour, A. and Ghaemmaghami, P. (1987). "New Optimal Control Algorithms for Structural Control", Journal of Engineering Mechanics Division, ASCE, Vol. 113, No. 9, pp. 818-838.
- 94.. Yang, J.N., Akbarpour, A. and Askar, G. (1990). "Effect of Time-Delay on Control of Seismic Excited Buildings", Journal of Structural Engineering Division, ASCE, Vol. 116, pp. 2801-2814.
95. Yang, J.N., Li, Z. and Liu, S.C. (1991). "Instantaneous Optimal Control of Structures with Velocity and Acceleration Feedbacks", Probabilistic Engineering Mechanics, Vol. 6, No. 3, pp. 204-211.

96. Yang, J.N., Wu, J.C., Agrawal, A.K. and Li, Z. (1994). "Sliding Mode Control for Seismic-Excited Linear and Non-Linear Civil Engineering Structures", Technical Report NCEER-94-0017.

97. Yang, J.N, Wu, J.C. and Li, Z. (1996). "Control of Seismic Excited Buildings Using Active Variable Stiffness Systems", Engineering Structures, Vol. 18, No. 8, pp. 589-596.

97-1

98.Zhang, H., et al., Float-encoded genetic algorithm technique for integrated optimization of piezoelectric actuator and sensor placement and feedback gains. Smart Materials and Structures, 2000. 9(4): p. 552-557.

99. Zuk, W. (1968). "Kinetic Structures", Civil Engineering, Vol. 39, No. 12, pp. 62-64.

Abstract

Lots of ambiguities and complicated mathematical equations are among the disadvantages of current active control algorithms of structures. New approach is presented for controlling the structural vibrations. The proposed active control method is based on structural dynamics theories in which multi actuators and sensors are utilized. Each actuator force is modeled as an equivalent viscous damper so that several lower vibration modes are damped critically. This subject is achieved by simple mathematical formulation. Besides, the proper location of sensors and actuators are determined based on the importance of the first modes of the vibration and arrays of the shape matrix of the vibration. For numerical verification of proposed method, several criterions such as maximum displacement, maximum kinetic energy, maximum drift, and time history of controlled force and displacement are evaluated in two and five story shear buildings, subjected to the harmonic load, impact force, and the Elcentro base excitation. This study shows that the proposed method has suitable efficiency for reducing structural vibrations. Based on time history of earthquake force and actuator force , the actuator force has reasonable values in comparison with earthquake force and weight of stories. Moreover, the uncertainty effect of different parameters is investigated here. Comparing the results of proposed method with the results of conventional methods of active control of structures such as LQR show that the proposed method has great potential performance while having simplicity.

Keywords: Active Vibration Control, Sensor , Actuator, Smart Structures,Structure Dynamic



Shahrood University of Technology

Faculty of Civil Engineering

**New Method in Smart Structures Vibrations Active Control With Multi
Actuators and Sensors**

Babak Karimpour

Supervisor(s):

Dr Ali Keyhani

September 2014